

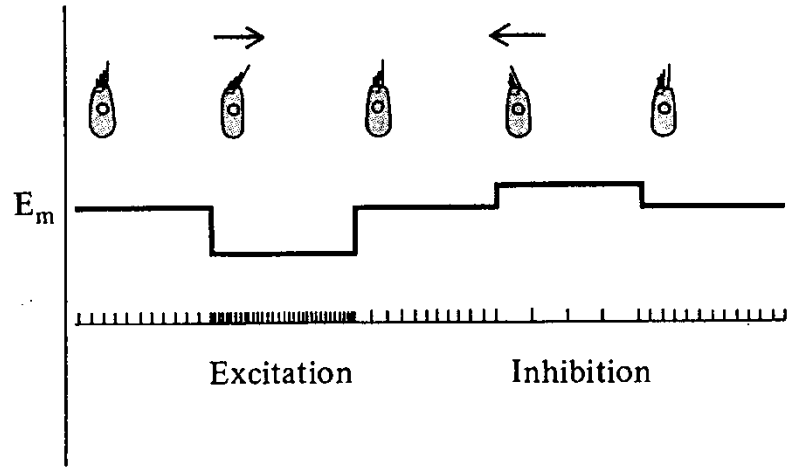
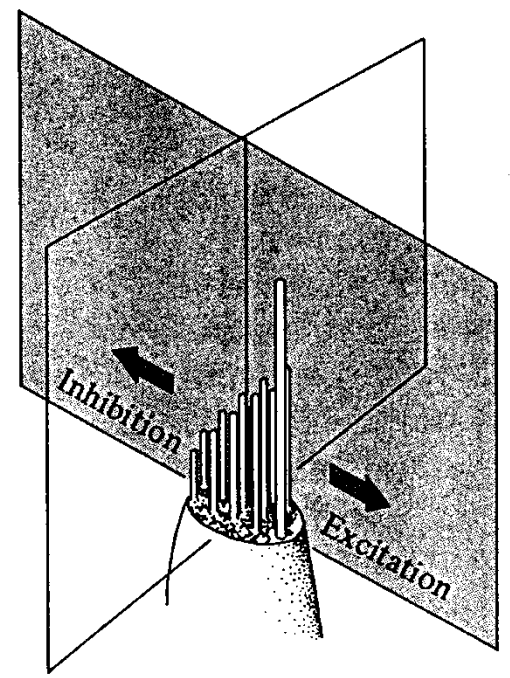
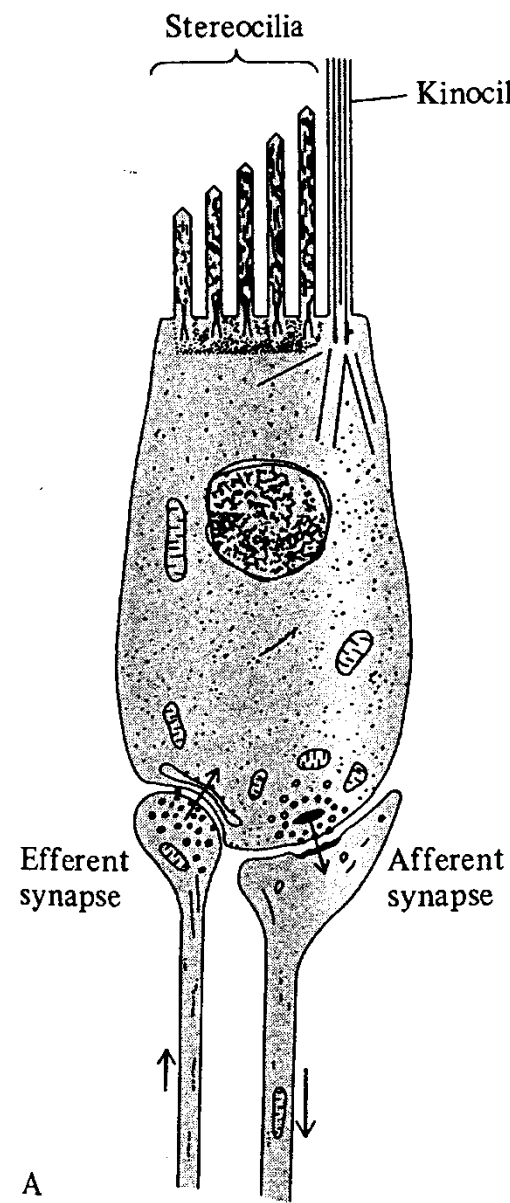
Sluch a rovnováha



Vlásková buňka:

Mimořádný mechanoreceptor obratlovců ($10^{-10} - 10^{-12}m$)

postranní čára vestibulární aparát Cortiho orgán

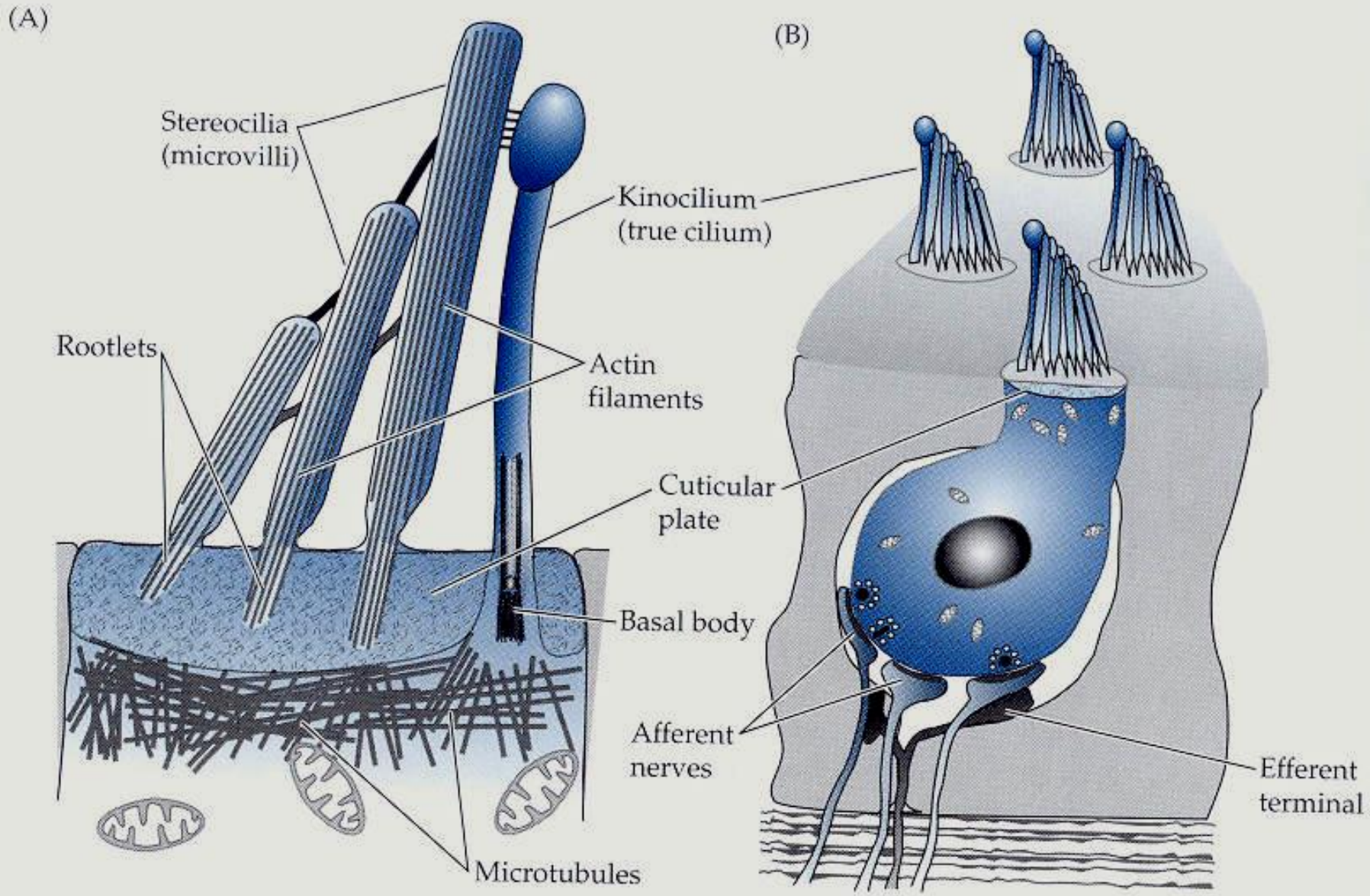


Vlásoková buňka

Ze všech mechanoreceptorů je patrně nejpodivuhodnější vlásoková buňka. V lidském uchu vl.b. zachytí pohyb jen desetiny nm.

Podivuhodný a propracovaný mechanismus transdukce a význam pro smysly rovnováhy a sluchu. Vlásoková buňka, exkluzivně obratlovčí, kterou nalezneme na třech místech: v orgánu postranní čáry ryb, ve vestibulárním aparátu vnitřního ucha, kde detekuje pohyb a polohu a konečně v kochlei, orgánu sluchu.

Anatomie a terminologie

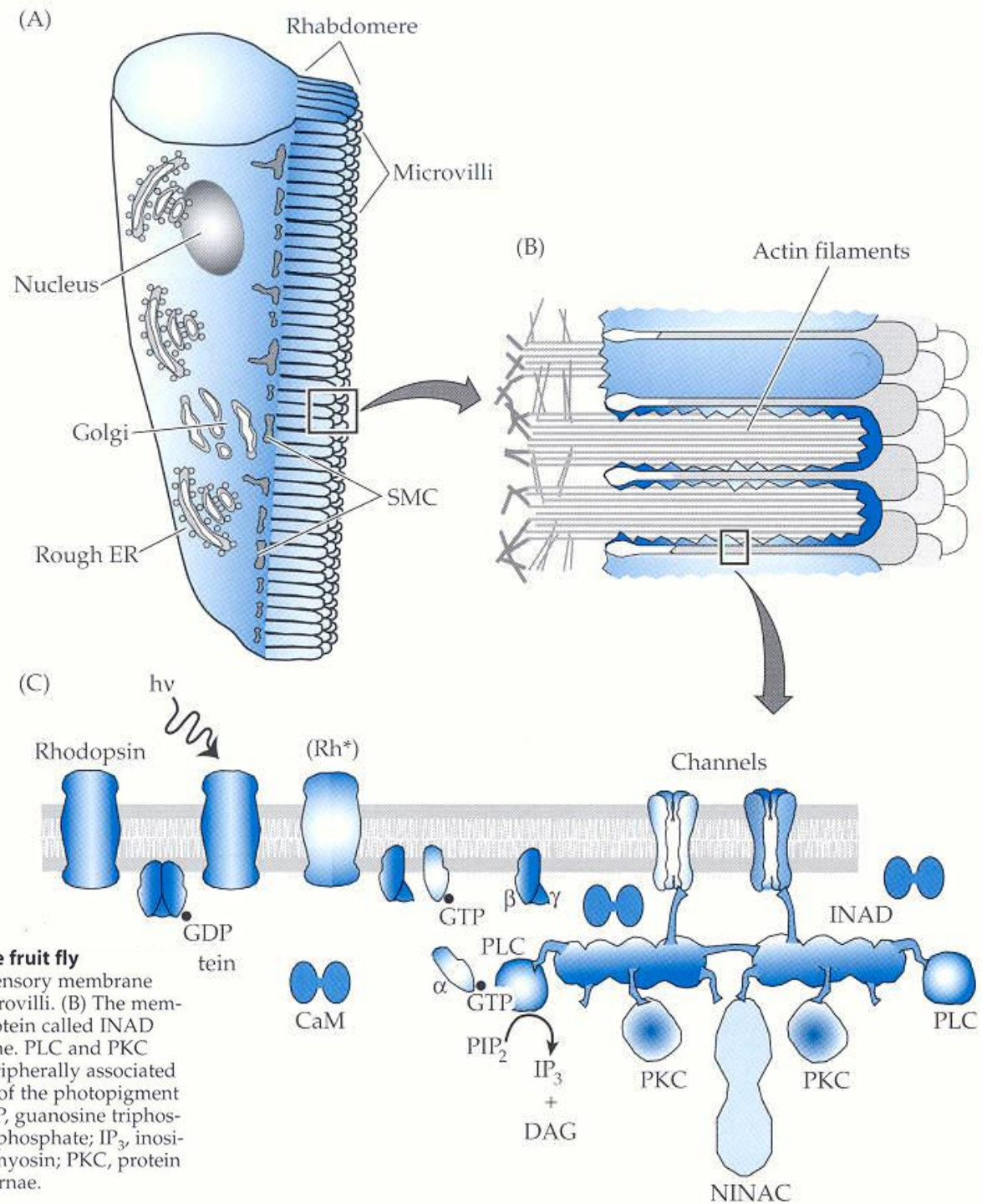
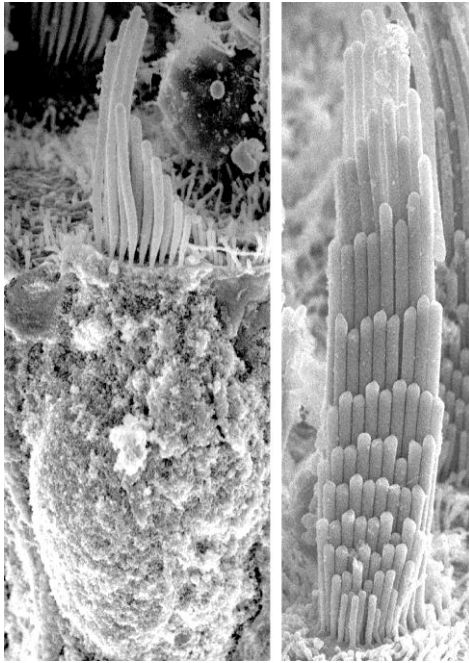


Anatomie a fyziologie v.b.: Z kutikulárního plátu na distální straně raší skupina až 60 vlásků. Jsou 2 typů. Stereocilie a jediné kinocilium. 50 nebo 60 stereocilií jsou svazky aktinových mikrofilament obalených membránou, zatímco jediné vysoké kinocilium je pravá imobilní brva. Na elektronmikroskopických snímcích je patrné, že špičky stereocilií jsou spojeny dohromady jemnými polypeptidovými vlákny.

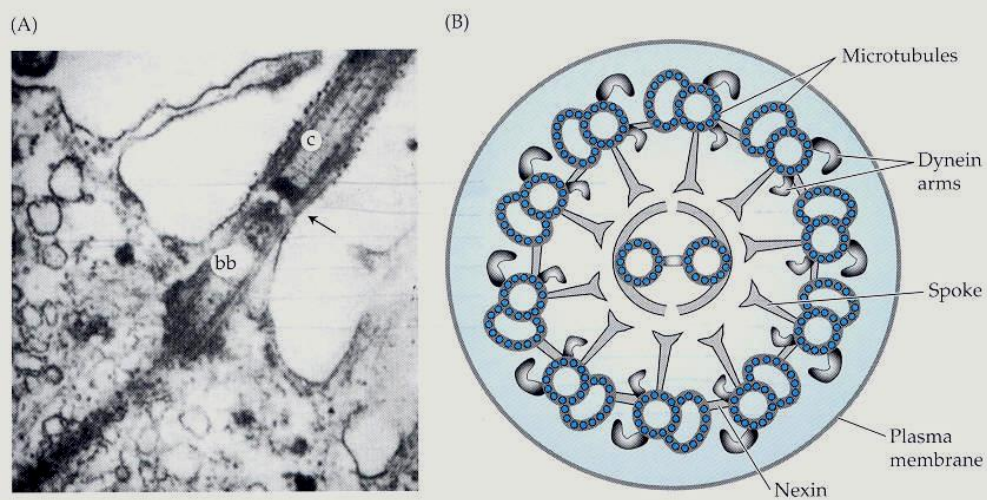
Stereocilie je nešťastný název. Jsou to mikrovili, které nemají atributy cilií. U savců kinocilium atrofuje během vývoje a u zralé buňky není. Stereocilie jsou tuhé a sklápí se jako závory v pantu v bodě uchycení.

Vláskové buňky jsou sekundární receptory, glutamát nejčastěji jako mediátor.

Mikrovily



Organization of sensory membrane of a photoreceptor in the fruit fly *Drosophila* (A) Anatomy of a *Drosophila* photoreceptor. The sensory membrane forms a structure, called a rhabdomere, composed of 50,000 microvilli. (B) The membrane of the microvillus is highly organized by a scaffolding protein called INAD (C), which binds to proteins in the cytosol and plasma membrane. PLC and PKC proteins are shown as if cytosolic but are likely to be at least peripherally associated with the plasma membrane. Abbreviations: Rh^{*}, activated form of the photopigment rhodopsin; GDP, guanosine diphosphate; CaM, calmodulin; GTP, guanosine triphosphate; PLC, phospholipase C; PIP₂, phosphatidylinositol 4,5-bisphosphate; IP₃, inositol 1,4,5-triphosphate; DAG, diacylglycerol; NINAC, a form of myosin; PKC, protein kinase C; ER, endoplasmic reticulum; SMC, submicrovillar cisternae.



Cilie, řasinky

Figure 2.3

Cilium (A) Structure of a cilium from a sea urchin embryo. Note the basal body (bb) at the base of the cilium (c). Magnification 22,000 \times . (B) Schematic drawing of a cross section of cilium. (A from Chakrabarti et. al., 1998.)

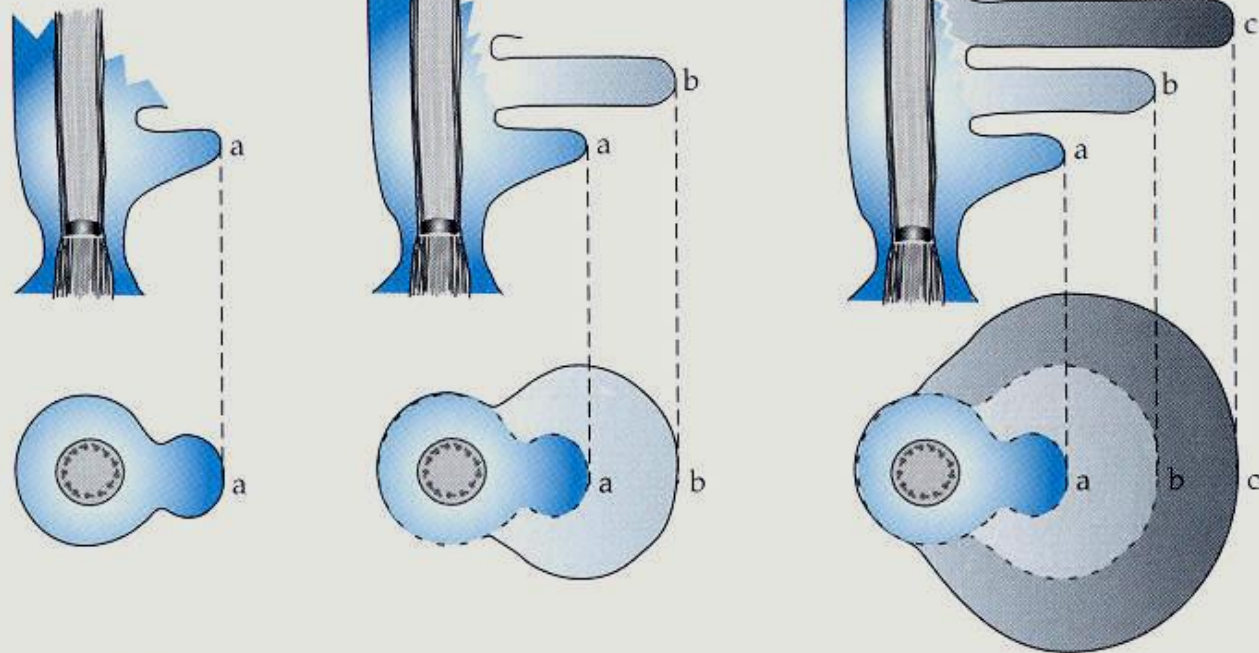
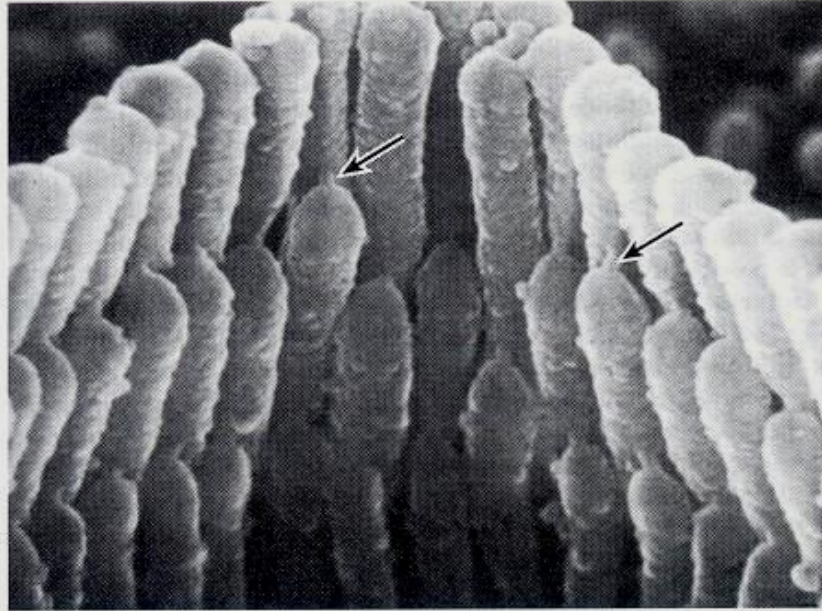


Figure 2.4

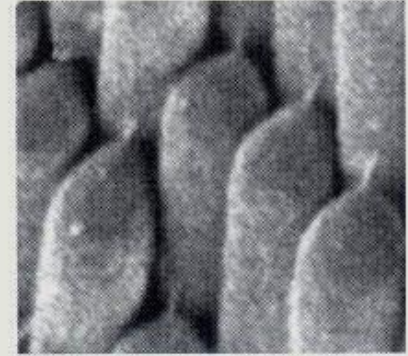
Formation of disks of a rod photoreceptor Disks are initiated at the base of the rod outer segment adjacent to a cilium. (After Steinberg, 1980.)

Kde jsou
kanály?
Na bázi?
Ne, Tip links
Ca na vrcholcích

(A)

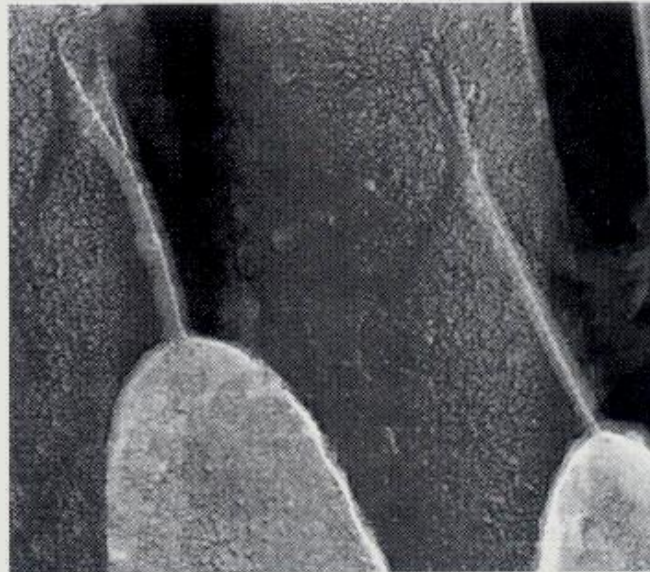


(B)

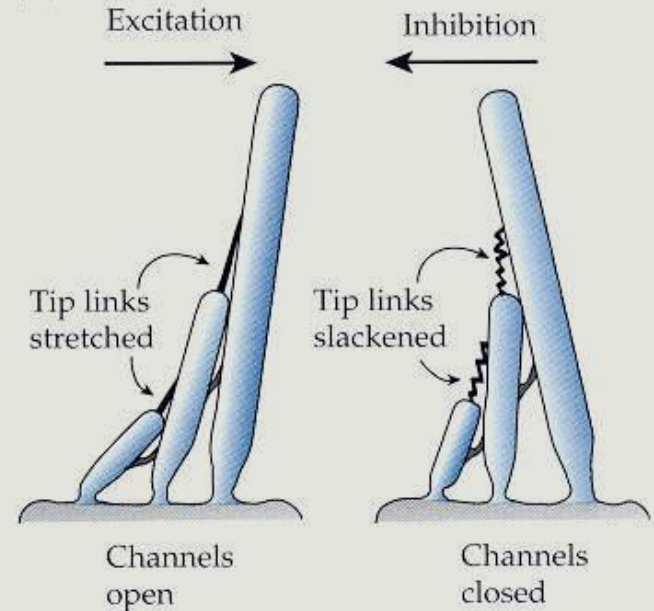


Zpoždění $< 40\mu\text{s}$ –
ionotropní

(C)

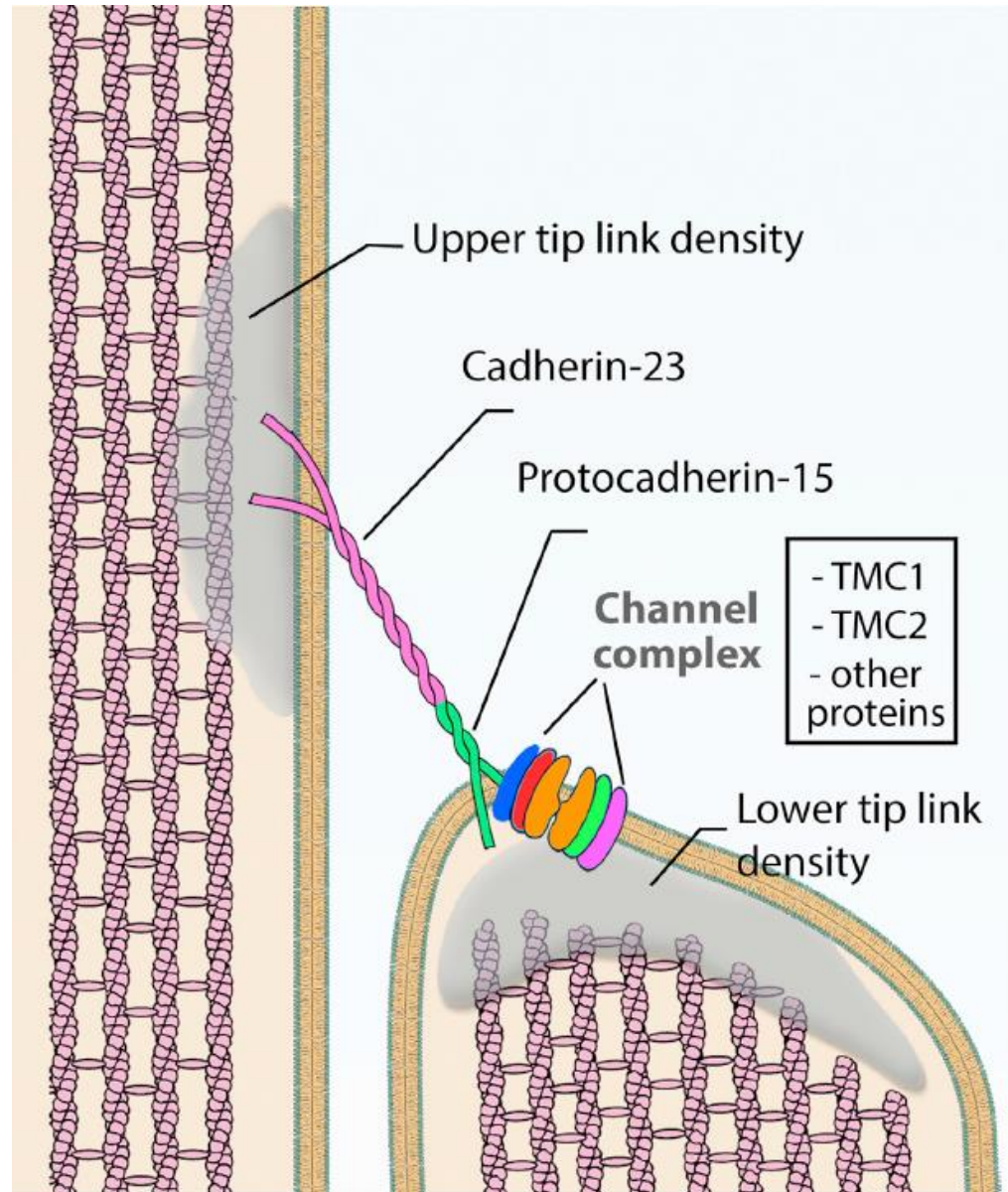


(D)

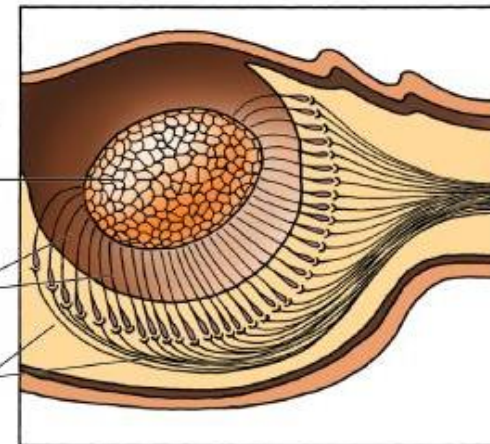
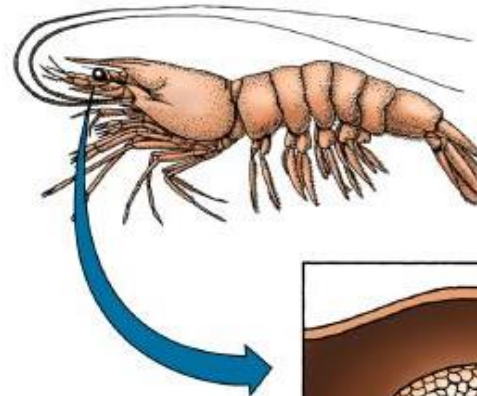


Zpoždění vl.b. je mimořádně krátké, méně než 40mikros při pokojové teplotě. To je příliš rychlé na metabotropní kaskádu. Musí to být ionotropní transdukce, kanály samotné musí být citlivé. Kde jsou? V úvahu připadá báze stereocilií. Měření vstupu Ca při dráždění ukázala, že nejvíc se ho objevilo na vrcholcích. Vysvětlení se nabízelo po zjištění (1984), že stereocilie jsou mnohočetně propojeny na vrcholcích se svými sousedy sítí spojů – tip links. Jsou i jiné spoje držící svazek pohromadě a udržující jeho tuhost.

Tip link je variantou
mezibuněčného spoje
zajišťovaného Cadherinem

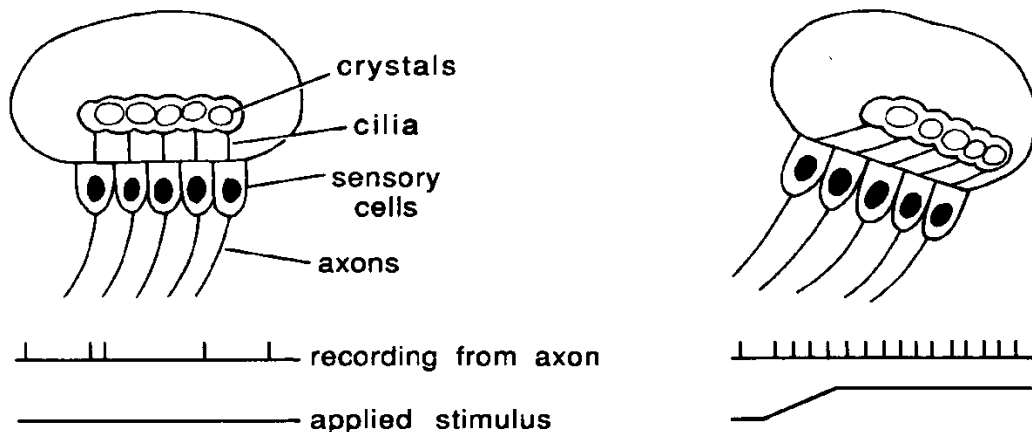


Statokinetické čidlo – vestibulární aparát
 Obratlovci: evolučně staré
 2 typy informací (gravitace a zrychlení)
 2 principy detekce

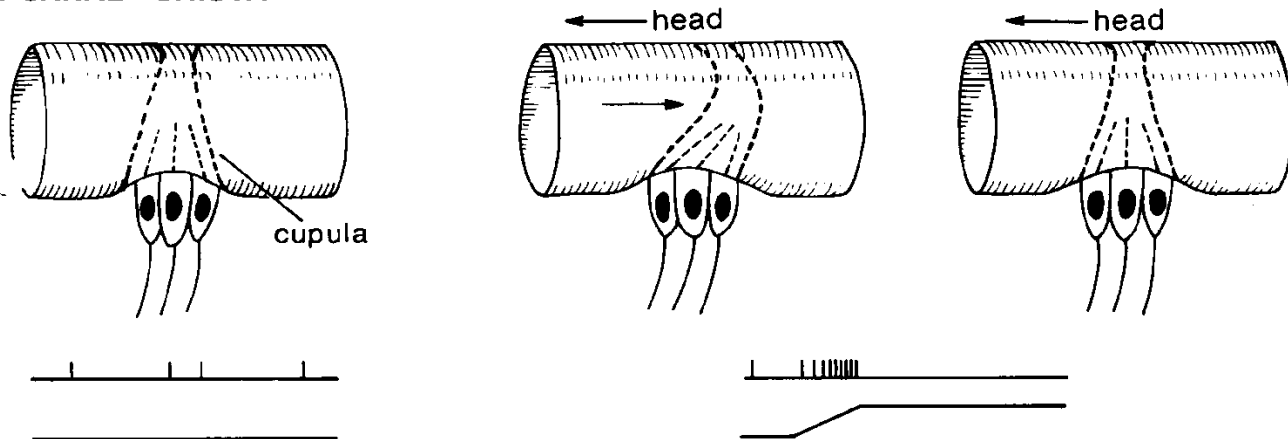


© 1998 Sinauer

A. STATOCYST - MACULA



B. CANAL - CRISTA



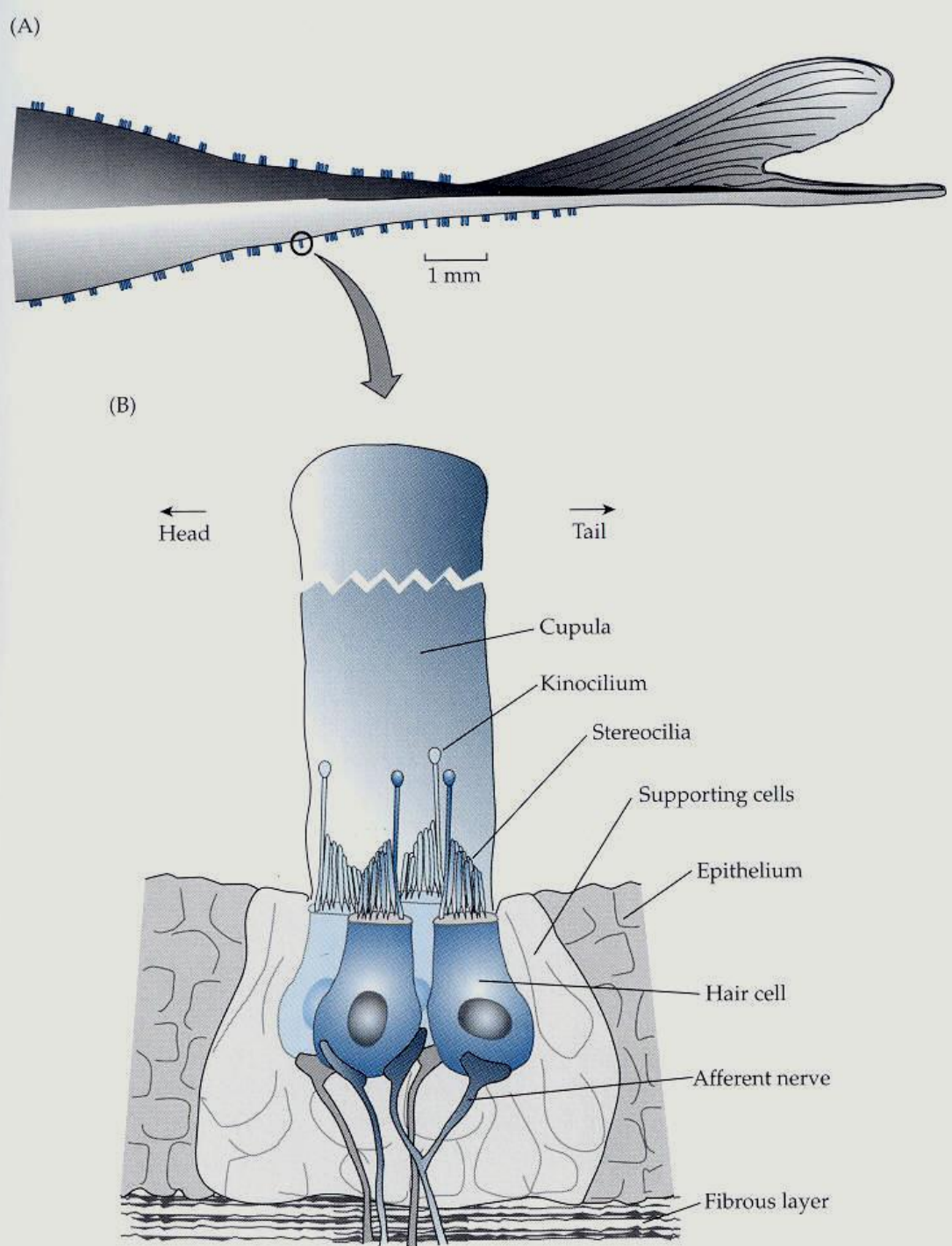
Analogické
 statocystě
 bezobratlých

Většina zvířat má vyvinutý smyslový orgán – vestibulární aparát, který je specializovaným smyslem pro rovnováhu. Detekuje polohu a pohyb hlavy v prostoru. Za běžných okolností si signály z VS neuvědomujeme – jejich význam je v následujících funkcích: 1) reflexní reakce udržující hlavu a trup ve vzpřímené a vyvážené poloze, 2) vestibulookulomotorický reflex umožňuje udržet oči fixované na nazíraný objekt při změnách polohy hlavy.

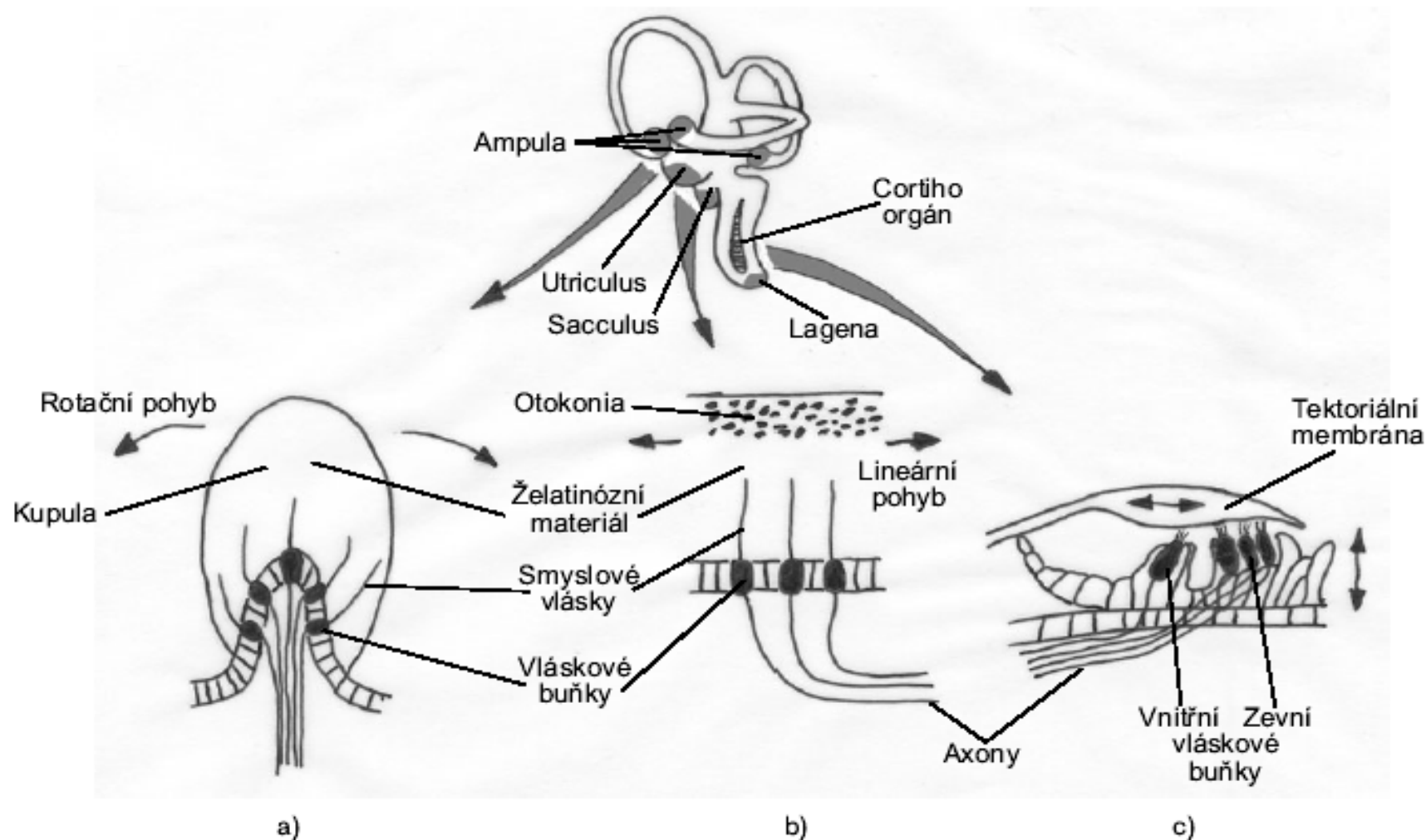
Orgán postranní čáry

Smyslem tohoto systému je detekovat vibrace okolní vody, což umožňuje detekci kořisti, predátora nebo i objektů v okolí, což má blízko k echolokaci. Něco jako hmat na dálku. Receptory jsou vláskové b. zvané neuromasty obklopené epiteliálními bb. a opatřené želatinózní čepičkou. Z kanálků se asi vyvinulo jak savčí ucho, tak elektroreceptory. Naproti tomu se už nikdy znovu neobjevil u savců, kteří se do vody vrátili sekundárně.

[Video](#)



Primárně statokinetické čidlo – vestibulární aparát
 Sekundárně lagena se sluchovou funkcí



Obr. 16.4. Vlásokové buňky a stavba vnitřního ucha obratlovců (ptáka). Sluchové ústrojí je ve spojení se statokinetickým. Polokruhové chodby s váčky (ampulami), v nichž se pohybuje želatinózní kupula, detekují rotační zrychlení (a). Lineární zrychlení a gravitaci detekují tři políčka vláskových buněk (utrículus, sacculus, lagena) s krystalky v želatinózní čepičce (b). Třetí orgán – Cortiho – slouží jako sluchový (c).

Gravitace a lineární zrychlení způsobí pohyb kupuly utrikulu a sakulu

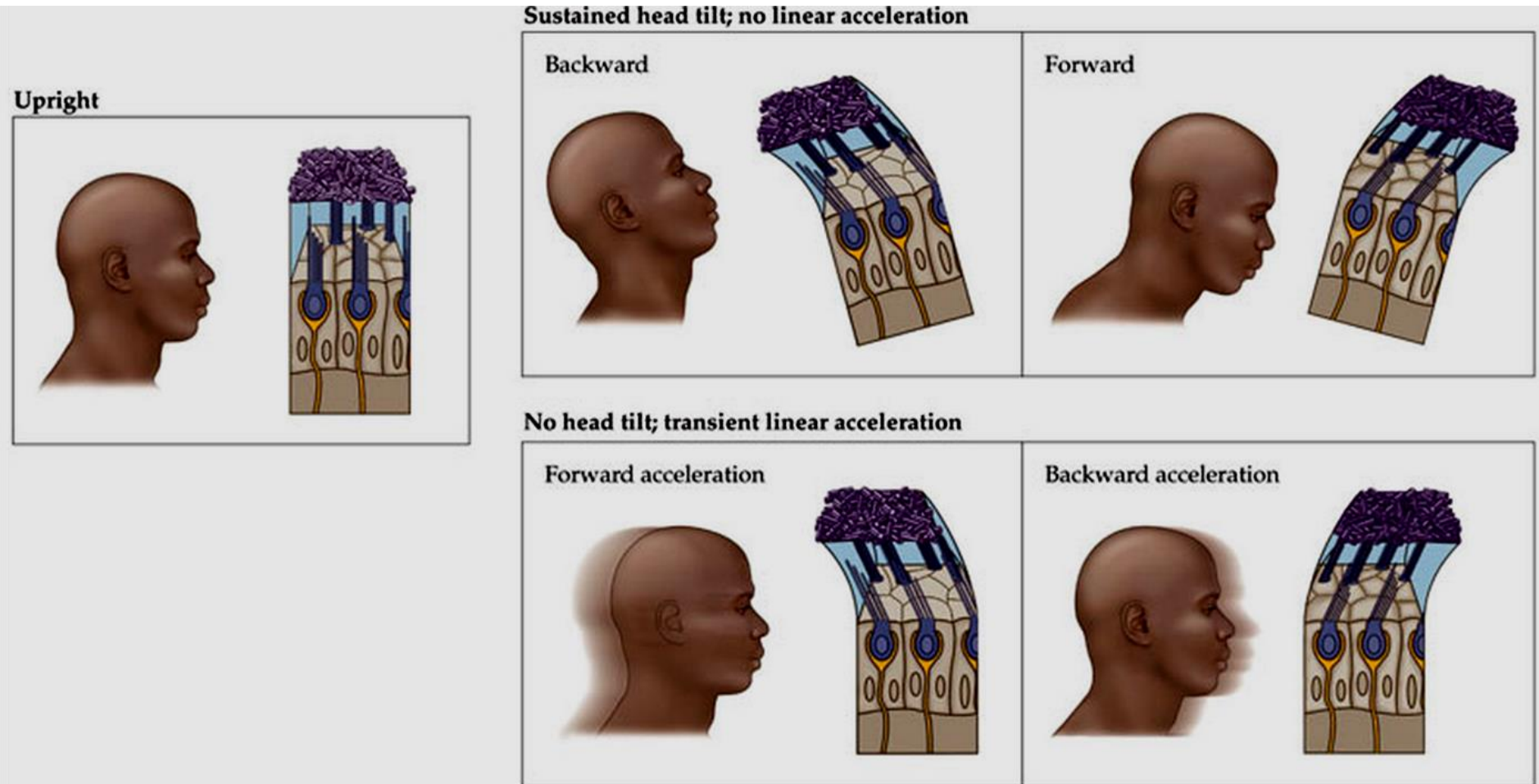
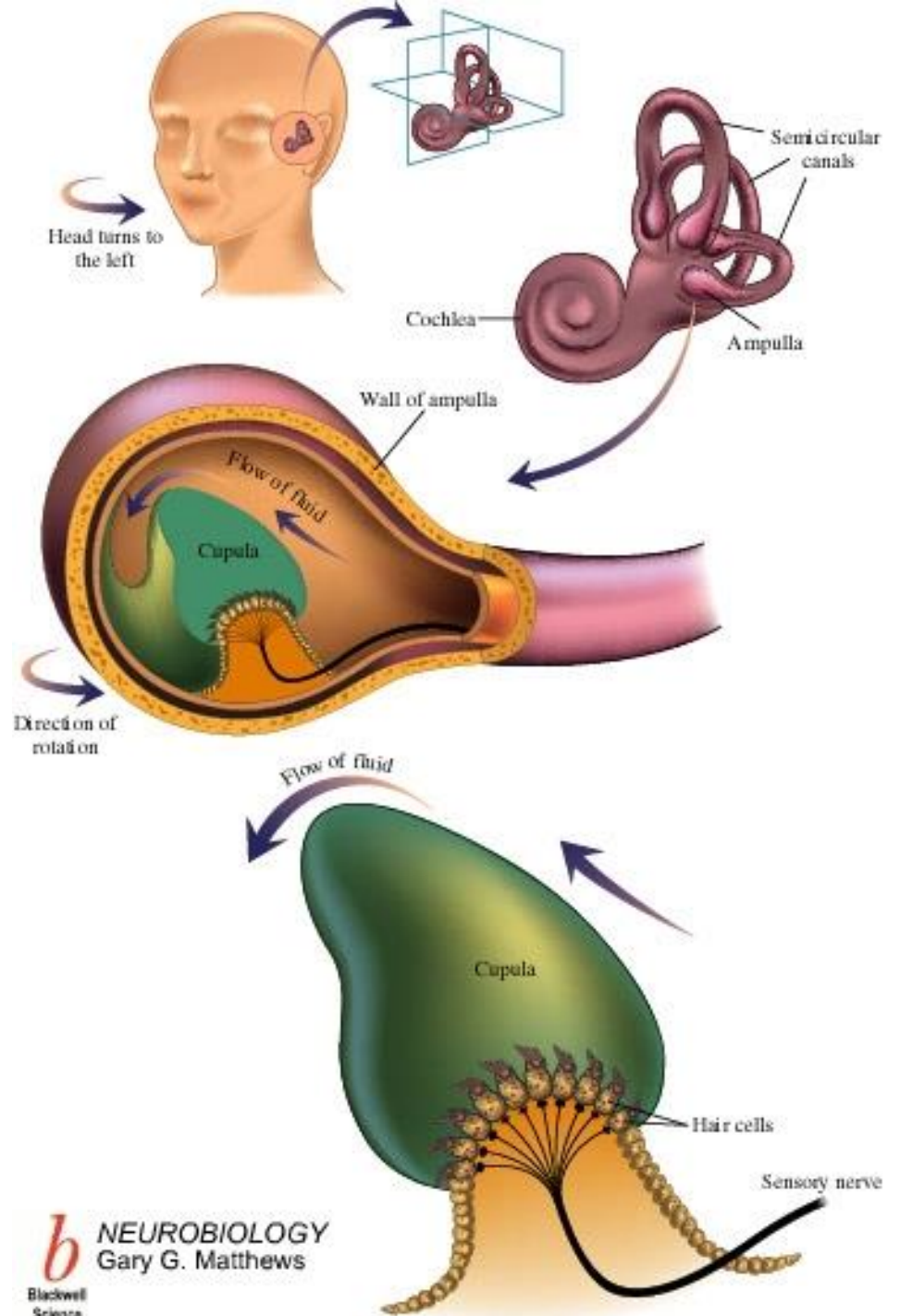


Figure 1 Forces acting on the head result in displacement of the otoconia. This example illustrates displacement of the utricular macula. For each of the head tilts and linear accelerations, some set of hair cells will be maximally excited, whereas another set will be maximally inhibited, according to the orientation of the hair cells. Note that head tilts and linear accelerations—when matched in direction and magnitude—produce similar otoconial movement, demonstrating that the otolith organs respond to both gravity and linear acceleration.

Rotační zrychlení způsobí ohyb kupuly v ampulách polokruhovitých chodeb

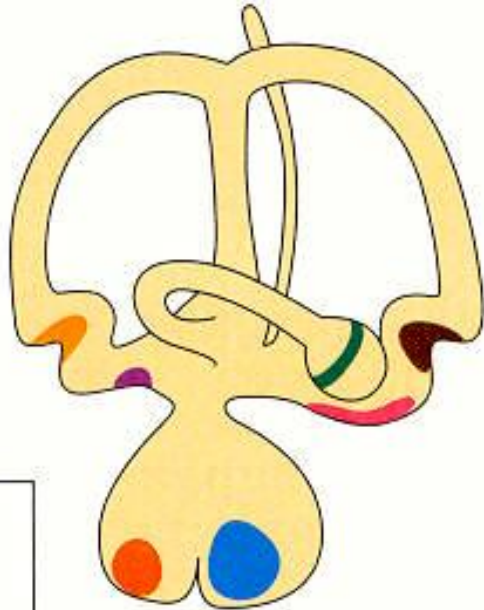


Primárně statokinetické čidlo – vestibulární aparát
Sekundárně lagena se sluchovou funkcí

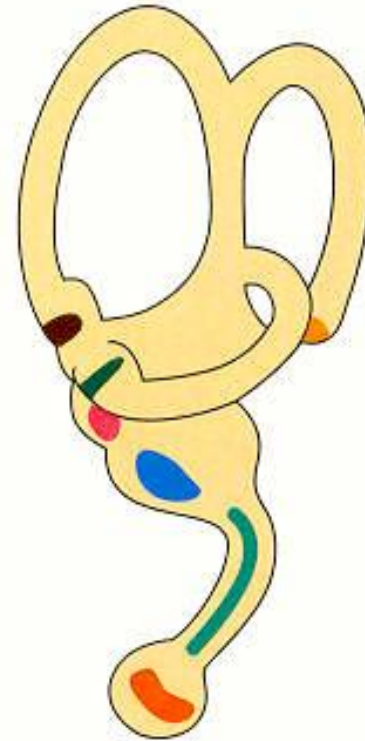
Fish (Myxine)



Frog



Bird



Mammal



lagena

KEY

- | | |
|--|-------------------|
|  | Anterior crista |
|  | Lateral crista |
|  | Posterior crista |
|  | Macula communis |
|  | Macula lagenae |
|  | Macula neglecta |
|  | Macula sacculi |
|  | Macula utricula |
|  | Papilla basilaris |

Sluch kaprovitých ryb

Jak přenést
vibrace
plynového
měchýře na
endolymfu?
Ještě bez lagény.
Weberovy kůstky
odvozené od
obratlů.

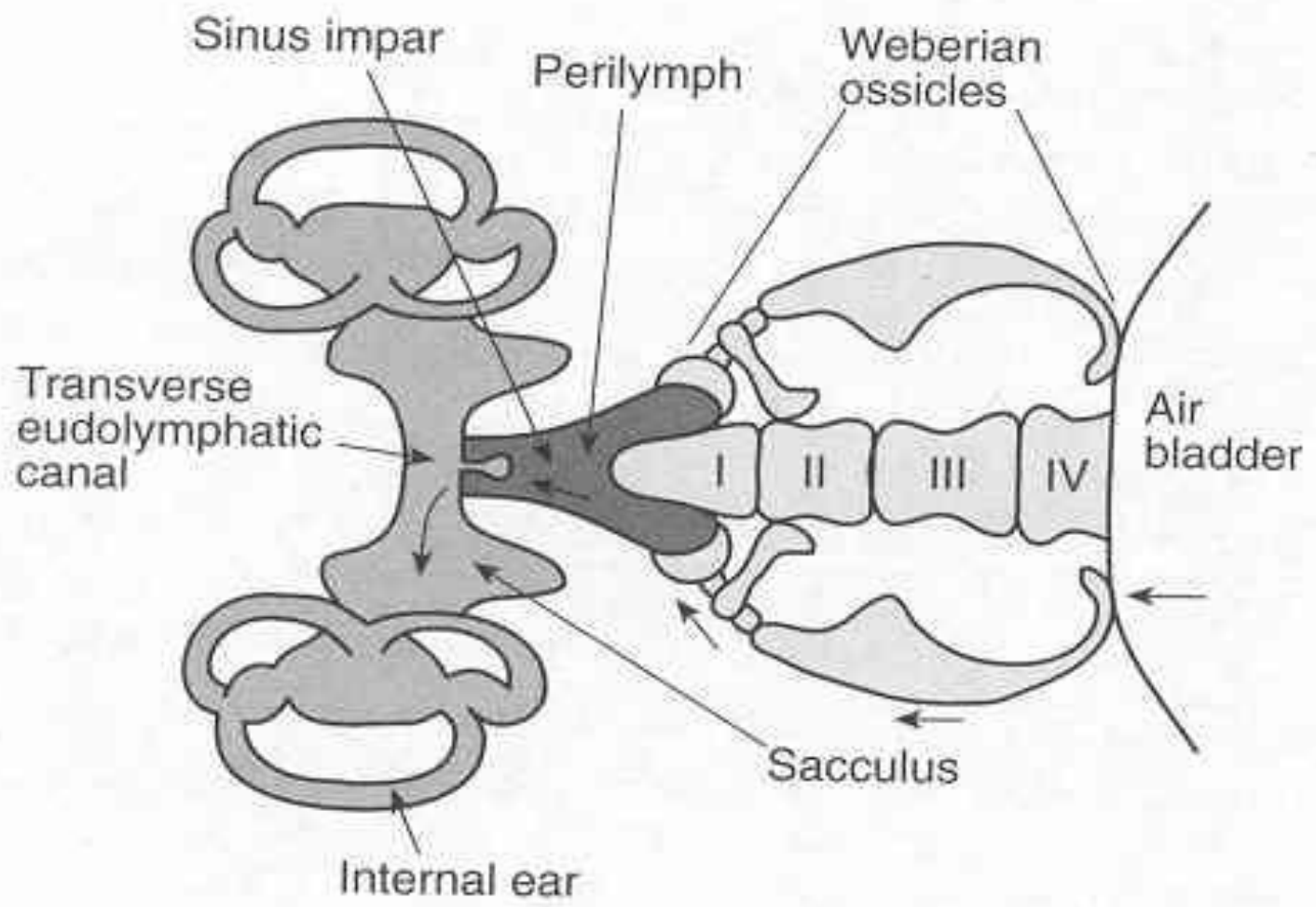
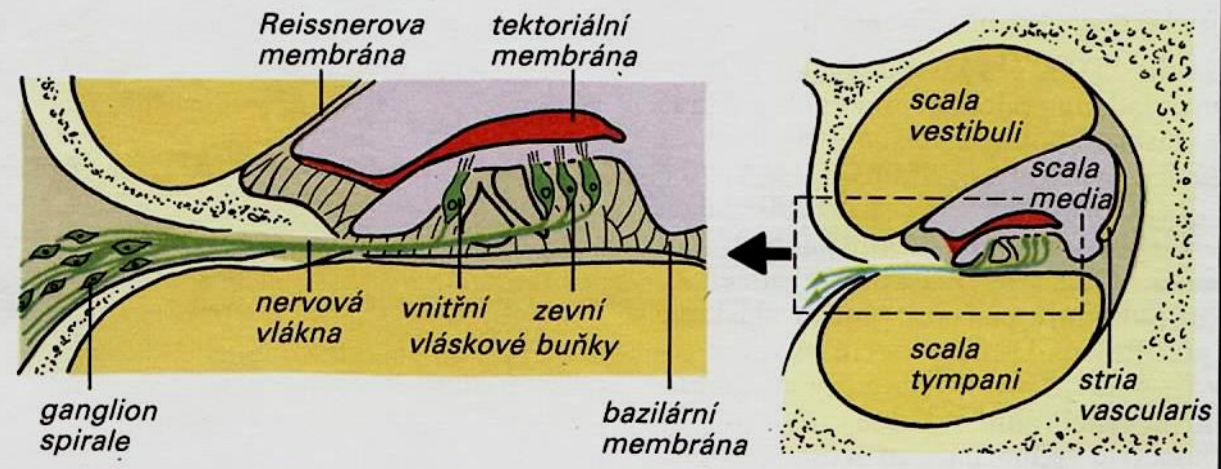
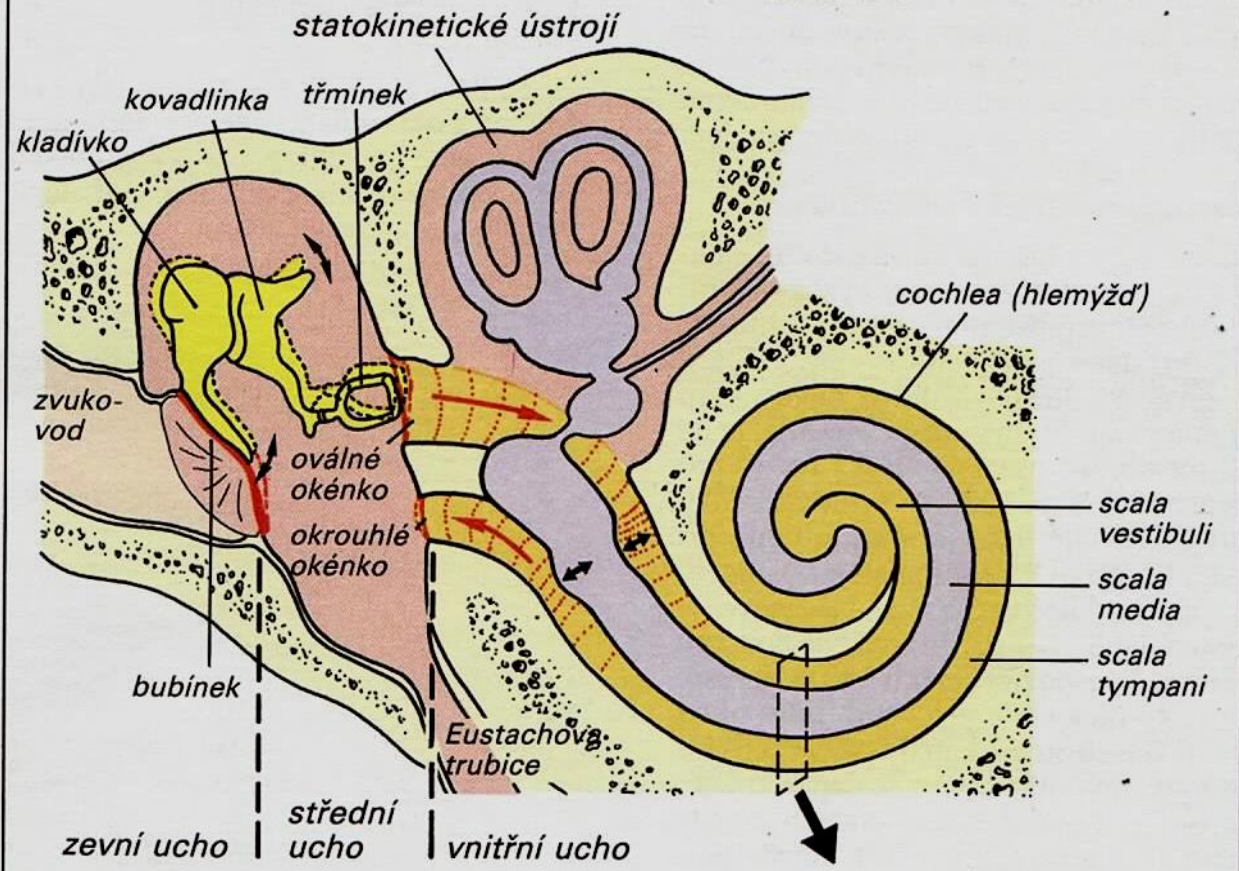


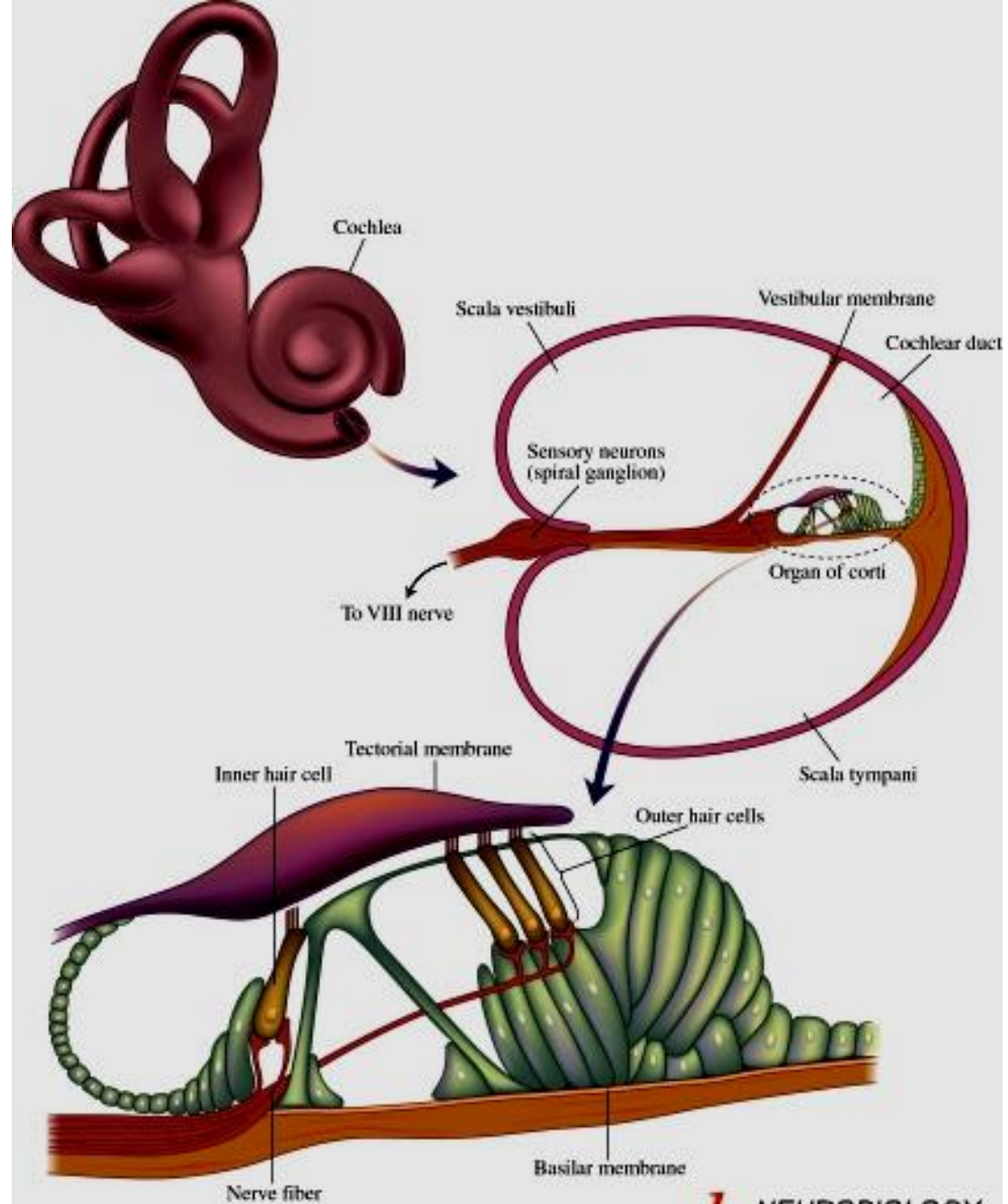
Figure 8.10 Weberian ossicles. The figure shows a horizontal section through the anterior region of the body of a carp (*Cyprinus carpio*). The arrows indicate the direction of vibrations from the swim bladder to the sacculus. I, II, III, and IV indicate the four vertebrae from which the ossicles are derived. Modified from Romer, 1970

Sluch ptáků a savců

Kůstky: převod ze vzduchu do kapaliny. 22x silnější
 Svaly: m.tensor tympani a m.stapedius



Sluch ptáků a savců



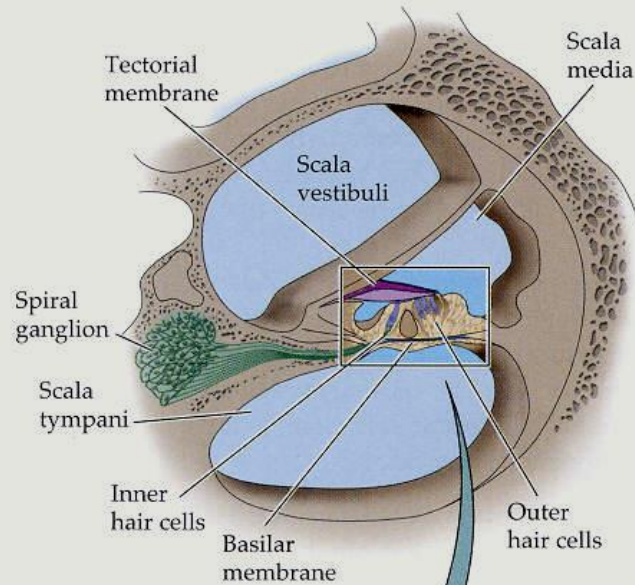
Sluchový aparát savců Vnitřní ucho

[Animace ear.](#)

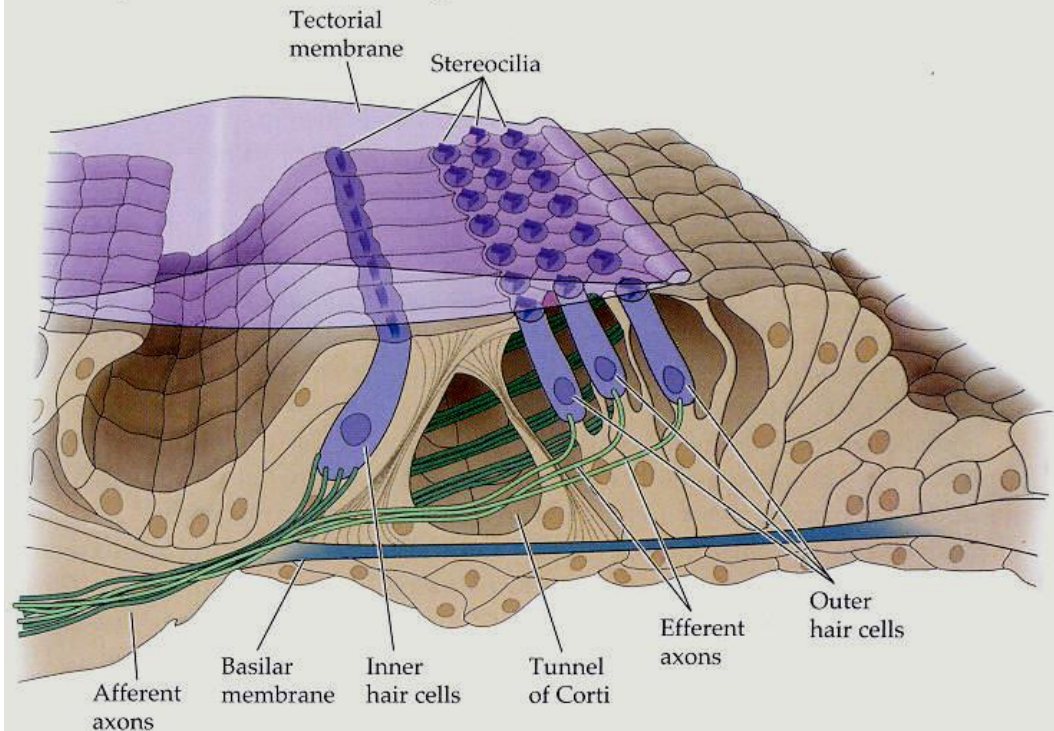
http://highered.mcgraw-hill.com/olc/dl/120108/bio_e.swf

Tektoriální membrána

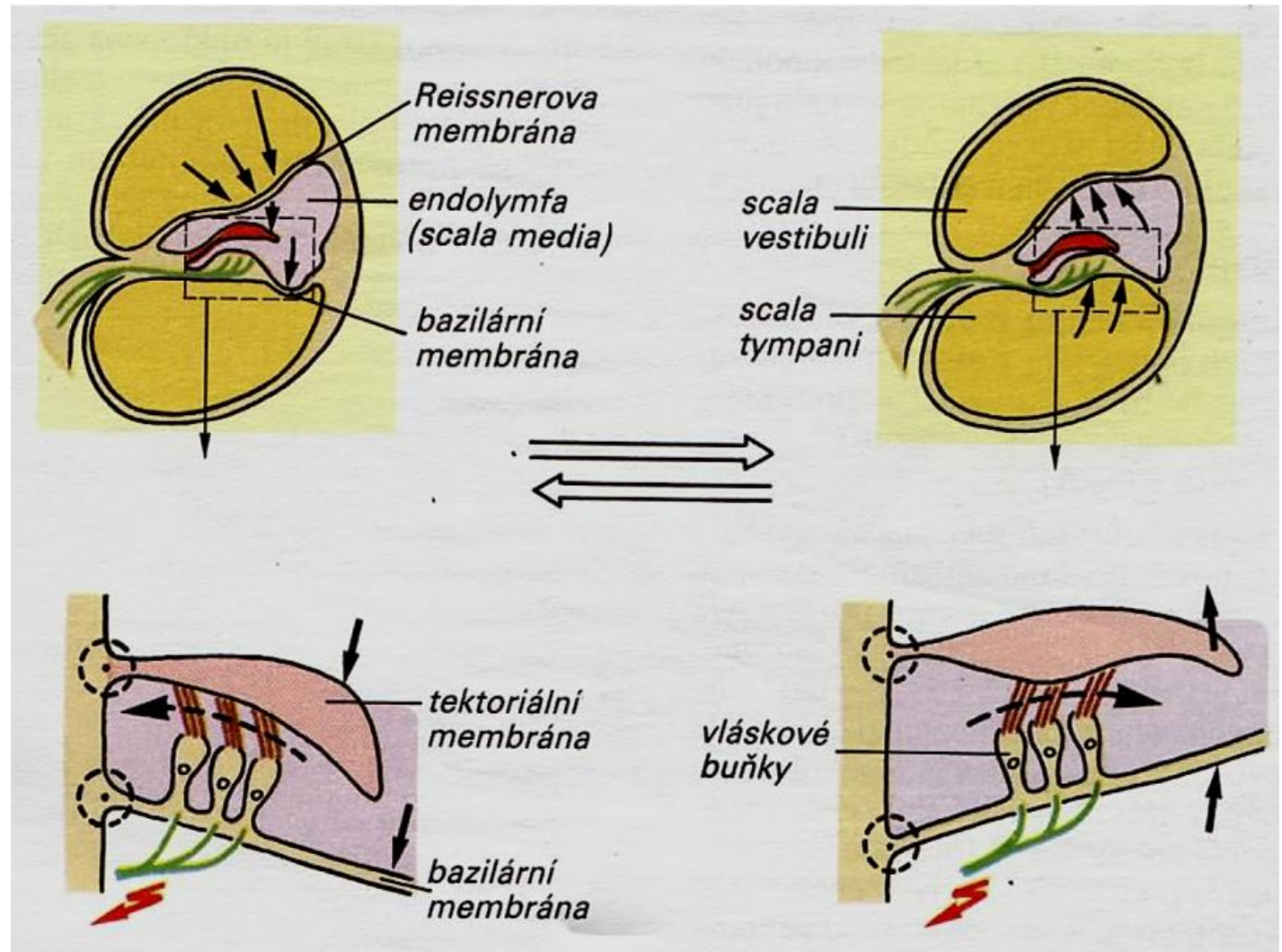
(a) A cross section through the cochlea



(b) The organ of Corti



Sluch ptáků a savců



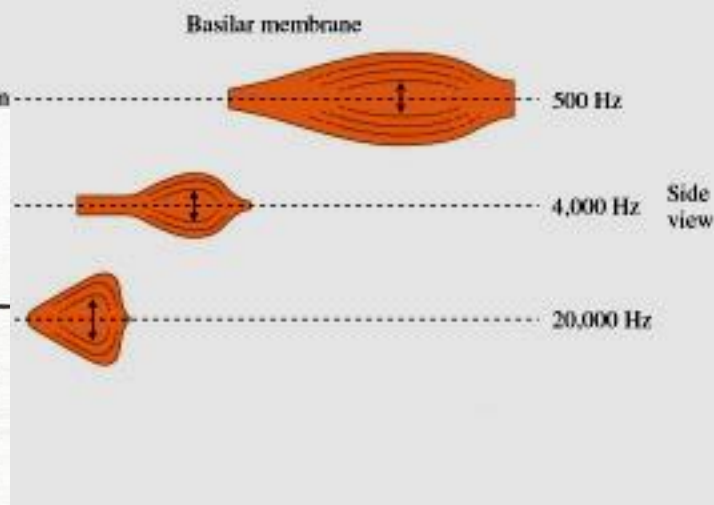
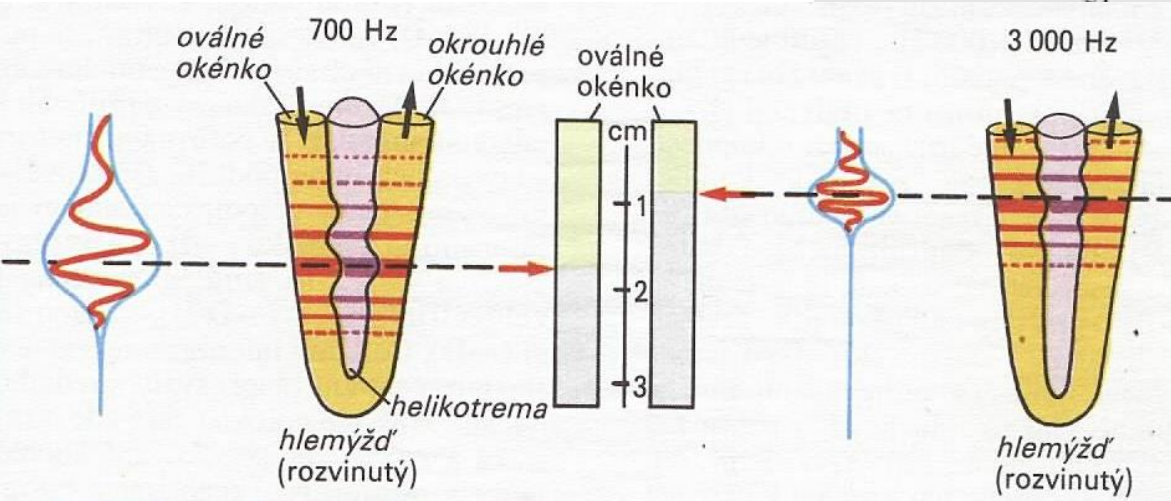
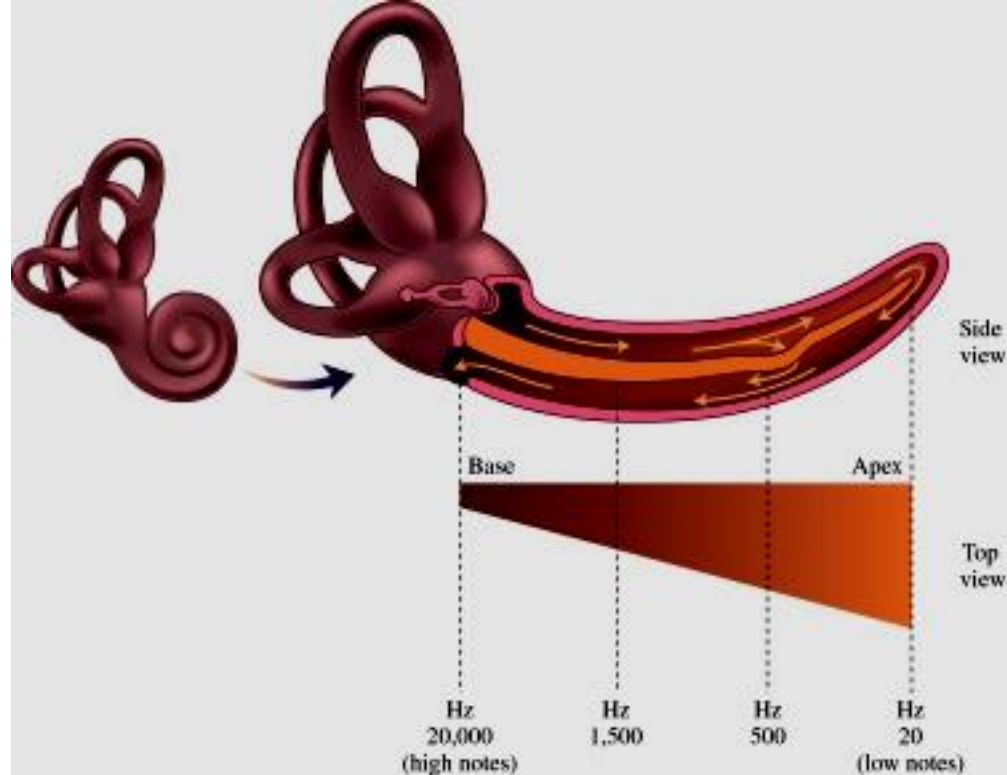
Pohyb anim.

<http://www.the-scientist.com//?articles.view/articleNo/43884/title/Hearing-Explained/>

Zobrazení frekvence

Problém: max frekvence AP je mnohem nižší než max. frekvence zvuku

Člověk rozliší 1000Hz
Od 1003Hz – mimořádná rozlišovací schopnost!

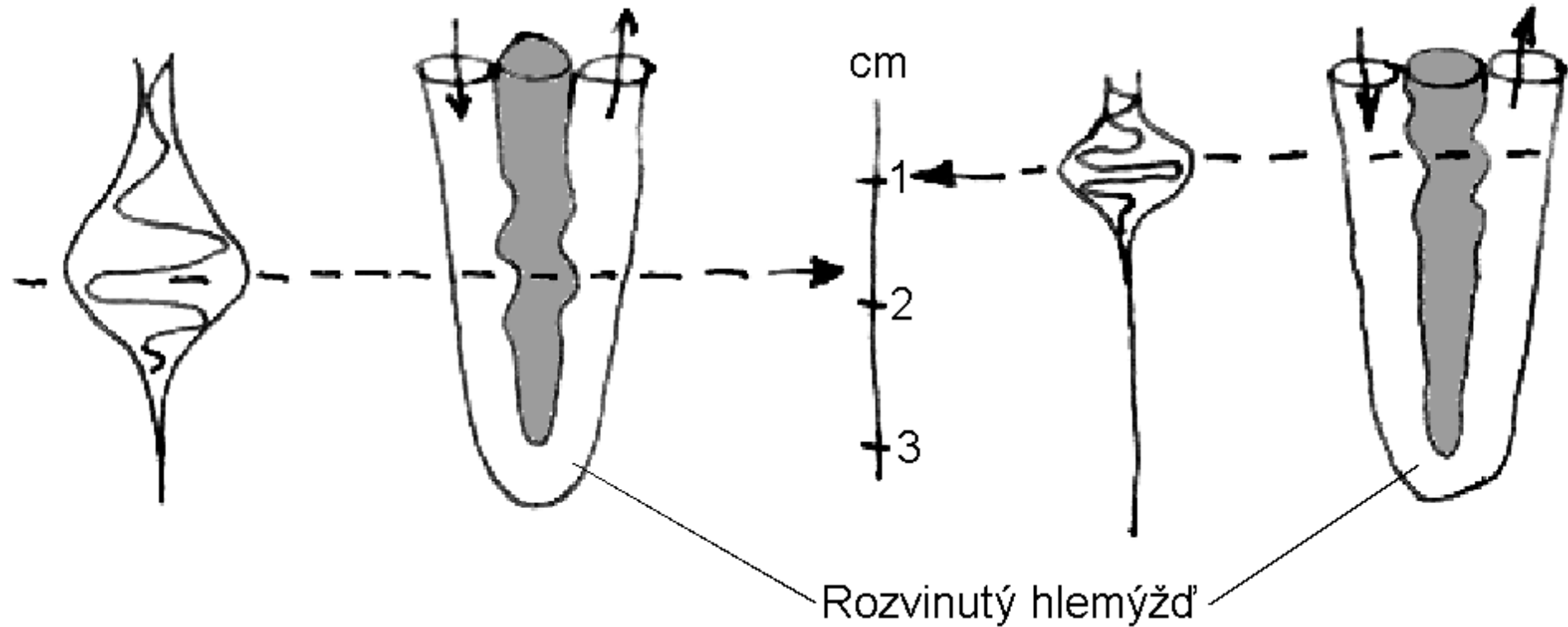


Výška tónu se promítá do prostorově lokalizovaného maxima.

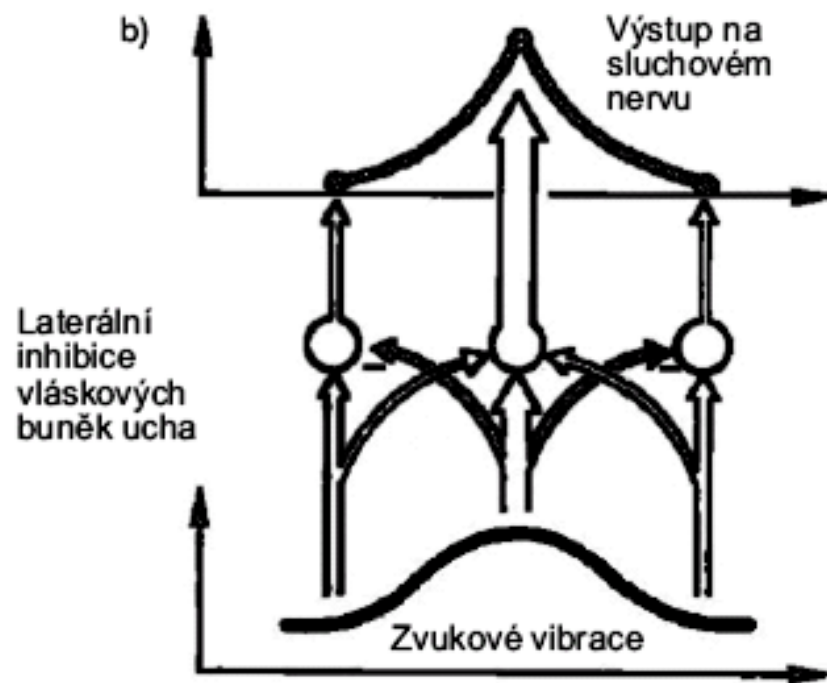
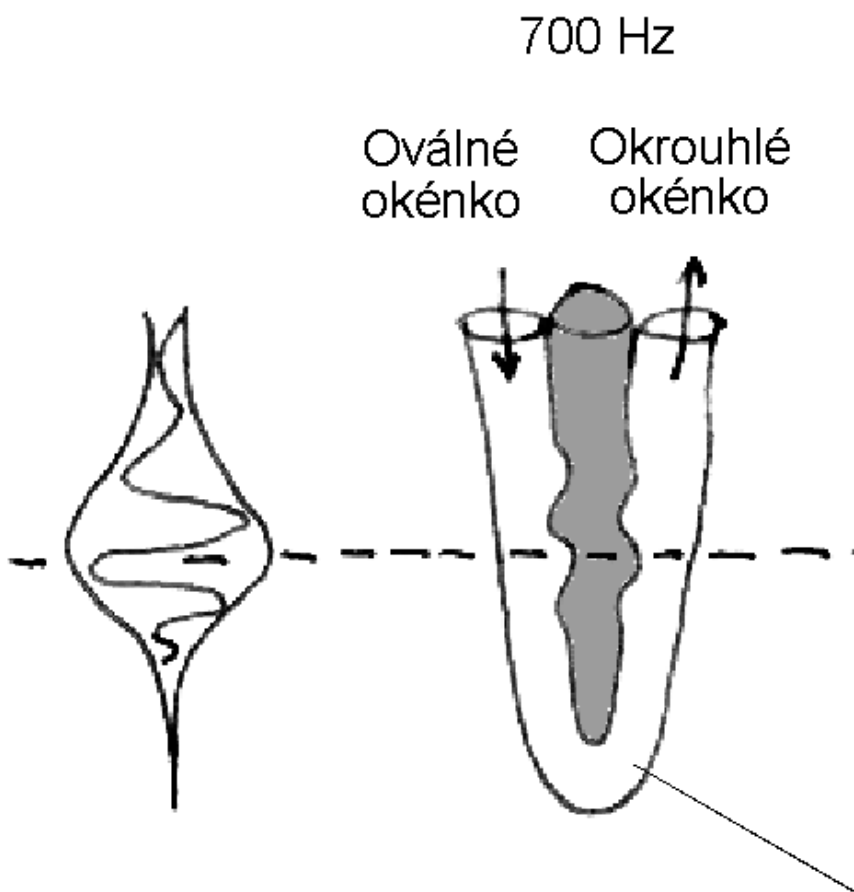
700 Hz

3000 Hz

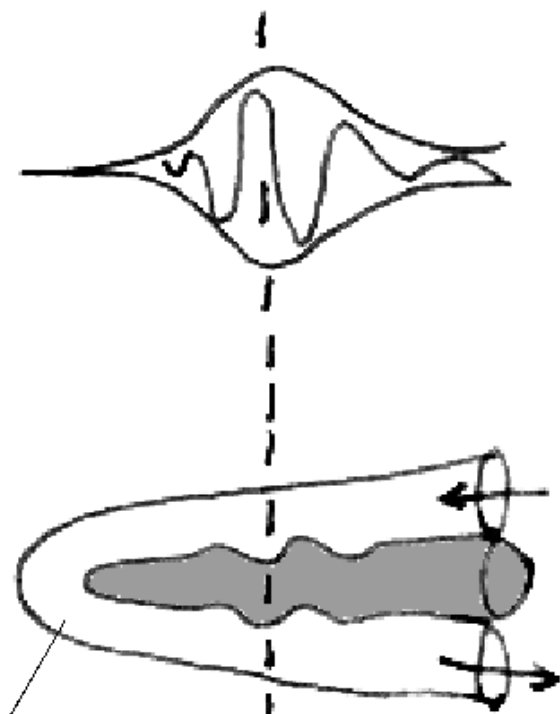
Oválné okénko Okrouhlé okénko



Vyostření maxima – laterální inhibice



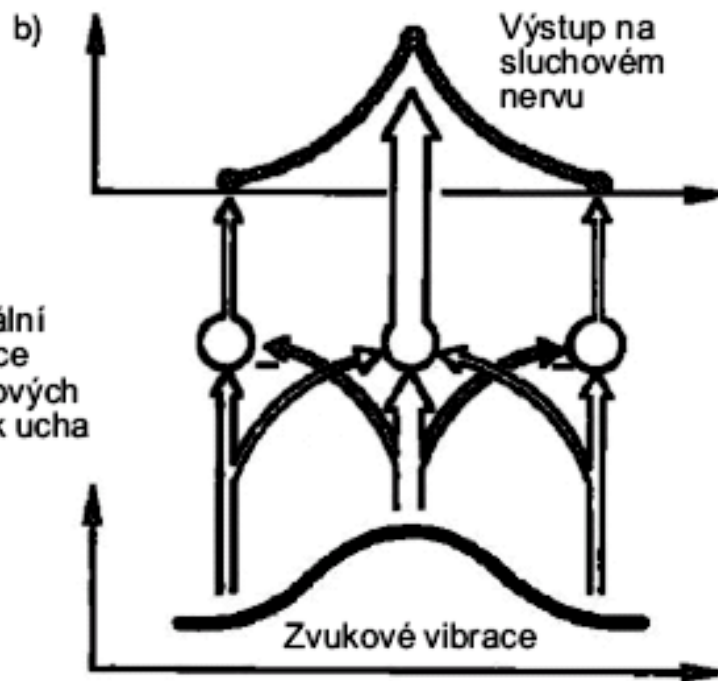
Vyostření maxima – laterální inhibice



Oválné okénko
Okrouhlé okénko

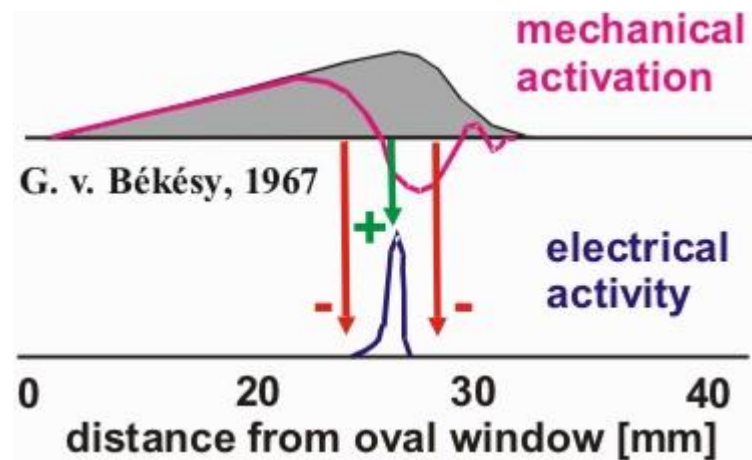
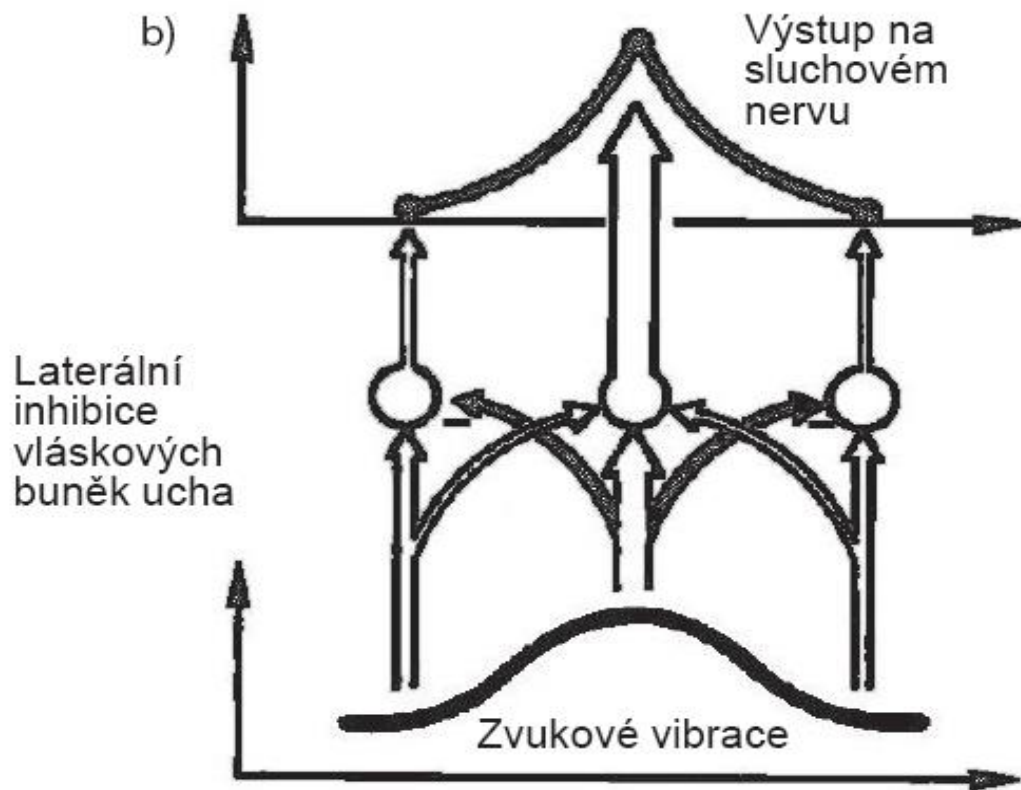
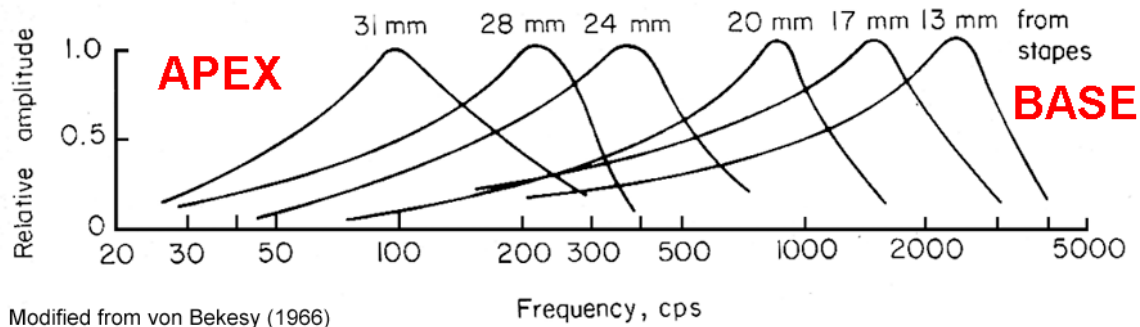
700 Hz

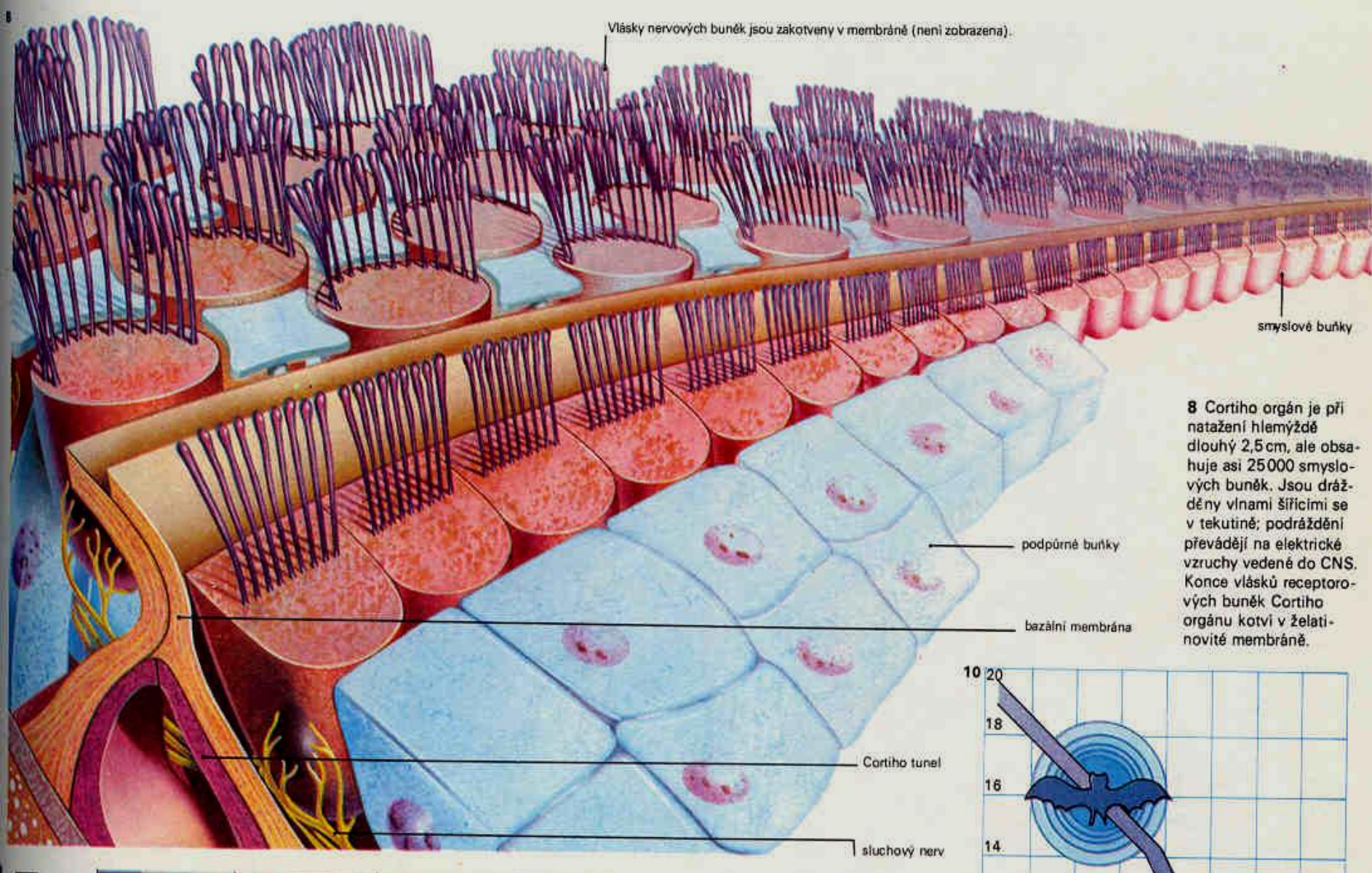
Laterální inhibice vláskových buněk ucha



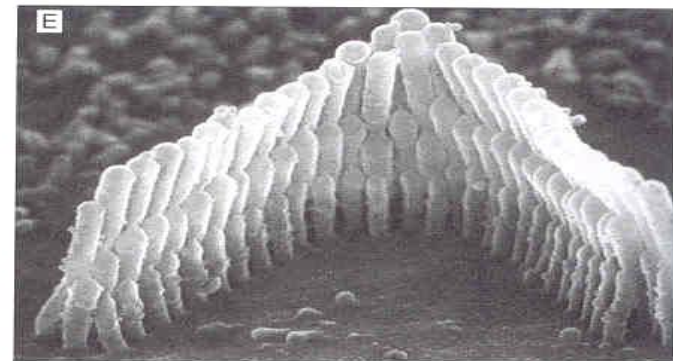
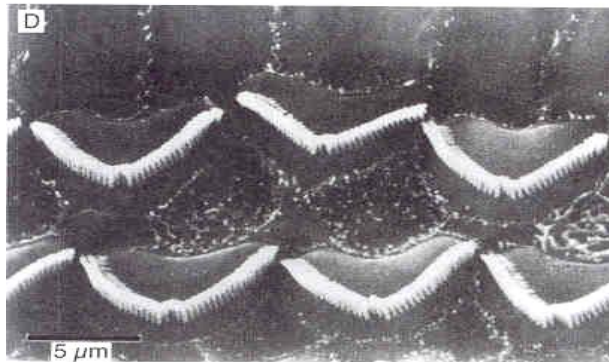
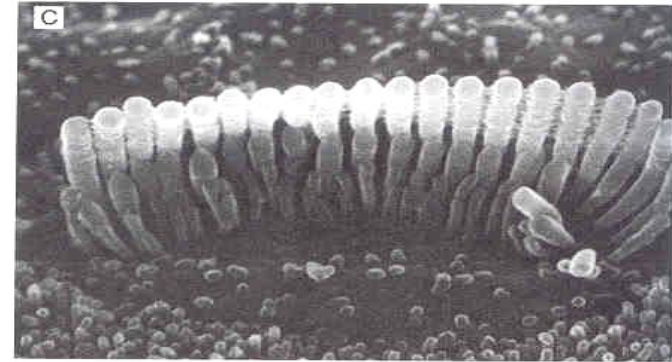
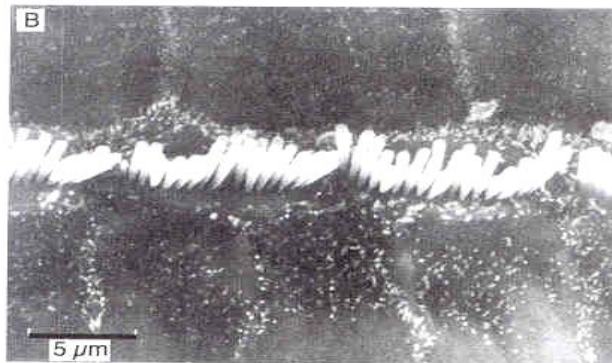
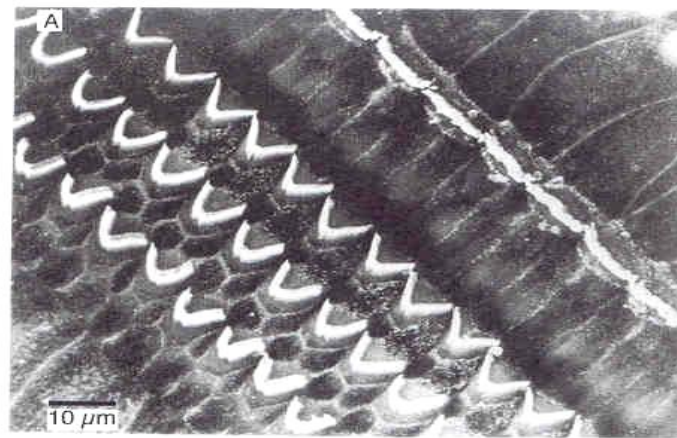
Zobrazení frekvence

Laterální inhibice pomáhá „najít“ vrchol





Cortiho orgán: 25.000 vláskových buněk ve dvou řadách



Cortiho orgán: 25.000 vláskových buněk ve dvou řadách

VNITŘNÍ

VNĚJŠÍ
„mlčící většina“

VNITŘNÍ

VNĚJŠÍ

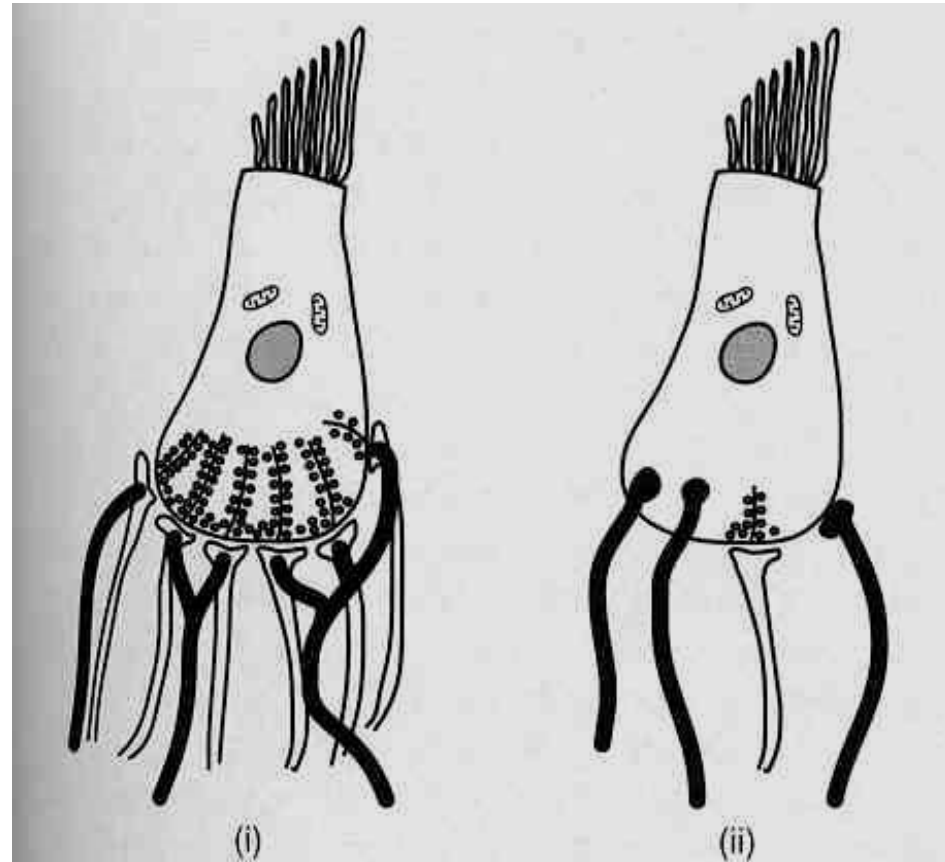
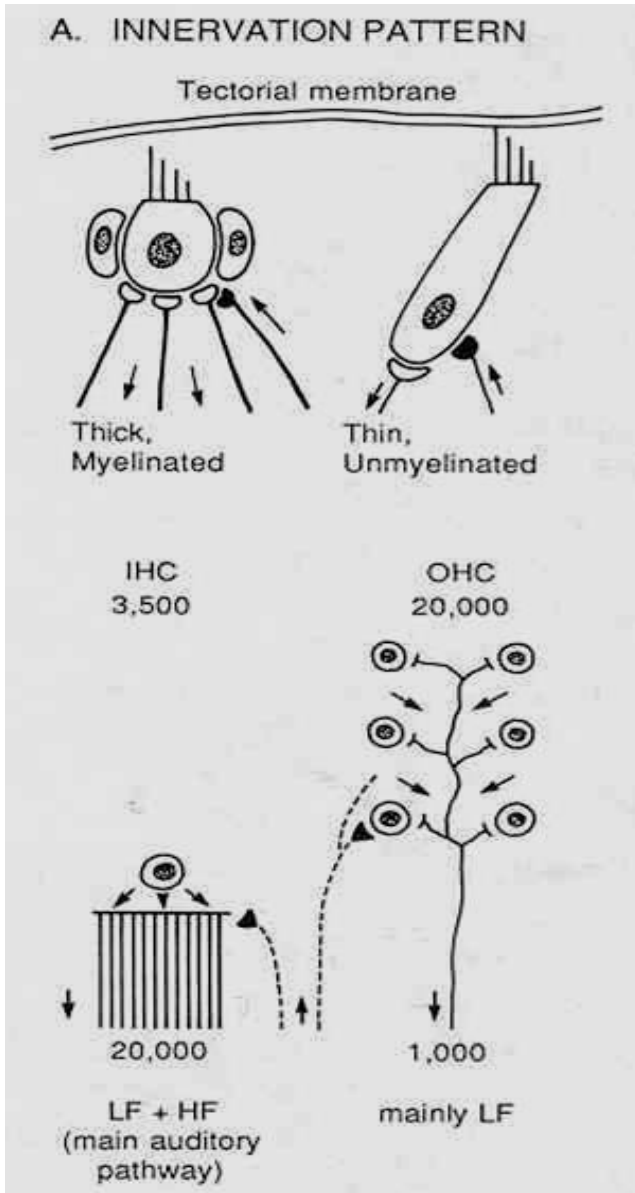
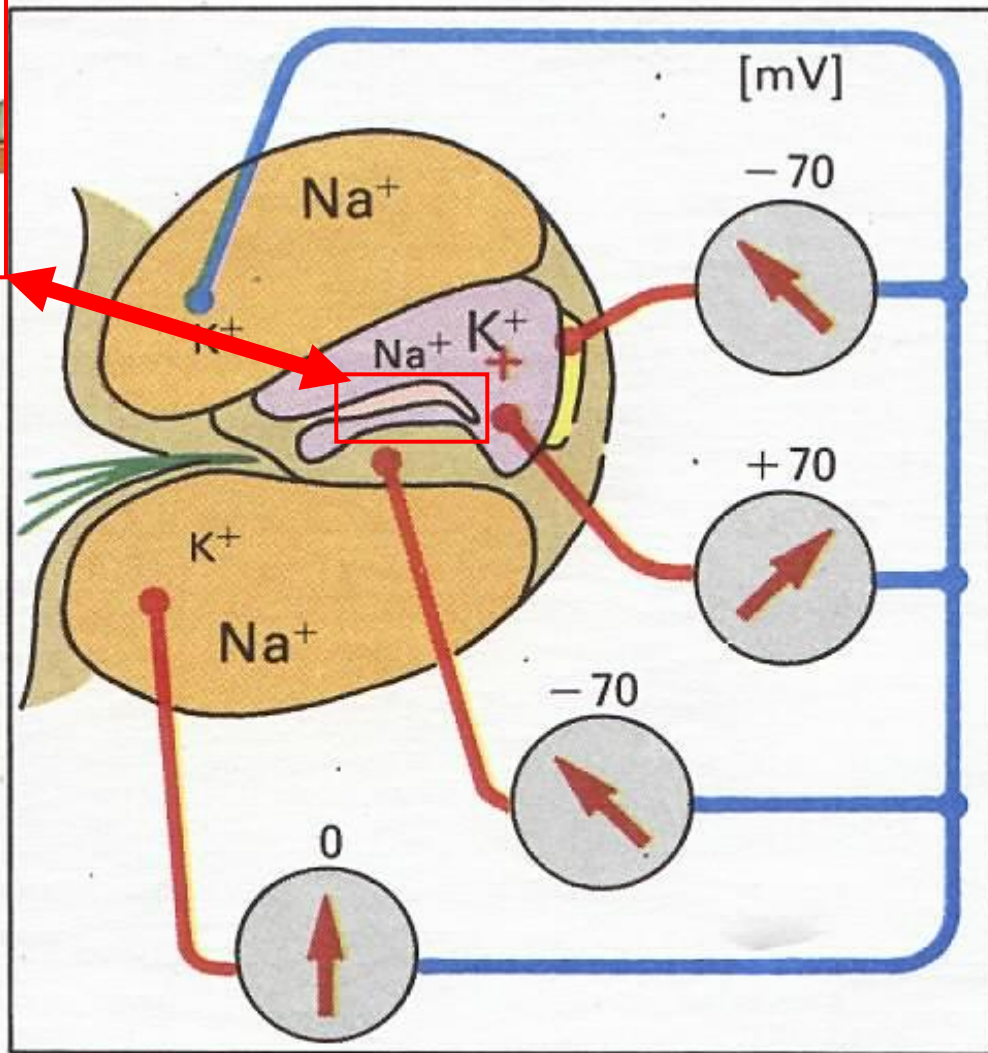
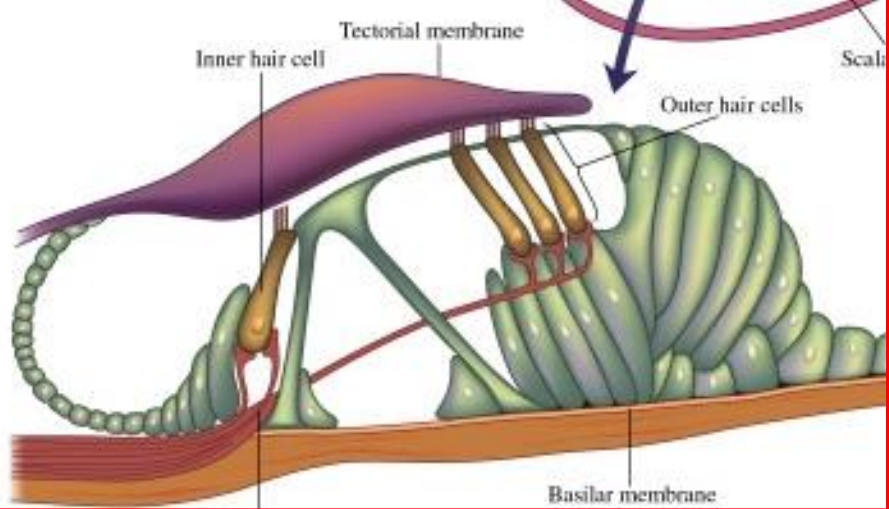


Figure 8.16 Innervation of inner and outer hair cells in the organ of Corti. The schematic figure shows afferent fibres (white) and efferent fibres (black). (i) Inner hair cell. The efferent fibres make synaptic contact with the dendritic endings of the afferent fibres. (ii) Outer hair cell. The efferent fibres synapse directly on the hair cell which makes rather few synapses (only one shown) with sensory (afferent) fibres



C. Kochleární potenciály a rozložení elektrolytů v oddílech hlemýždě

Potenciál v kochle
 Zvláštní složení endolymfy (K^+).
 Velká hnací síla 140mV pro kationty
 – snadný vznik receptorové odezvy

Nemáme mutantní linie vláskových buněk jako u hád'átka.

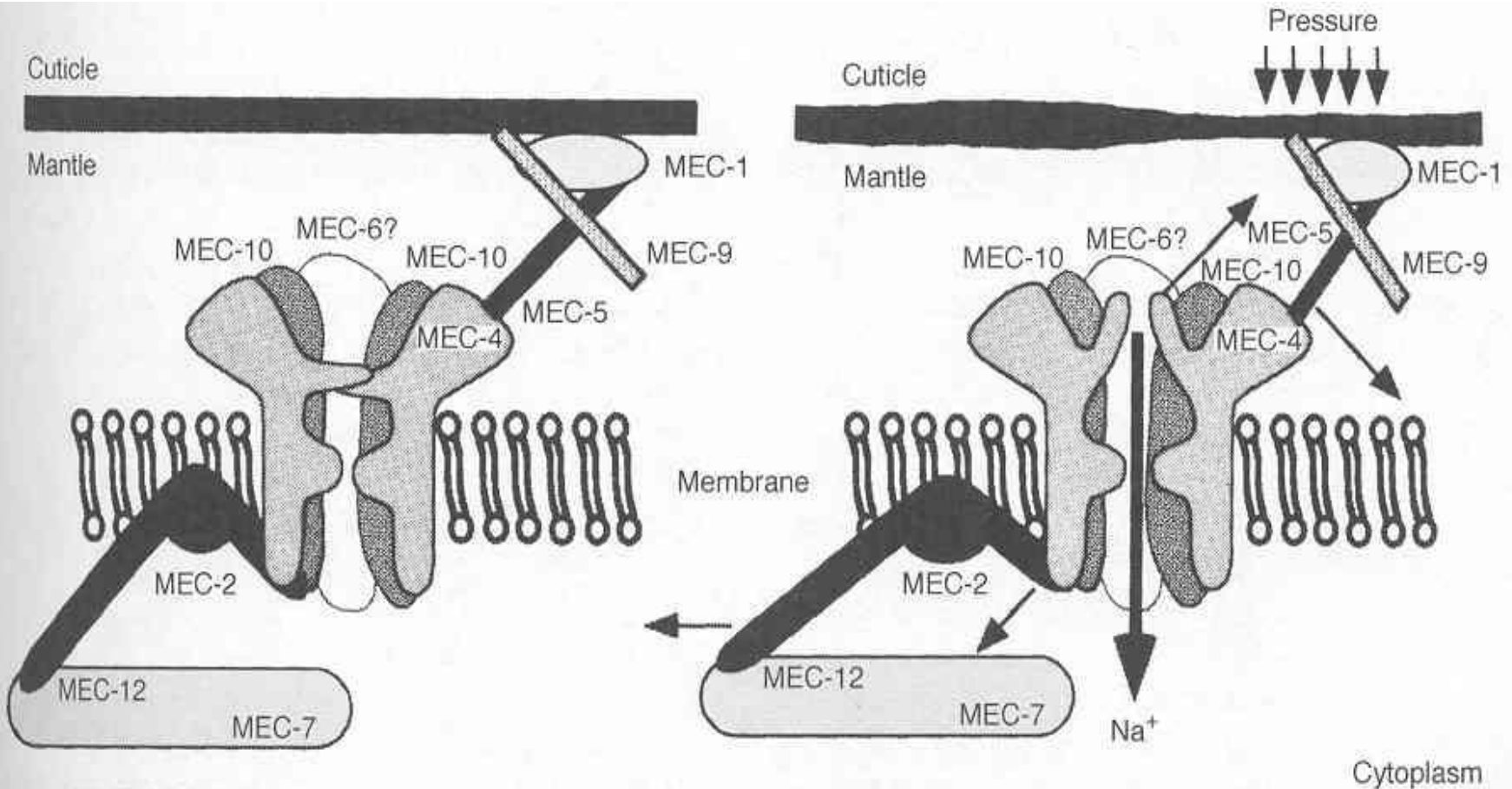
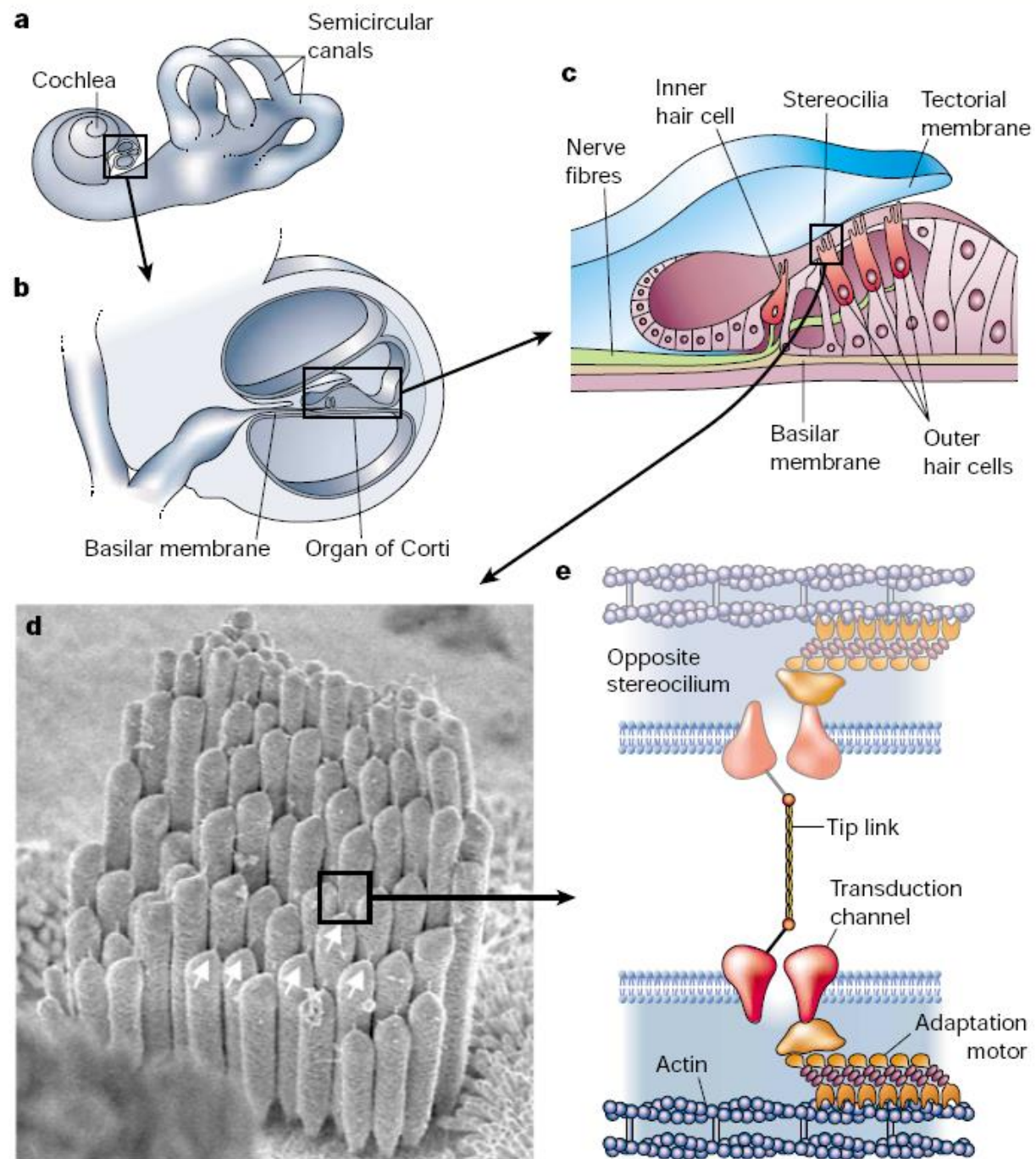


Figure 7.6 Conceptual model of *C. elegans* touch receptor. Explanation and nomenclature in text. From N. Tavernarakis and M. Driscoll, 1997, 'Molecular modelling of mechanotransduction in the nematode *Caenorhabditis elegans*', *Annual Review of Physiology*, 59, 679. With permission, from the *Annual Review of Physiology*, Volume 59, ©1997, by Annual Reviews www.annualreviews.org

Analýza vrozených vad dokázala příbuznost proteinů vl. buněk a bezobratlých

Figure 4 Inner-ear structure and hair-cell transduction model. **a**, Gross view of part of the inner ear. Sound is transmitted through the external ear to the tympanic membrane; the stimulus is transmitted through the middle ear to the fluid-filled inner ear. Sound is transduced by the coiled cochlea. **b**, Cross-section through the cochlear duct. Hair cells are located in the organ of Corti, resting on the basilar membrane. **c**, Sound causes vibrations of the basilar membrane of the organ of Corti; because flexible hair-cell stereocilia are coupled to the overlying tectorial membrane, oscillations of the basilar membrane cause back-and-forth deflection of the hair bundles. **d**, Scanning electron micrograph of hair bundle (from chicken cochlea). Note tip links (arrows). **e**, Proposed molecular model for hair-cell transduction apparatus.



Obečný molekulární
Princip mechanorecepce

Obrovská adaptabilita a citlivost - pohyby v kochlei

- Dva druhy adaptace modifikující mechanické vlastnosti
- Kochleární zesilovač – vnější buňky savců

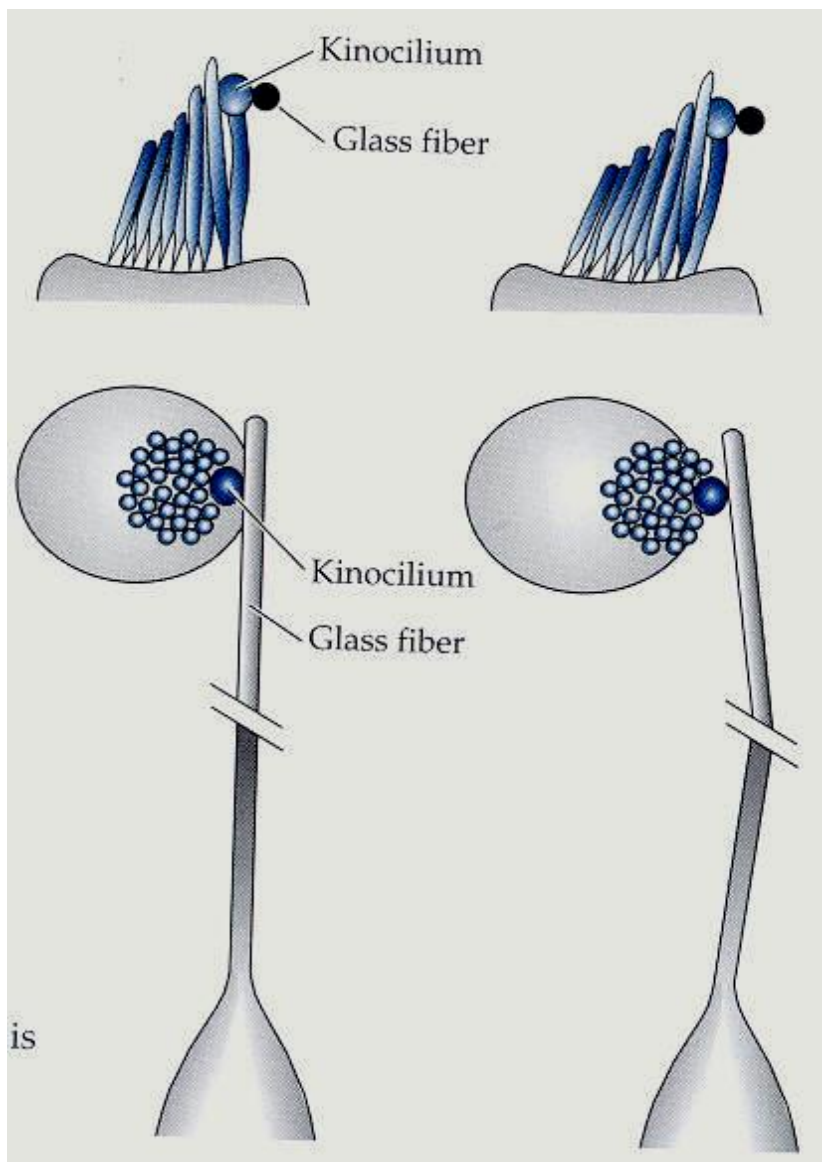
Dva druhy adaptace: rychlá a pomalá, obě stojí na intracelulárních změnách Ca, různé mechanismy.

Rychlá: během milisekundy, konstantní síla vede k rychlému poklesu proudu. Ten je svázán s rychlým pohybem svazku v opačném směru směrem ke klidové poloze svazku. Při otevření vnější silou Ca proudí do buňky, ten zavře část kanálů, proud klesne. Má to mechanickou korelaci: svazek se pohne zpět od kinocilie.

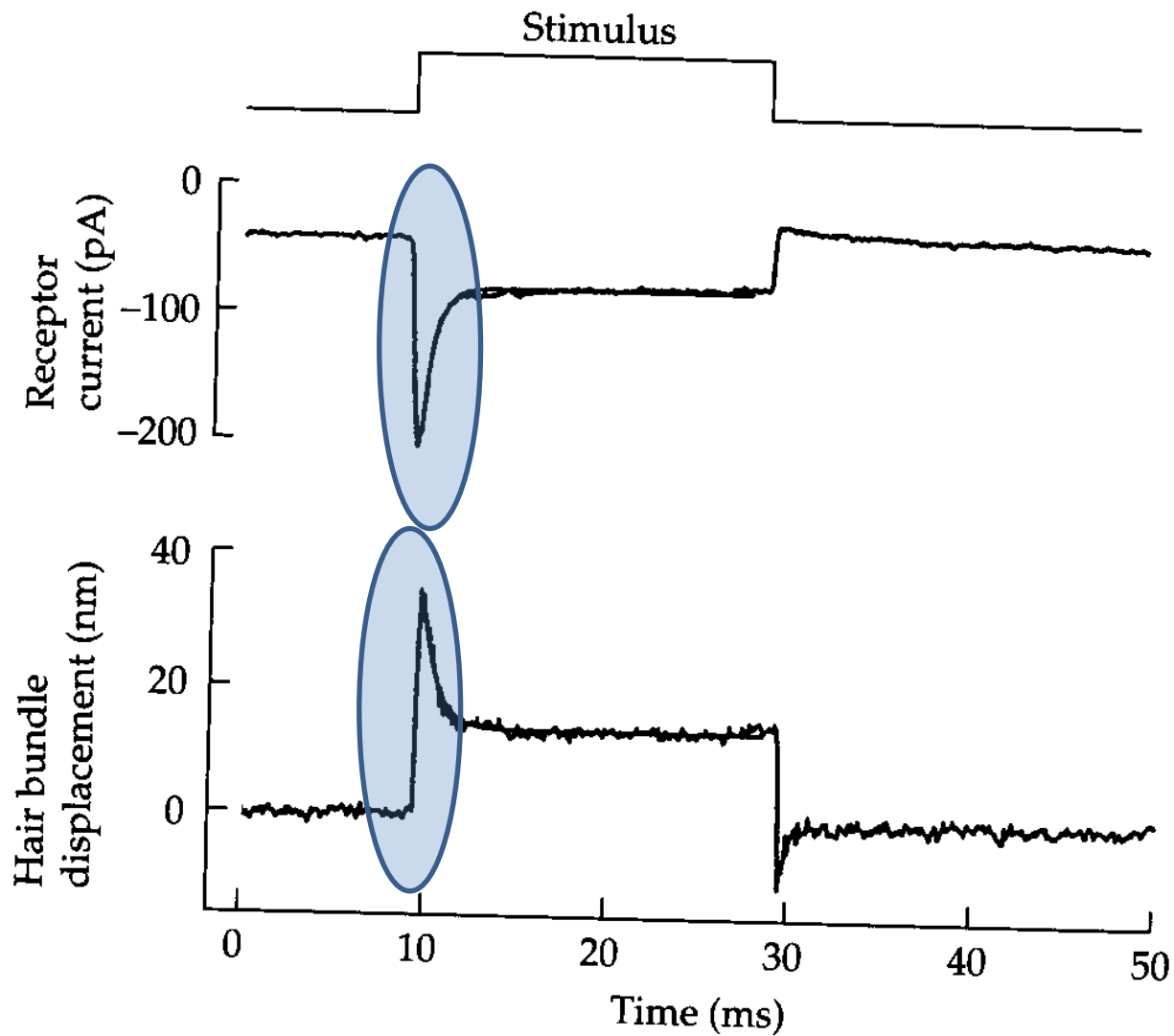
Pomalá: Pomalé uvolnění tenze vrátkovacích spojů. Stereocilie obsahují nejen aktin, ale i myosin – adjustace tenze. Celý operační rozsah buňky se přesune, takže transdukce bude nejcitlivější v této nové oblasti.

Rychlá adaptace:

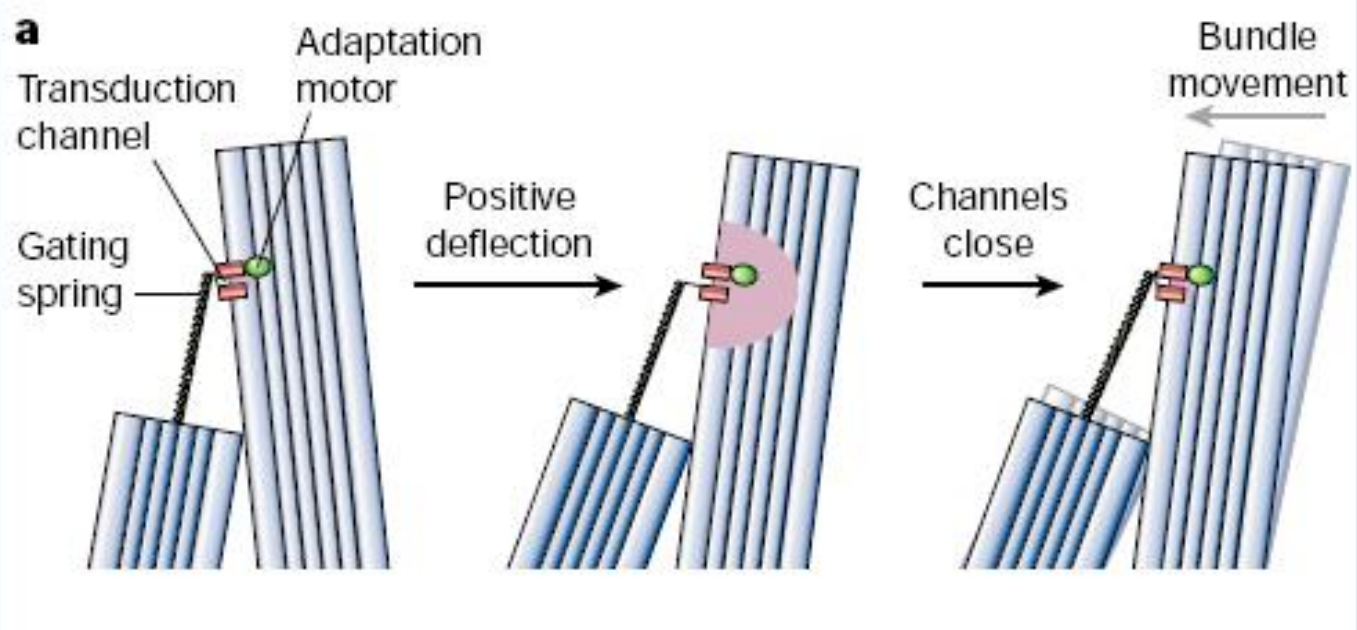
Testy tuhosti
a měření pohybu
vlásků



Rychlá adaptace:
Protipohyb uzavírající
kanály a tlačící svazek zpět.

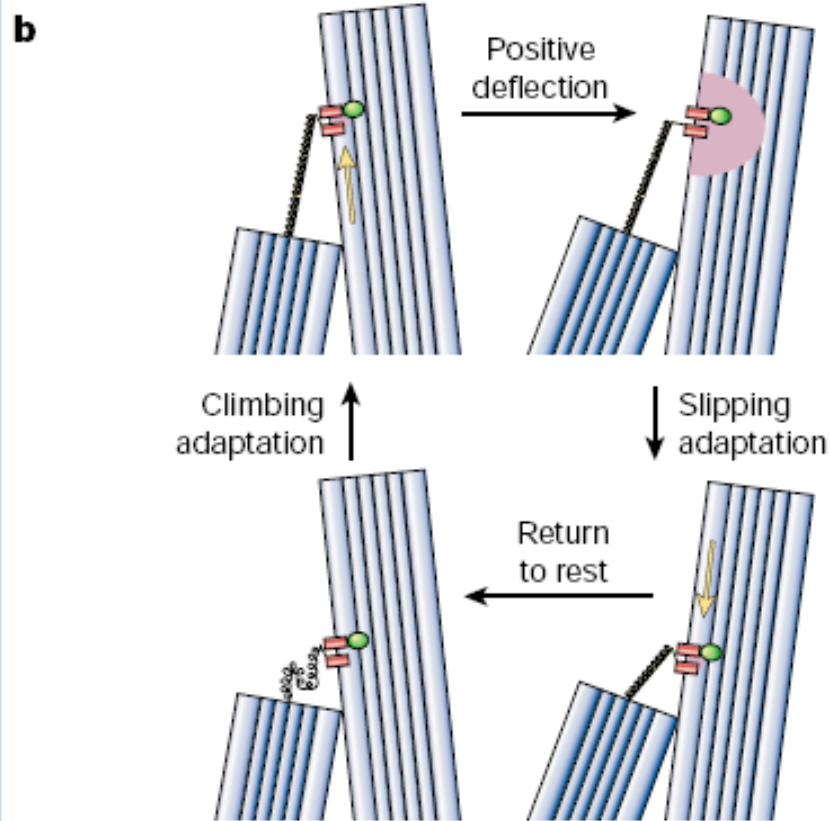


Rychlá – Ca do buňky,
Část kanálů se zavře,
Svazek se pohne zpět
Od kinocilie



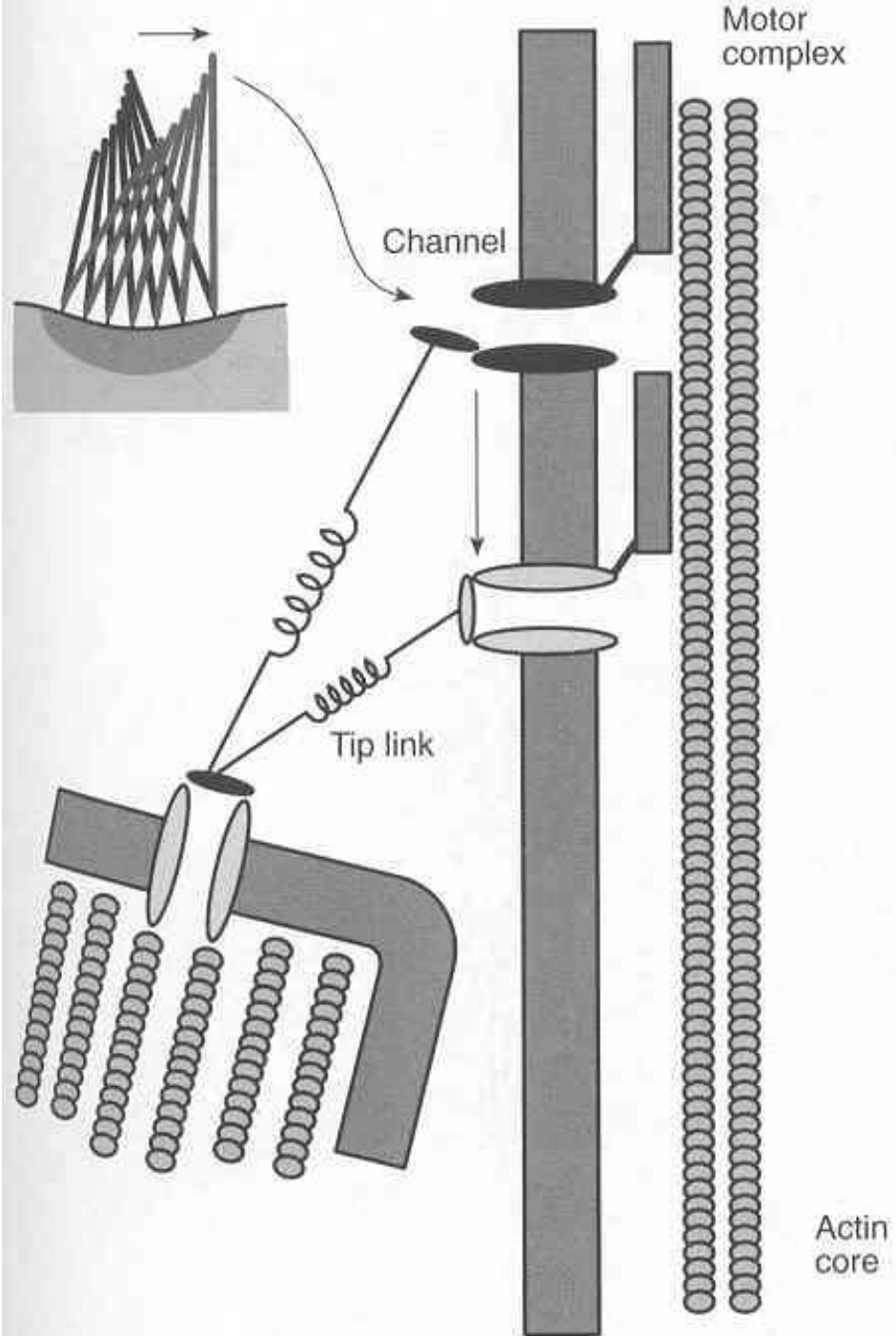
Pomalá – uvolnění tenze
vrátkovacích spojů

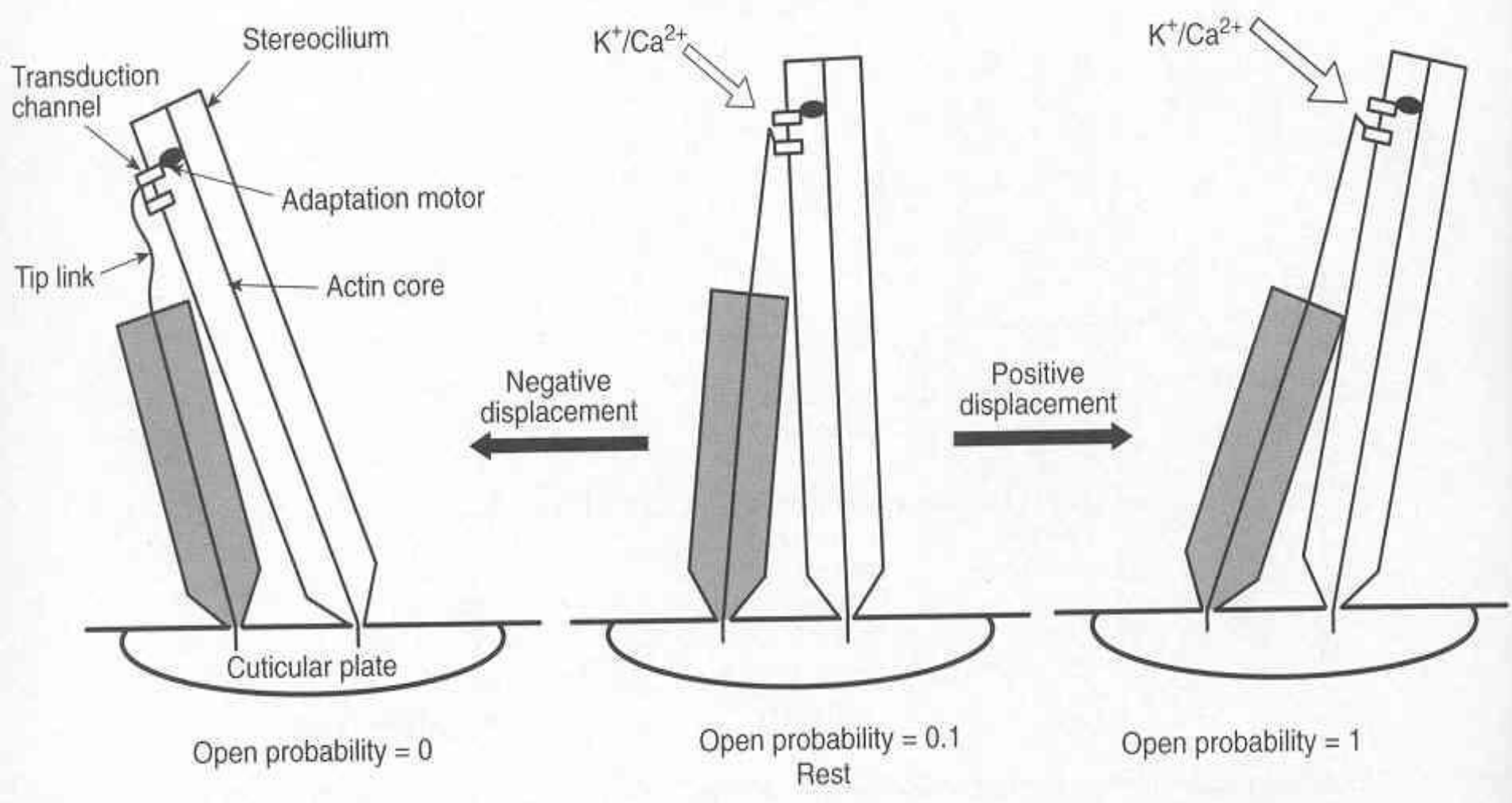
Obě závislé na Ca^{2+}



Box 2 Figure Hair-cell transduction and adaptation. **a**, Transduction and fast adaptation. At rest (left panel), transduction channels spend ~5% of the time open, allowing a modest Ca^{2+} entry (pink shading). A positive deflection (middle) stretches the gating spring (drawn here as the tip link); the increased tension propagates to the gate of the transduction channel, and channels open fully. The resulting Ca^{2+} flowing in through the channels shifts the channels' open probability to favour channel closure (right). As the gates close, they increase force in the gating spring, which moves the bundle back in the direction of the original stimulus. **b**, Transduction and slow adaptation. Slow adaptation ensues when the motor (green oval) slides down the stereocilium (lower right), allowing channels to close. After the bundle is returned to rest (lower left), gating-spring tension is very low; adaptation re-establishes tension and returns the channel to the resting state.

Pomalá adaptace
Řízená Ca

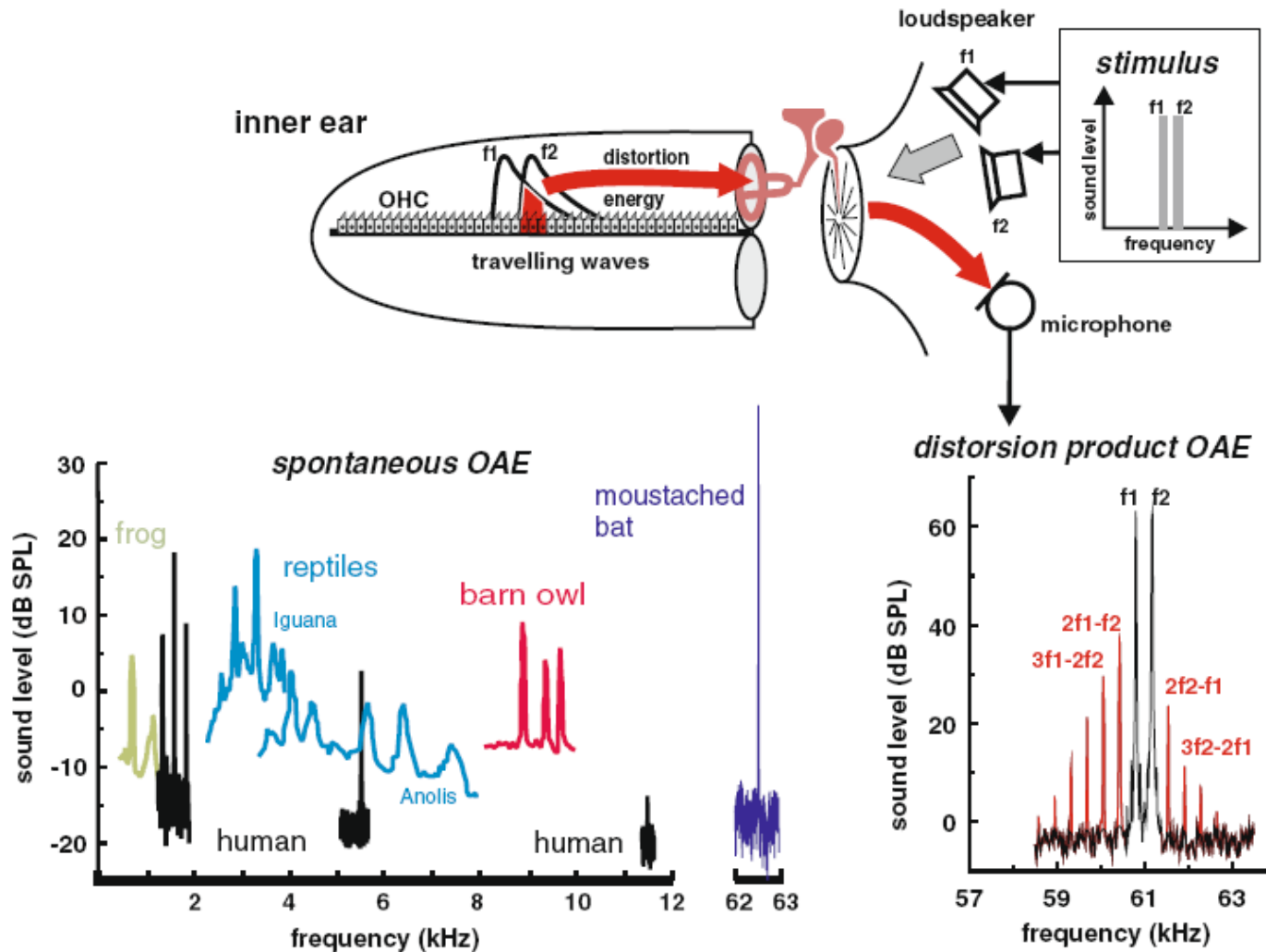




Pomalá – uvolnění tenze
vrátkovacích spojů

Otoakustické emise, 2008

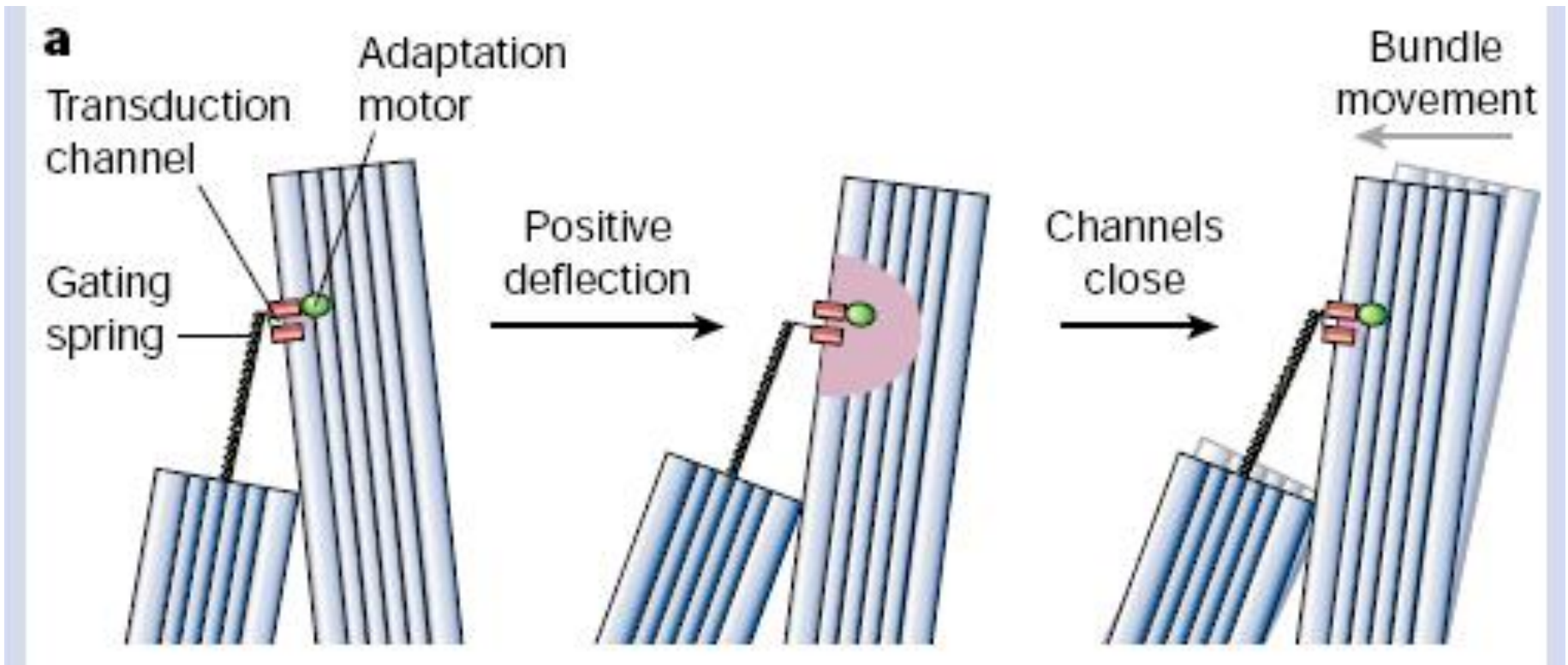
Měření „ozvěny“ z ucha pomohlo odhalit, že se v něm aktivně něco děje.



Kochleární zesilovač vnějších buněk Kempovy otoakustické emise

2 teorie:

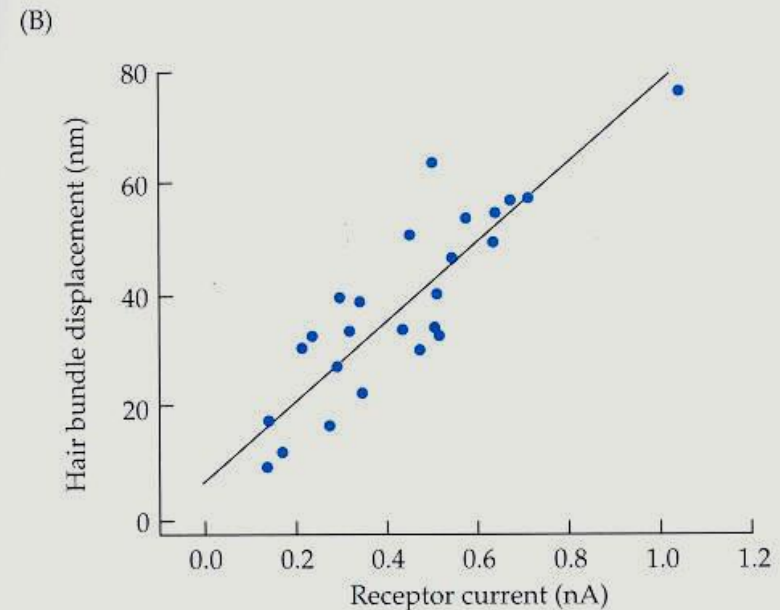
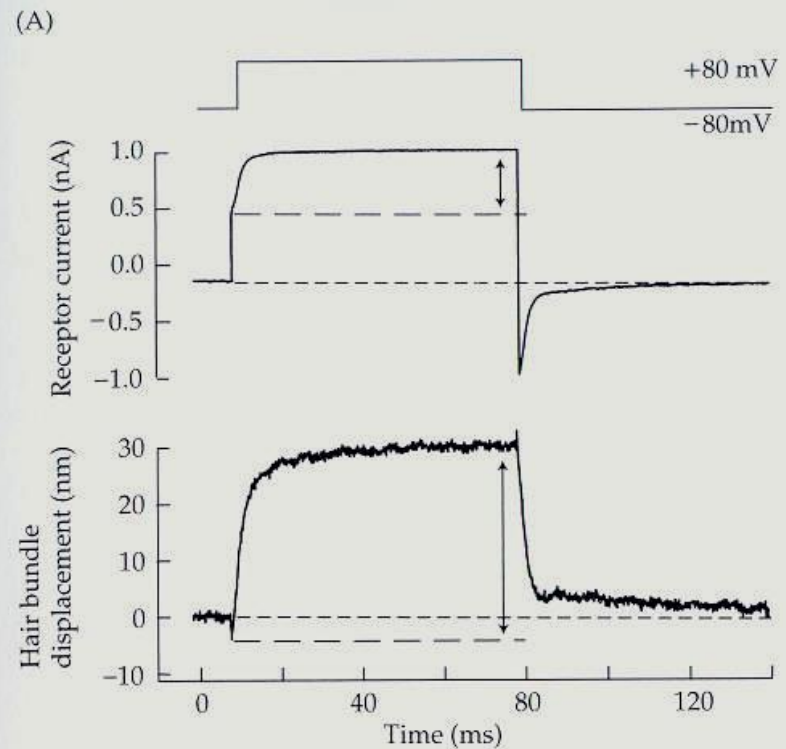
A) Pohyb svazků stereocílií
díky mechanismu „rychlé adaptace“



Otevření kanálů
vyvolá pohyb celého svazku
a influx kationtů. Nastává depolarizace.
Ca pak kanály inhibuje a pohne vláskem.

Platí i obráceně: depolarizace
vede k pohybu vlásků – základ
pro aktivní pohyby svazku.

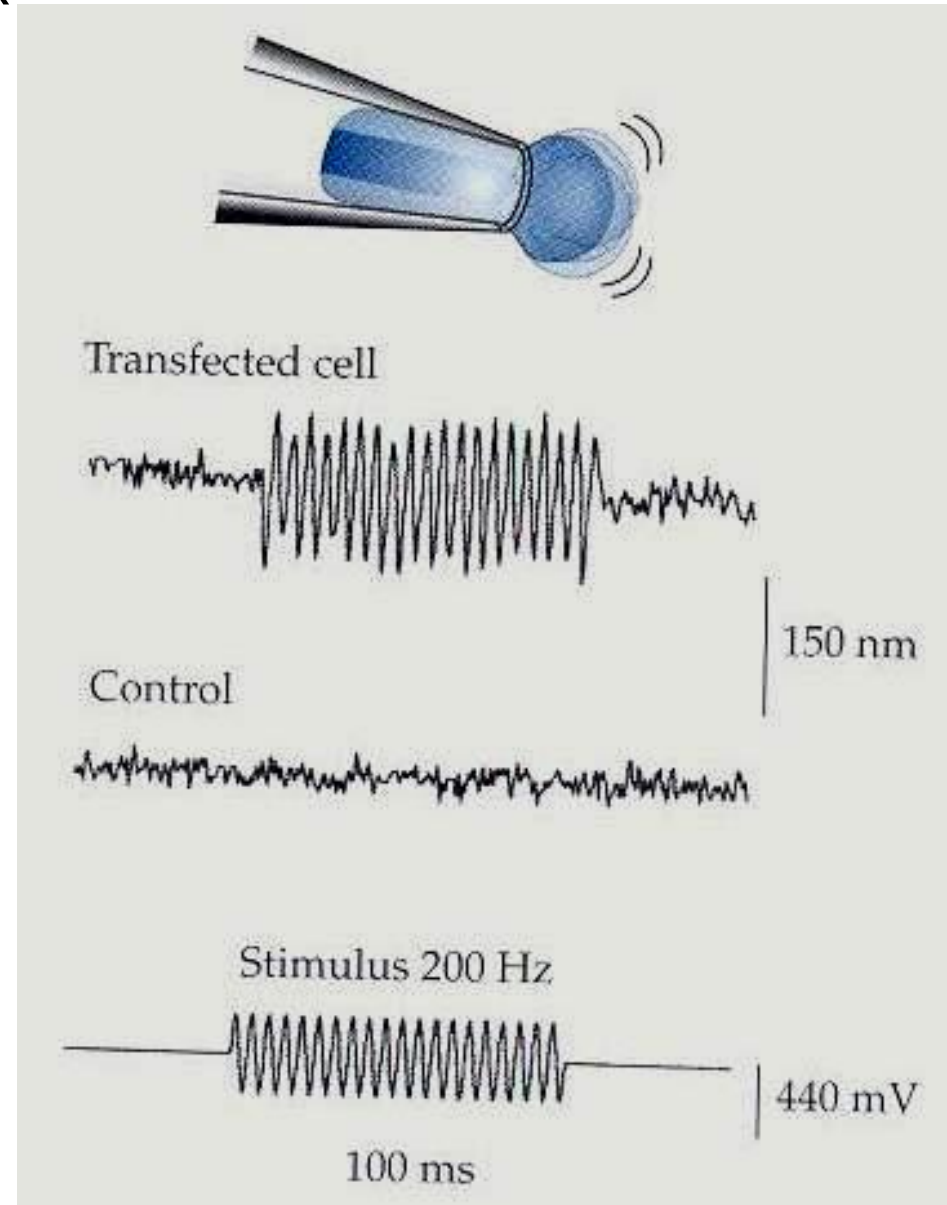
Důkaz elektro-mechanického
spřažení



Kochleární zesilovač vnějších buněk

2 teorie:

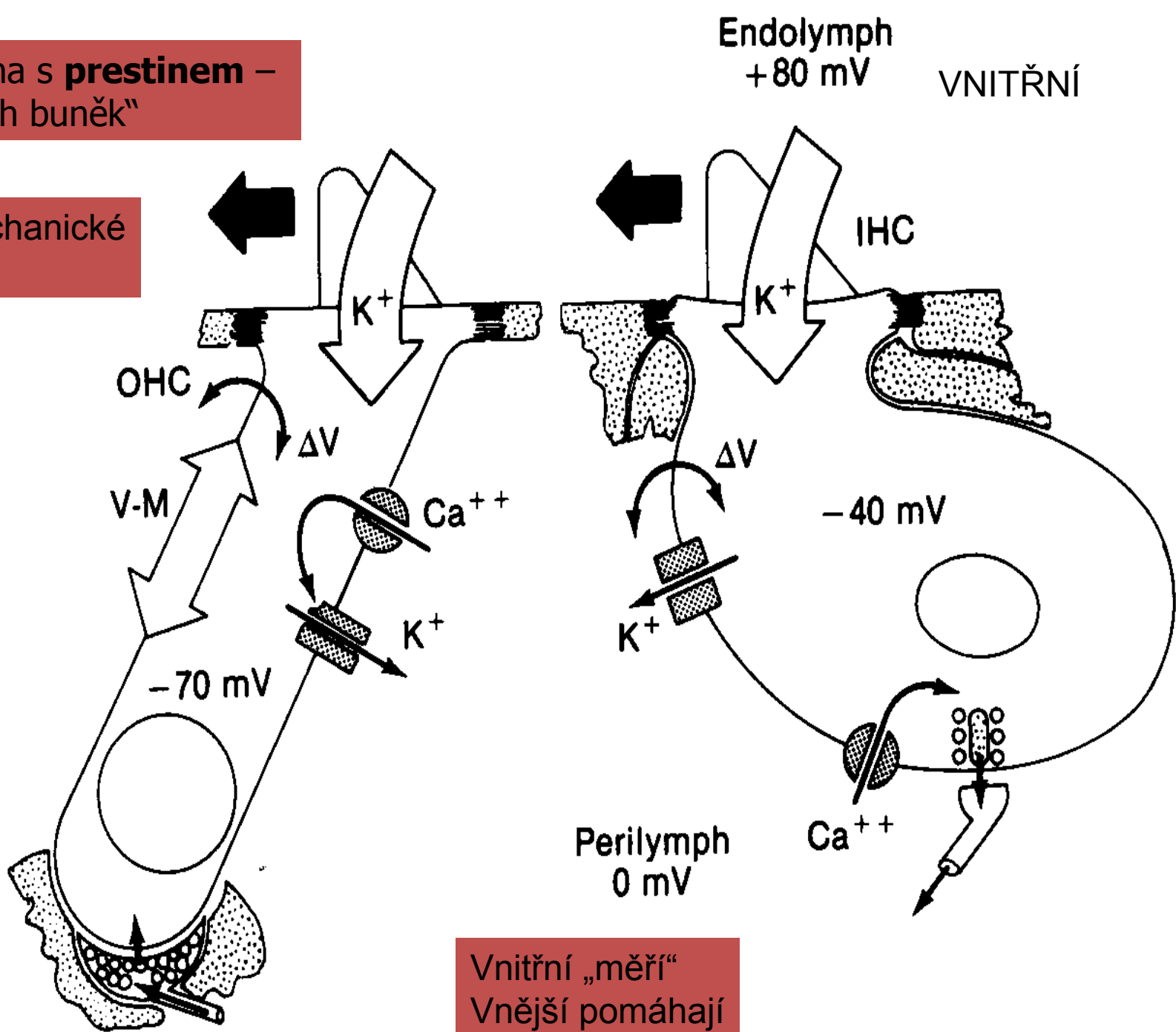
B) Membrána s proteinem **prestinem** – pohyb celých buněk

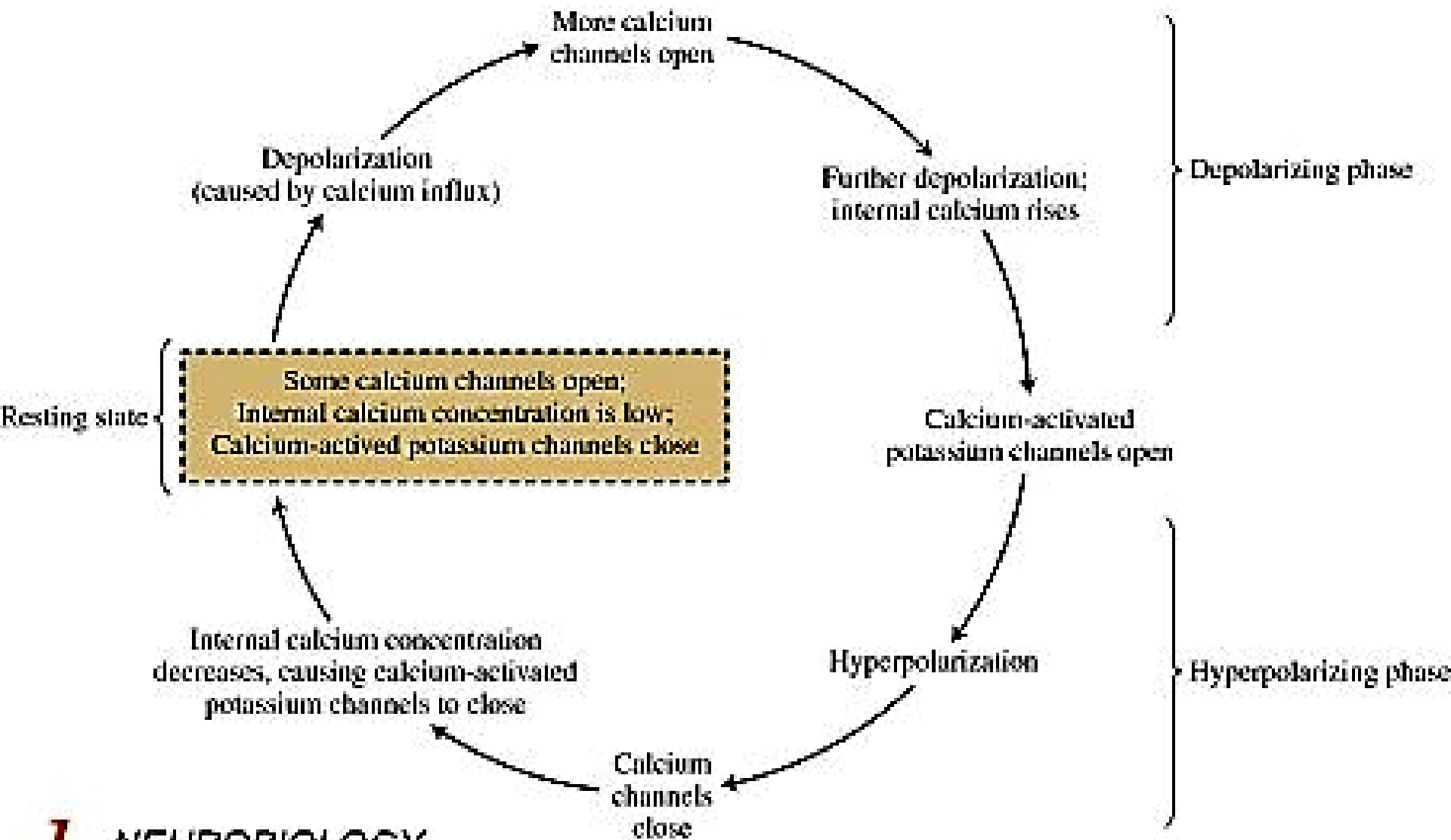


„Tancující“ membrána

B) Membrána s **prestínem** –
pohyb celých buněk“

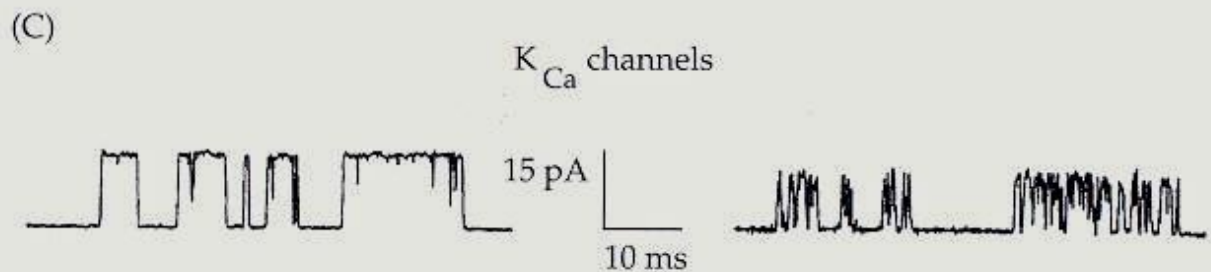
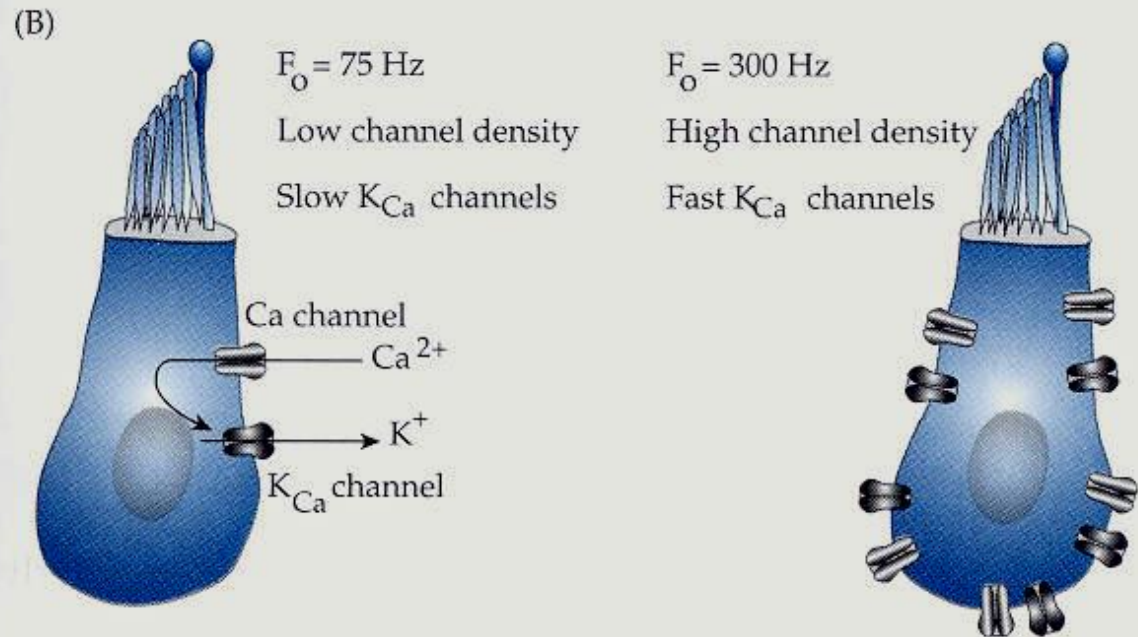
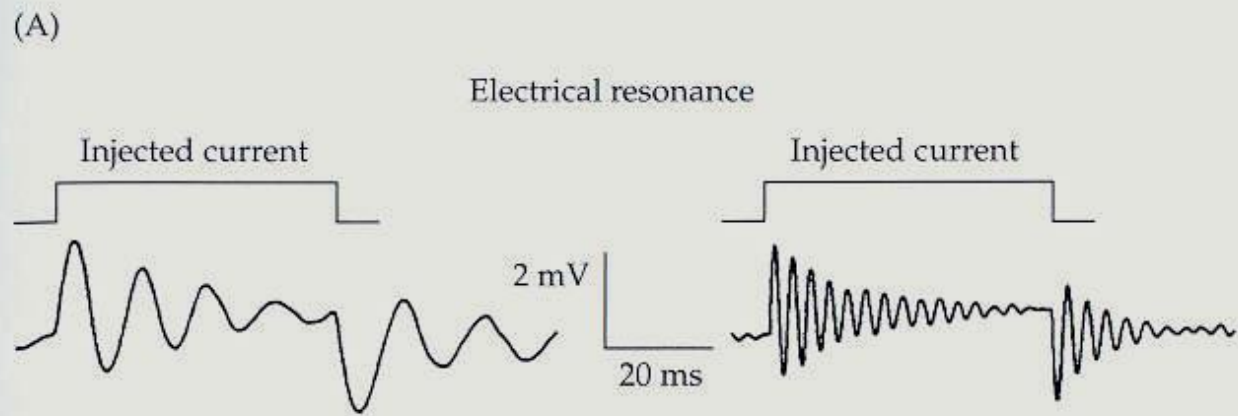
Elektro-mechanické
spřažení



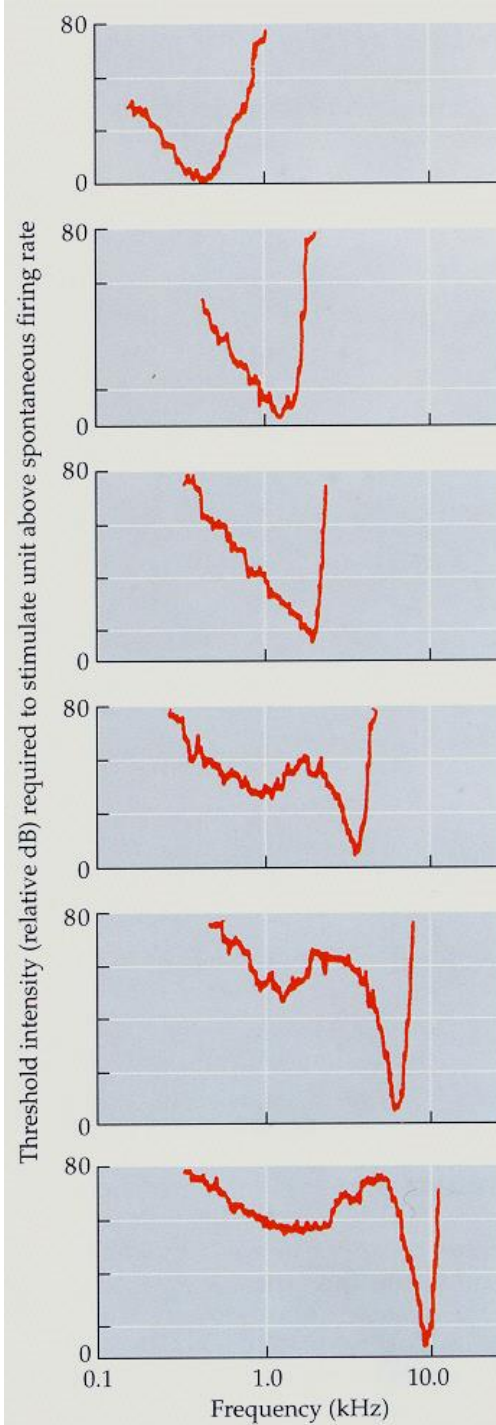


Elektrická rezonance
bez nutnosti mechanické
Nalezena ale mimo savce

Vlastnosti kanálů určují
rezonanční frekvenci



Hraniční spektrální citlivost pro
různá vlákna sluchového nervu
- Každý má své frekvenční optimum



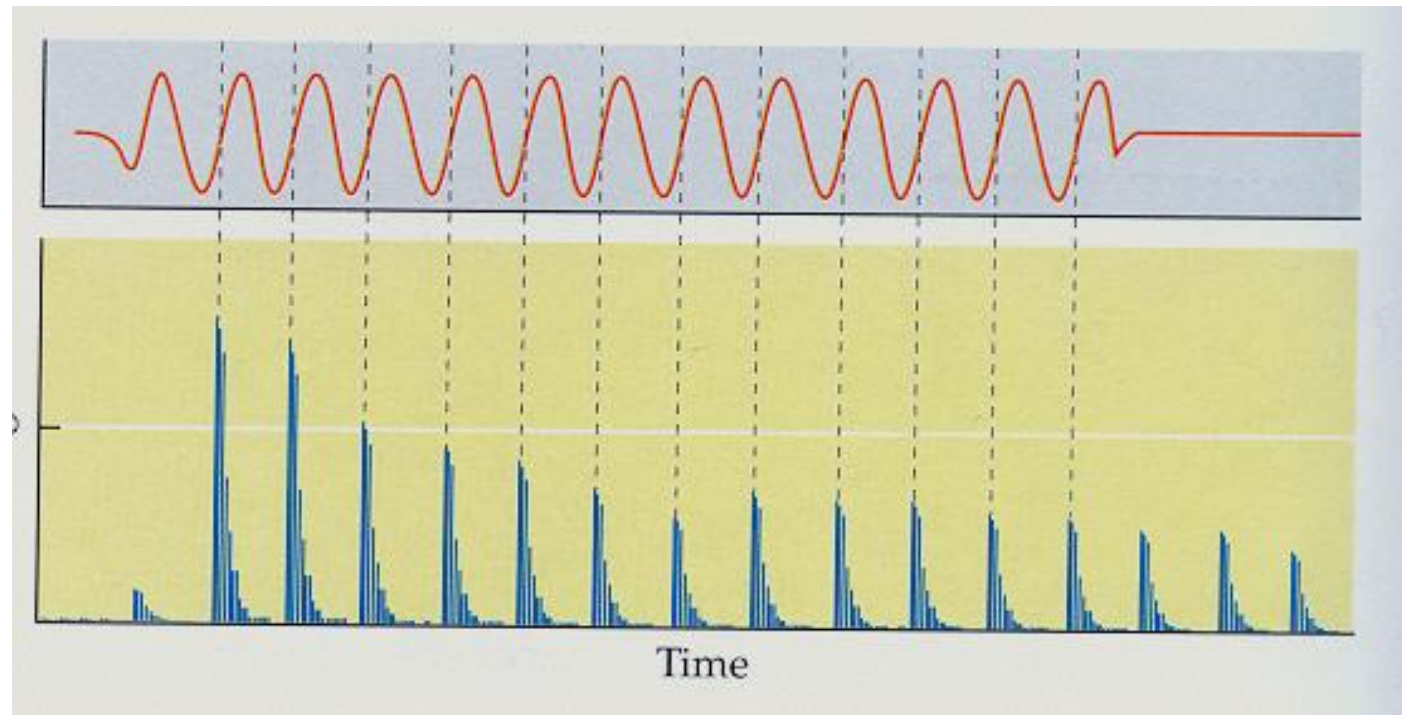
Před dvaceti lety se zdálo, že je to jasné: elektrická stimulace vnějších buněk způsobila protažení a zkrácení. Podstata je taková, že proudy vznikající ohybem vlásků způsobí elektromechanickým spřažením aktivní rezonanci vlastní buňky ve stejné frekvenci jakou má dopadající zvuk. Strategická pozice vnějších buněk by zesílila lokální vibrace Cortiho orgánu a přes přenos kapalinou i vnitřní buňky.

Na molekulární úrovni se předpokládalo, že je tento mechanismus založen na motorovém proteinu zvaném prestin. Basolaterální strana vnějších v.b. je na něj bohatá. Může měnit tvar tak rychle jak se může měnit napětí na membráně – až do stovek kHz. Jenže to je jen *in vitro*.

Hlavní komponentou kochleárního zesilovače jsou tedy asi svazky vlásků spíše než buňka samotná a prestin v membráně.

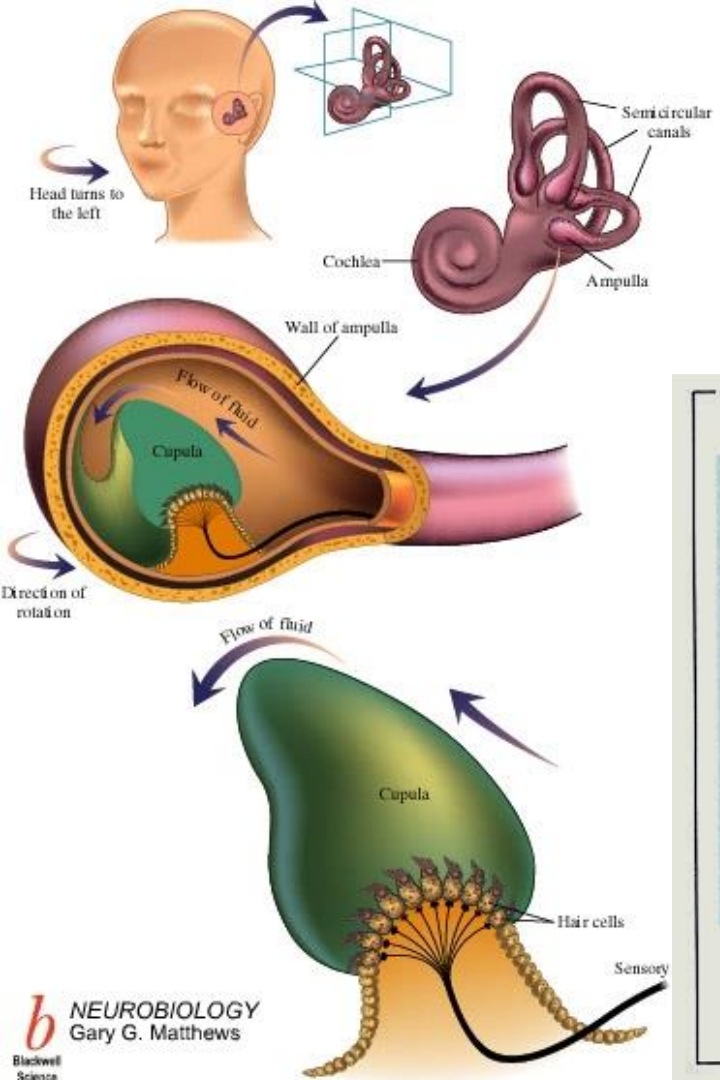
Tato síla je produktem otevírání a zavírání iontových kanálů. Jde o podobný děj, jakým se iontové proudy přizpůsobují trvalému ohybu vlásků. Tato Ca dependentní adaptace je v savčích vnějších vláskových buňkách nesmírně rychlá a pomáhá jim nejlépe odpovídat na zvukové frekvence příslušející jejich poloze v kochlei.

Kromě lokalizace v kochlei přejde jen existuje i Časový kód
Neuron může „poznat“ fázi nízkých frekvencí –
Omezeno ale refrakterní periodou
Pouze zvuky pod 1 kHz

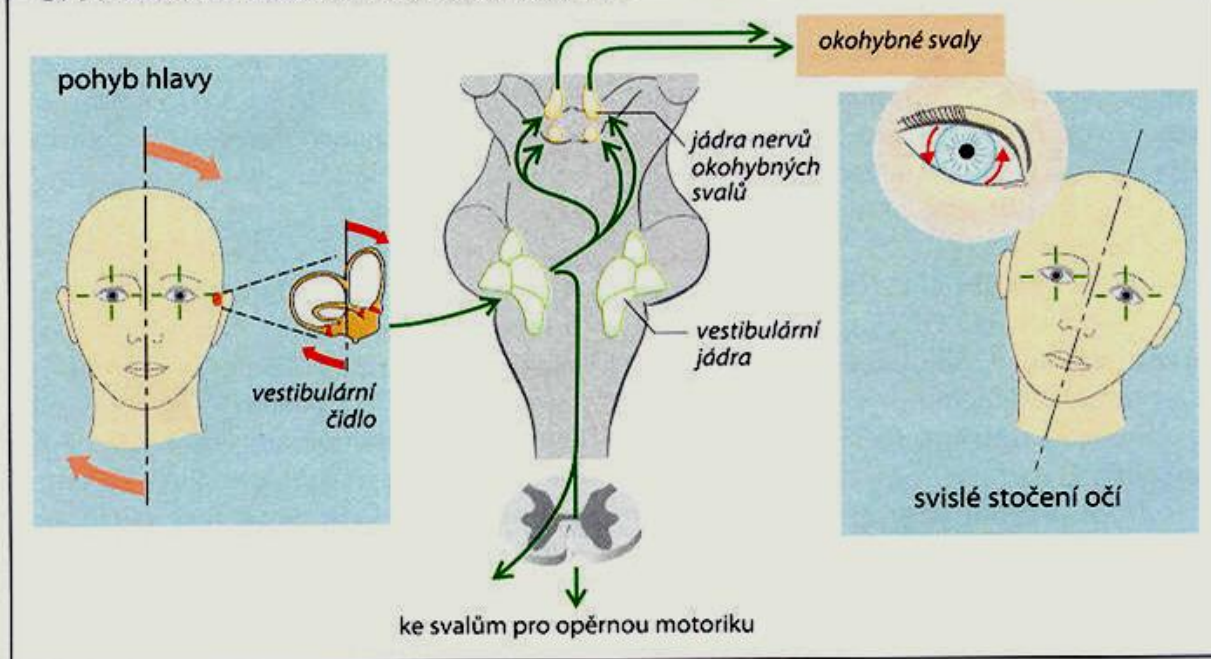


Rovnováha Vedení a zpracování signálu

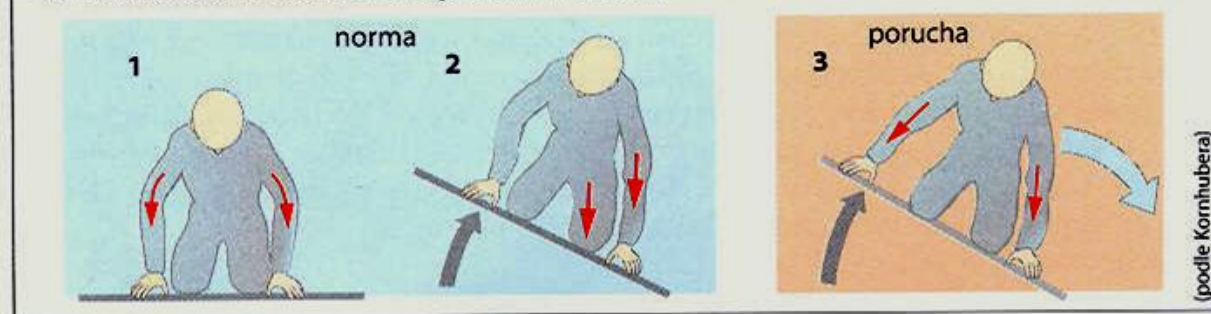
Nervus vestibulocochlearis – VIII. hlavový nerv. Oba nervové provazce společně vstupují jako sluchově rovnovážný nerv mezi most a mozeček



B. Vestibulární čidlo: vliv na okulomotoriku



C. Vestibulární čidlo: vliv na opěrnou motoriku



Za významné se považují tyto projekce:

1- k míšním somatickým motoneuronům – zabezpečují reflexní udržování vzpřímeného postoje

2- do kůry vestibulárního mozečku a z něho – pro mozečkovou kontrolu vzpřímené polohy těla

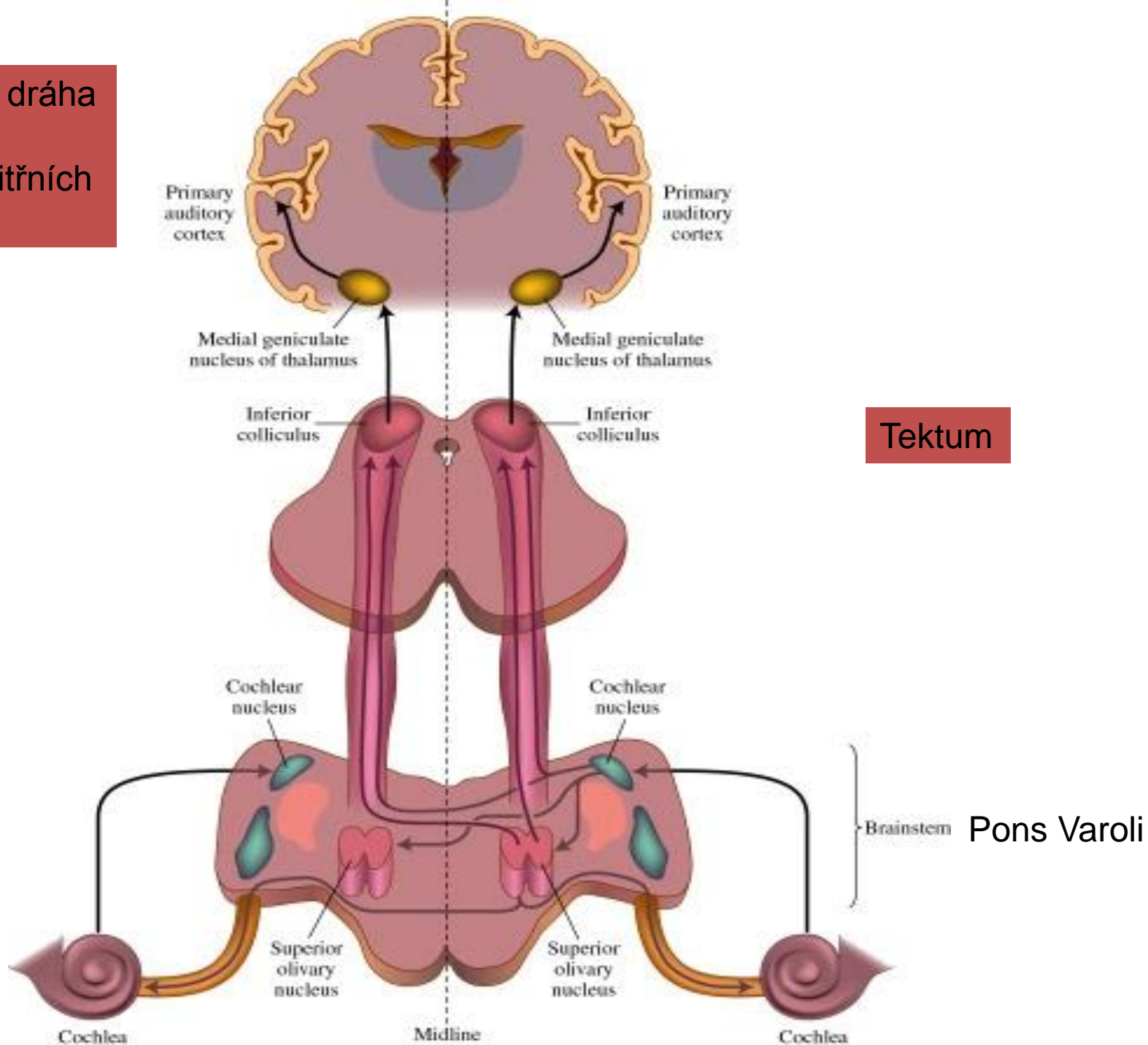
3- k motorickým jádrům očních svalů – vestibulookulomotorický reflex. Jeho význam se projeví u rotujících obrazů prostředí, kdy se detaily jinak velmi rychle ztratí.

4- spoje se zrakovou kůrou a s proprioreceptory ve svalech – integrace informací o orientaci a pohybu

5 - přes talamus do mozkové kůry – zřejmě umožňující vědomé rozeznávání polohy hlavy v prostoru

Sluchová dráha

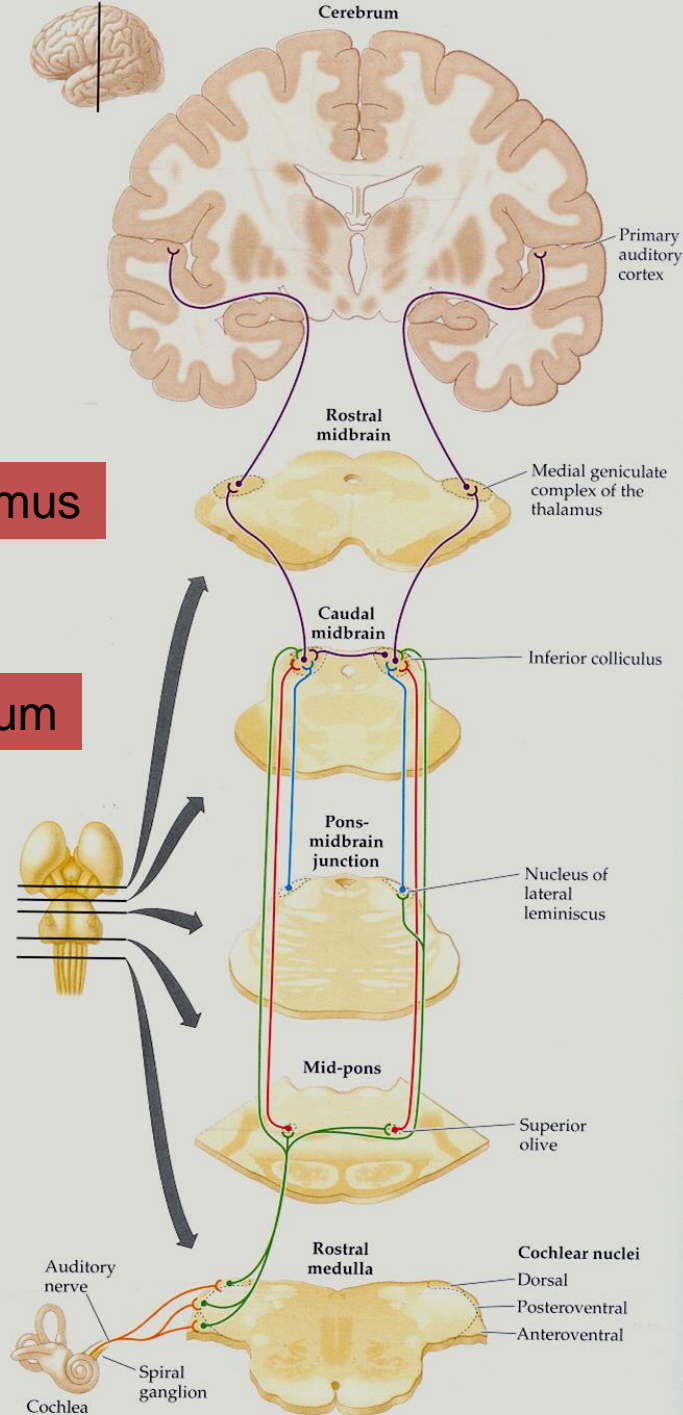
90% z vnitřních
v.b.



Tektum

Brainstem Pons Varoli

Diagram of auditory system pathways are shown. Parallel pathways, from both ears comes to the auditory system, at



Sluchová dráha

1. Kochleární jádra prodloužené míchy
Některé neurony citlivé na výšku, nástup, jiné na sérii. Laterální inhibice. Šum/signál.
2. Horní oliva – křížení nutné pro lokalizaci. Analýza koincidence
3. Inf. coll. – spodní hrbolek Tektum
4. Geniculate komplex – poslední před kůrou. Mnoho eferentních vláken.
5. Prim a sec. Kůra

Ve srovnání se zrakem mnoho práce ještě před kůrou ve kmeni –
Savci nejprve pouze noční .
Až řeč lokalizována do kůry.

Pons Varoli

Medulla

Mezencefalon - Střední mozek:

Původně sensorické, asociační
a motorické centrum

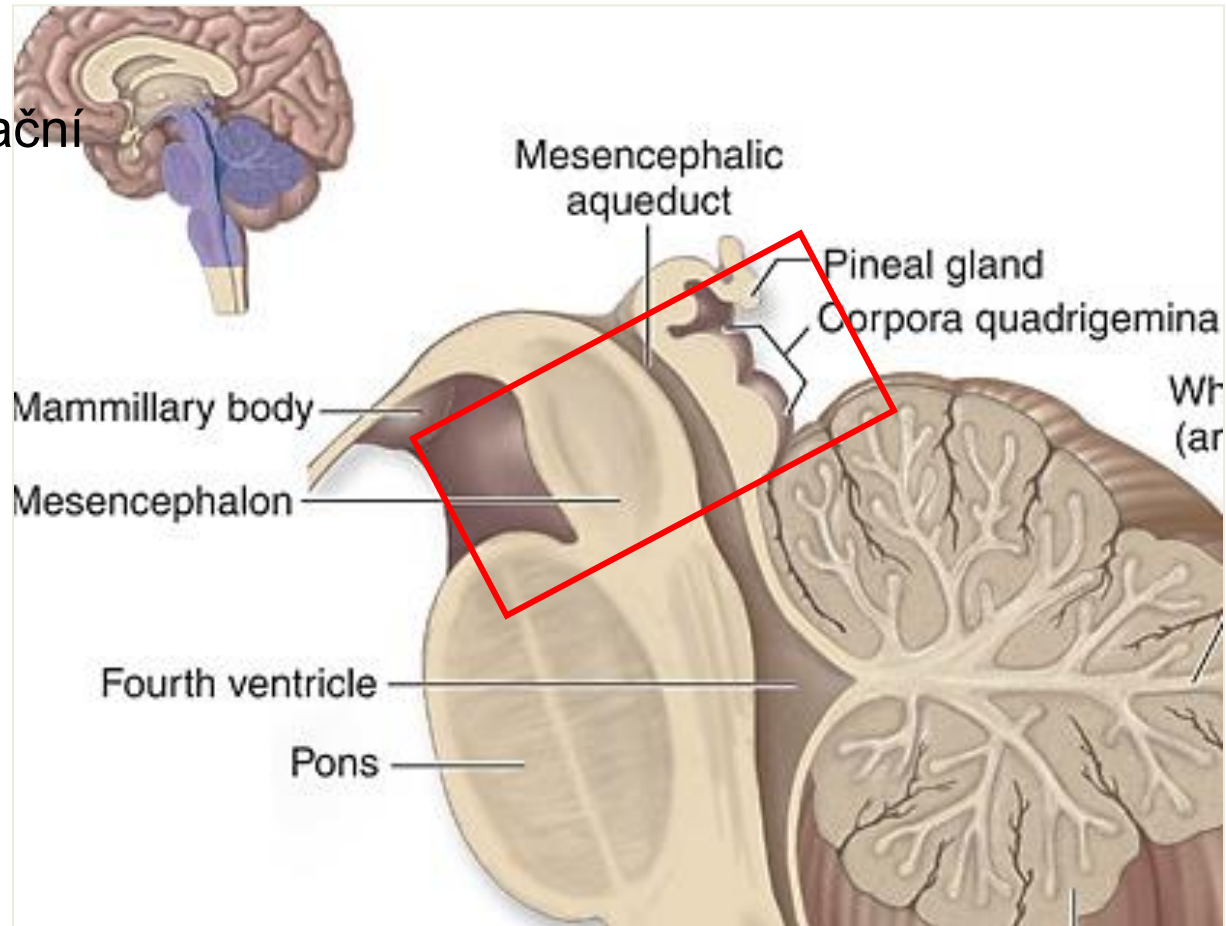
Savci: Tegmentum, Tectum
(čtverohrbolí)

Tegmentum:
Substantia nigra

Tectum:
Superior colliculus -
dříve zrakový nerv, pak
zrakové prostorové reflexy

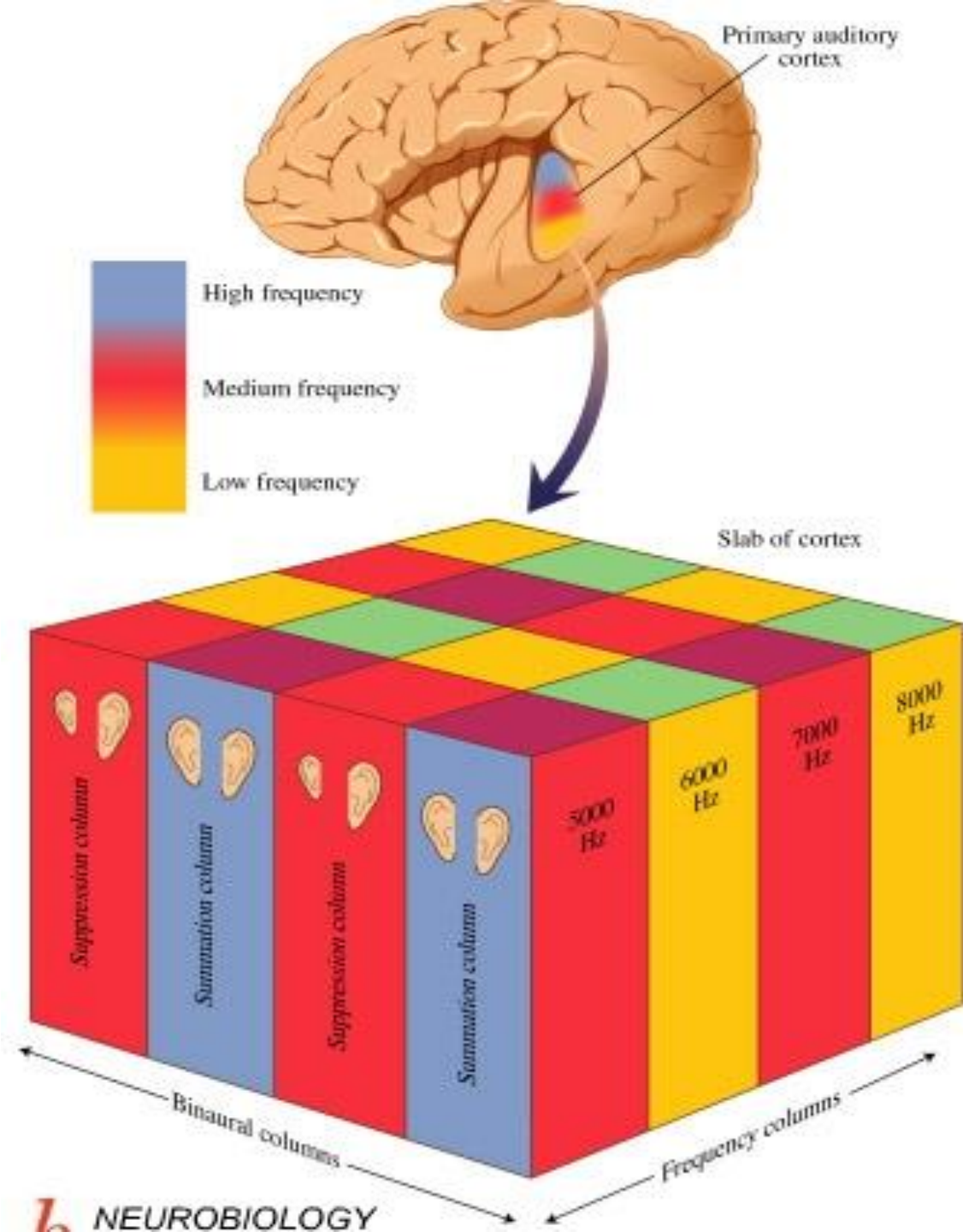
Inferior colliculus –
sluchové reflexy

n.okohybný
n.kladkový

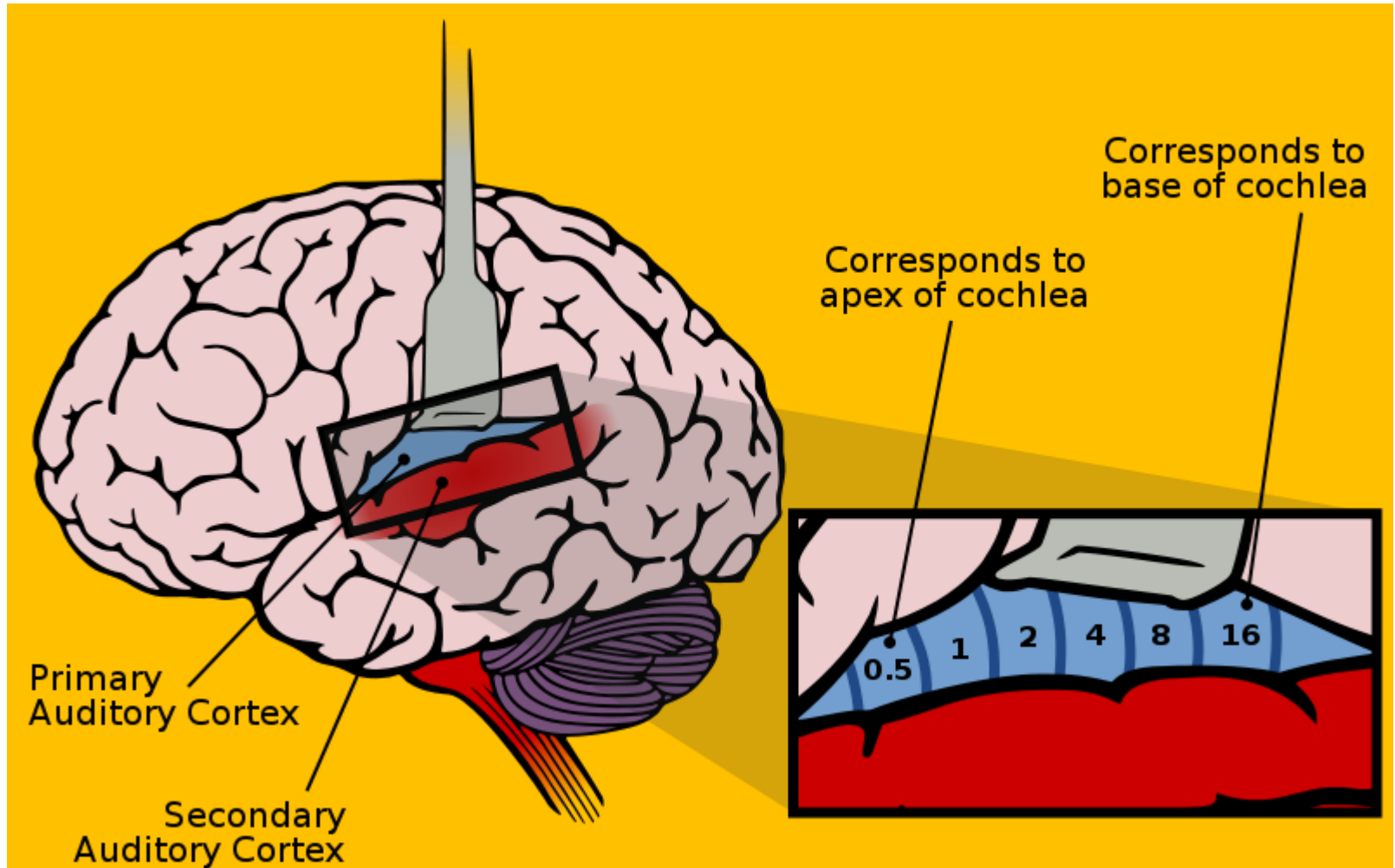


Tonotopická a bilaterální organizace primární sluchové kůry
Neurony citlivé na modulované frekvence nebo volání

Některé sloupce sumují aktivitu z obou uší, jiné reagují na vstup jen z jednoho ucha a umlkají, přicházejí-li vstupy z obou. Jsou zde bb, které nereagují jen na určité čisté tóny ale jsou naladěny na specificky modulované frekvence stoupavé nebo klesavé. Podobně jako to uvidíme u zrakové kůry, jsou tu buňky aktivované zcela specifickými druhy volání – v primární kůře makaků. Dokonce voláními individuálních jedinců.



Uložení primární a sekundární sluchové kůry ve spánkovém laloku.
Primární má tonotopickou organizaci.



Primární a sekundární sluchová kůra:

Ví se, že: odstranění **primární sluchové kůry** nevede ani k hluchotě ani k oslabení sluchu. Také není porušeno vnímání ani diskriminace jednoduchých tónů.

Vymizí ale schopnost detekovat krátce trvající zvuk. Zdravý postřehne už 40ms, postižená osoba potřebuje prodloužení až na 95ms. Je tu neschopnost rozlišit dva krátce po sobě navazující zvuky a neschopnost rozlišit časové pořadí několika zvuků. Objevují se také poruchy v rozlišení složitějších zvukových vzorců. Postižený člověk např. nedokáže detekovat drobnou změnu ve dvou rychle zahraných sekvencích několika tónů nebo není schopen rozlišit podobné hlásky jako ba-pa, da-ta, sa-za apod.

Poškození **sekundární sluchové kůry** způsobuje sluchovou agnózii. Jde o neschopnost porozumět slyšenému.

Primární sluchová kůra se tedy zřejmě uplatňuje v analýze místa zdroje zvuku a složitějších zvukových vzorců jako jsou fonémy (významotvorné hlásky v jazyce) nebo zvukové komunikační signály u zvířat. Sekundární sluchová kůra má tedy vztah k porozumění slyšeného, především řeči a ke sluchové paměti.

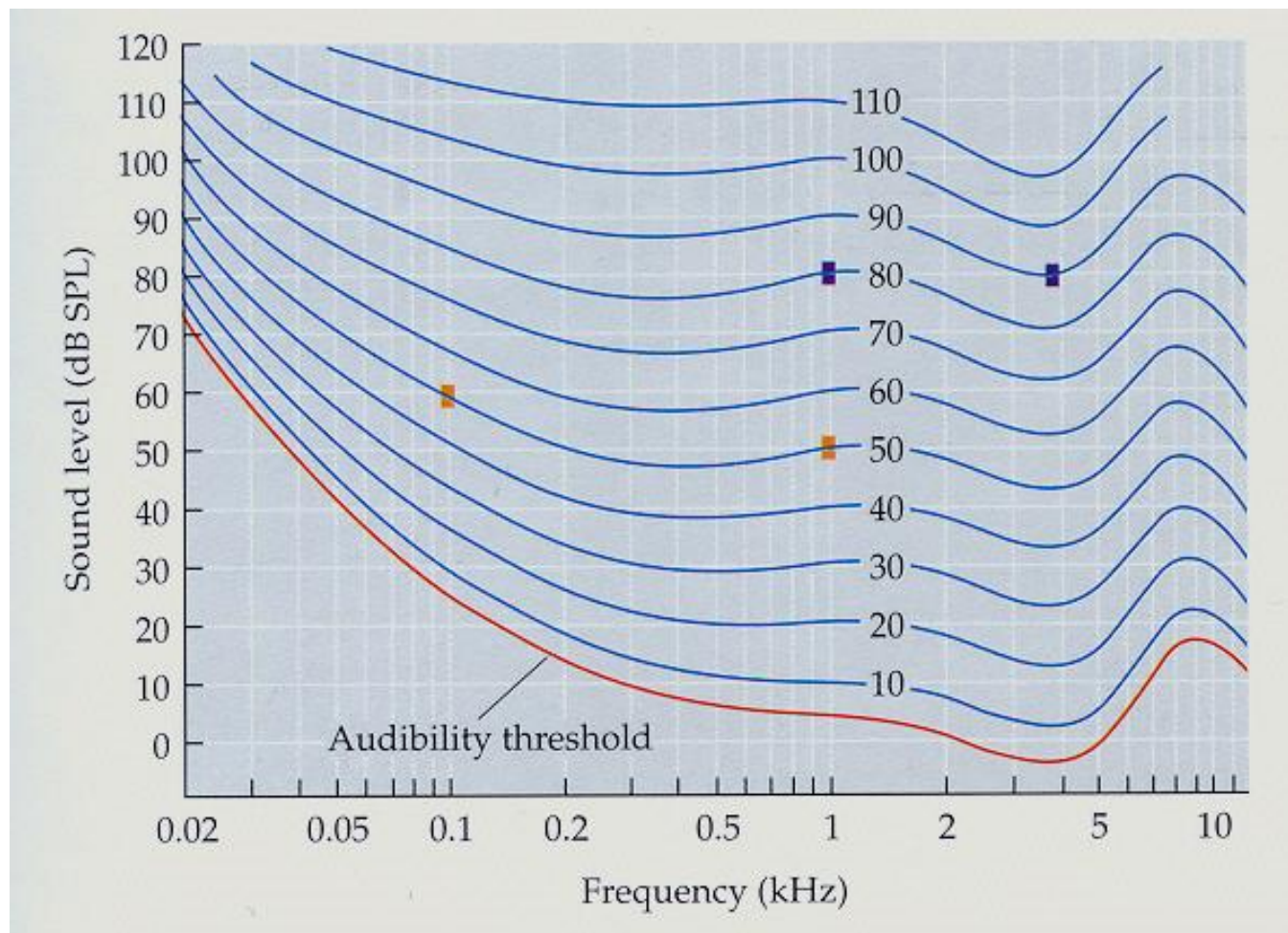
Psychoakustika:

Hlasitost není totéž co intenzita

a frekvence není totéž co výška tónu (nestoupe lineárně)

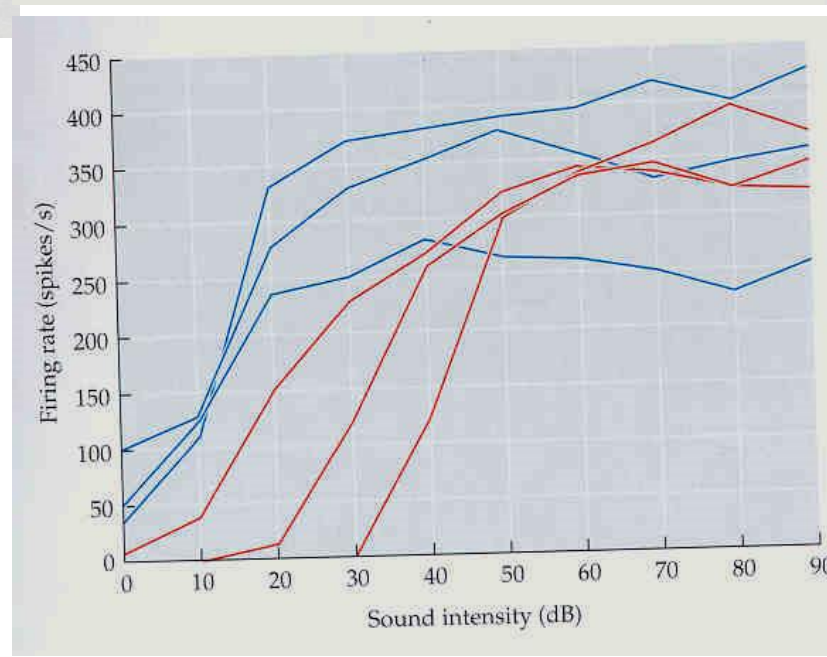
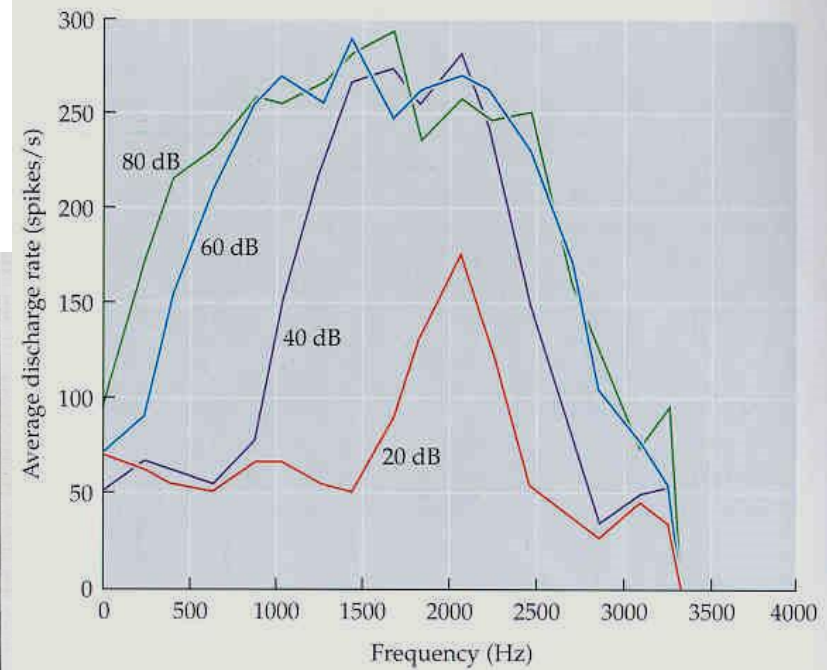
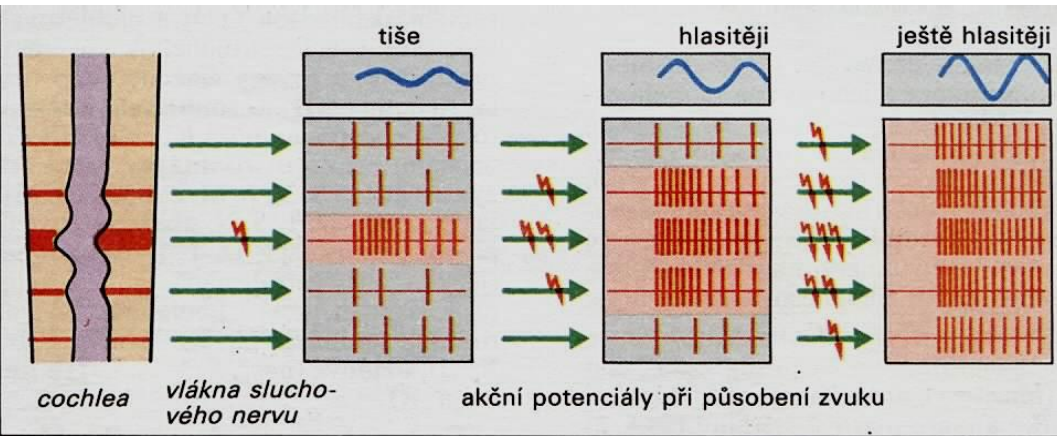
Izofony

<http://newt.phys.unsw.edu.au/jw/hearing.html>



<https://wolfe4e.sinauer.com/wa09.03.html>

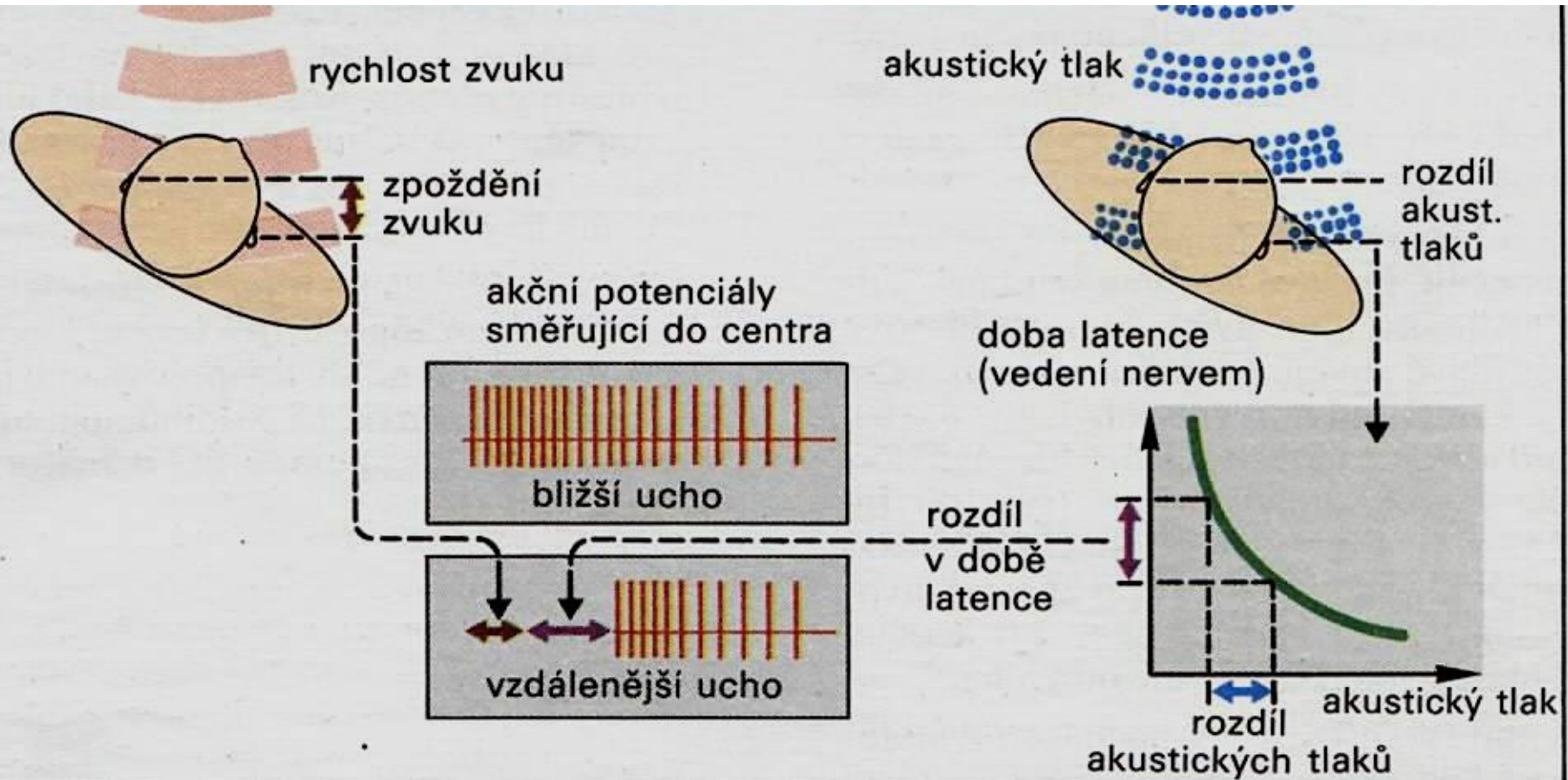
Určení hlasitosti zvuku



A. „Hlasitá a tichá“ informace ve sluchovém nervu (zvuková frekvence nezměněna)

Poznáme 1dB ze 100dB
 Důležitý parametr, ze kterého se odhaduje směr zvuku.
 Čím hlasitější tón, tím větší rozsah v kochlei zabere.
 Vlákna sl. nervu specializovaná na určitou hlasitost.

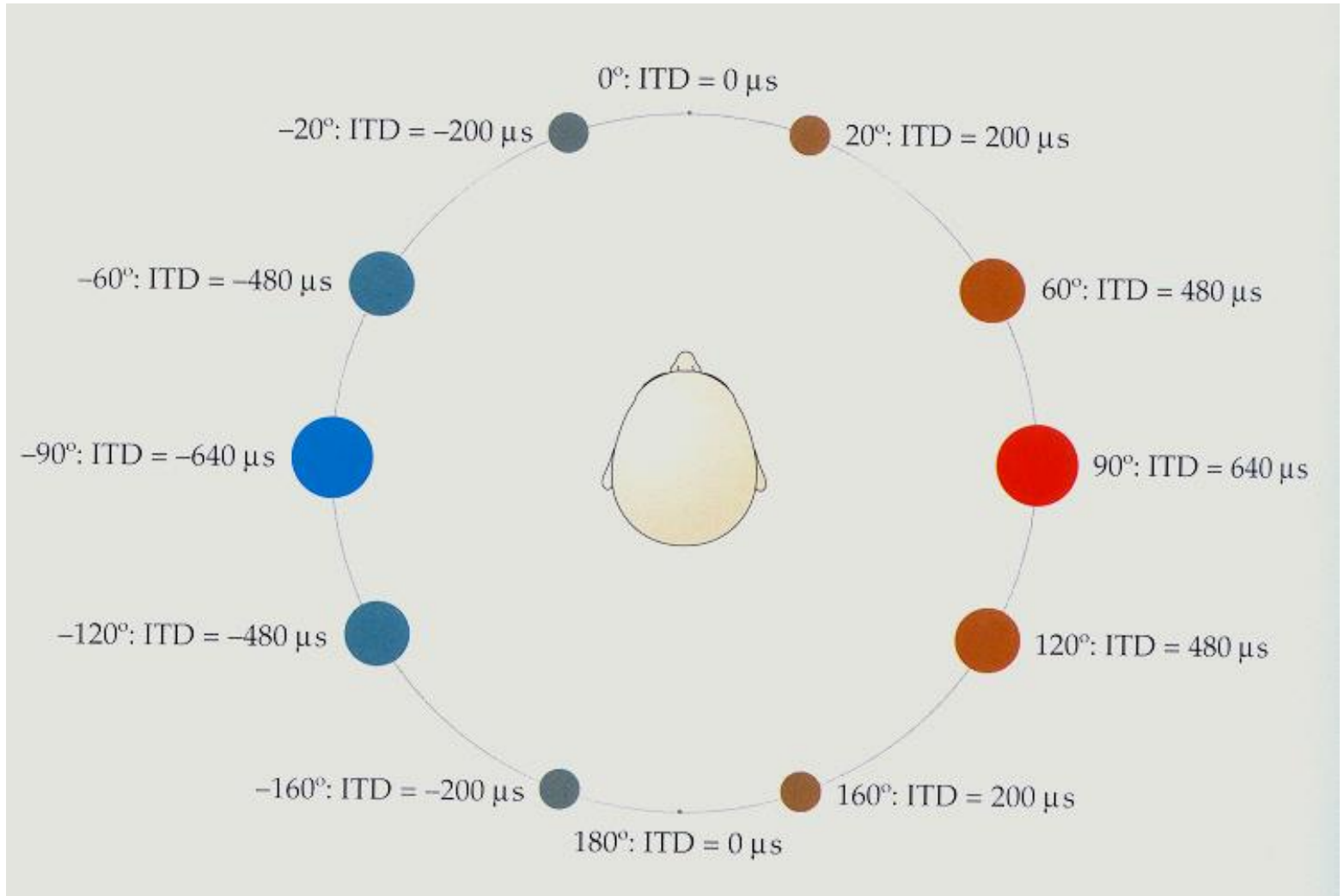
Určení směru zvuku – dva klíče



Za optimálních podmínek dokáže člověk lokalizovat v horizontální rovině zvukový zdroj s přesností na 4° , což odpovídá asi $10\mu\text{s}$. Ve směru vertikálním je tato detekce méně přesná.

Časový klíč spočívá v tom, že určitá fáze akustické vlny dorazí k jednomu uchu dříve než je druhému. Používá se pro lokalizaci nižších frekvencí zvuku, zhruba do 2kHz , kdežto intenzitní je nezbytný pro lokalizaci zvuků o vyšších frekvencích.

Prostorové slyšení – časový klíč



Koincidenční detektor

Simultánně
Offset

<https://wolfe4e.sinauer.com/wa10.01.html>

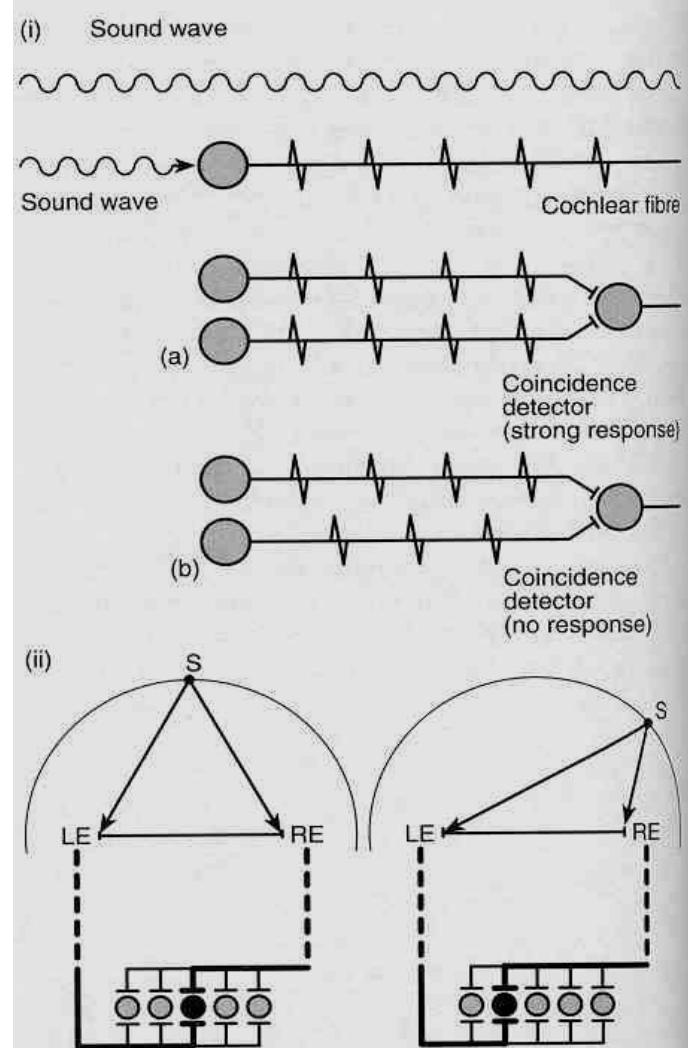


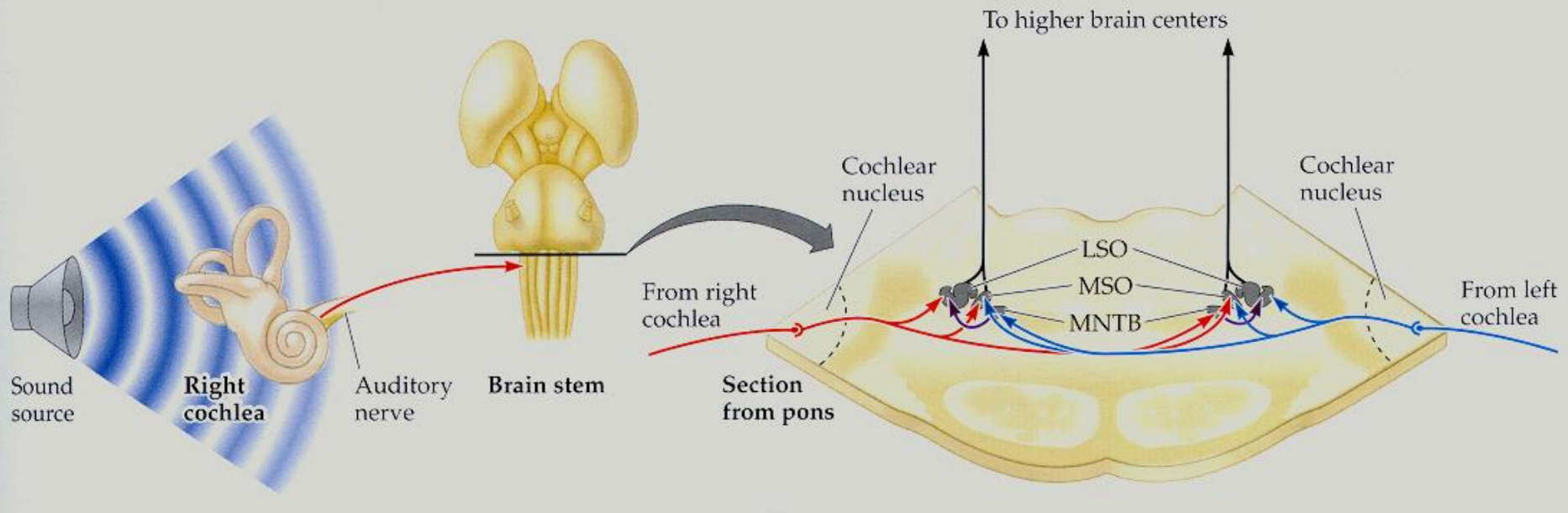
Figure 9.8 (i) Phase locking and coincidence detection. The cochlear fibre fires in response to every second peak in the sound wave. (a) If cochlear fibres from opposite ears converge on a coincidence detector the latter will fire if the two signals are delivered within a few tens of microseconds of each other; (b) if the time differential is greater the detector will respond only weakly or not at all. (ii) The principle of source location by way of interaural time differences (ITDs). A sound source (S) equidistant from the two ears will stimulate a certain coincidence detector (dark circle); a sound source further from one ear than the other will stimulate a different coincidence detector. LE = left ear; RE = right ear. Further explanation in text. After Konishi, 1993

Ve středním mozku jsou skupiny neuronů fungující jako koincidenční detektory. Jsou aktivovány jen tehdy, dorazí-li signály z obou uší přibližně ve stejnou dobu. Soví koincidenční detektor je schopen zjistit rozdíly 10 mikros. Jiná buňka bude tedy aktivní při poloze zvuku 10° jiná při 20° . Tvoří tak vlastně mapy zvukového prostoru. Má se za to, že informace z této zvukové mapy je porovnávána s mapou zrakovou. Obě dráhy (časová i intenzitní) se slévají dohromady.

Mají ale ještě významnou větev do optického tektu, odkud řídí pohyby hlavy a oči při upřeném pohledu na kořist. Na vyšší úrovni v koncovém mozku se ale mapový, uspořádaný charakter ztrácí. Koncový mozek a sluchová kůra mají asi na práci komplexnější úkoly jako je identifikace zdroje, výběr jednoho zvuku na pozadí dalších, určení upření pozornosti při dalších stimulech jiných modalit, vybavení zvuků a jejich významů z minulosti atd.

Specifické buňky reagují na nástup zvuku, výšku, klesání a stoupání, intenzitu polohu v prostoru, pohyb určitým směrem

Po jediné synapsi se už ve Varolově mostu dráhy kříží – na rozdíl od zraku. Synapse zdržují.



Medial Superior Olives (MSO) – časový rozdíl
Lateral Superior Olives (LSO) – intenzitní rozdíl

Vzdálenost zdroje –

hlasitost
spektrální složení zvuku

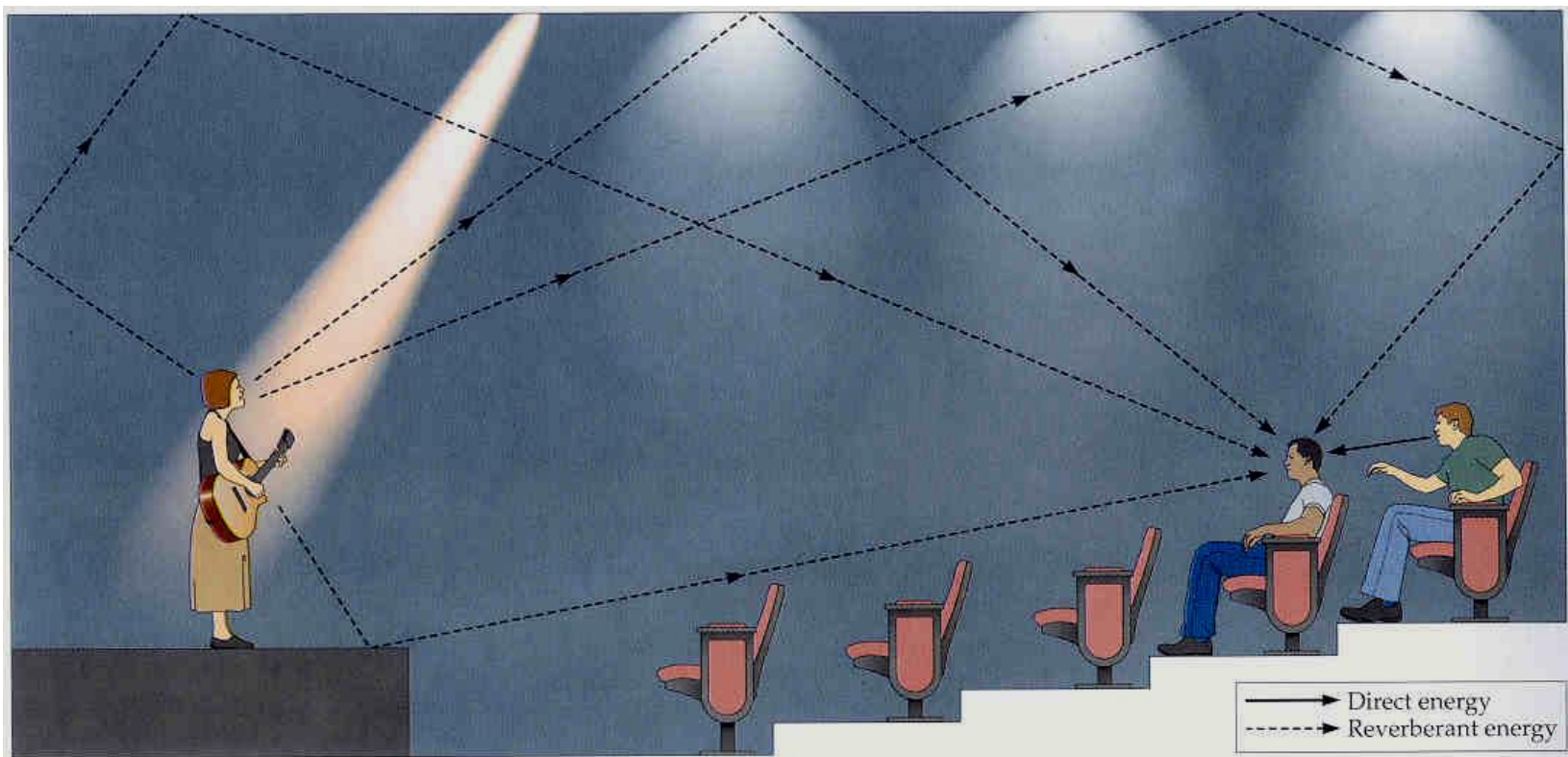
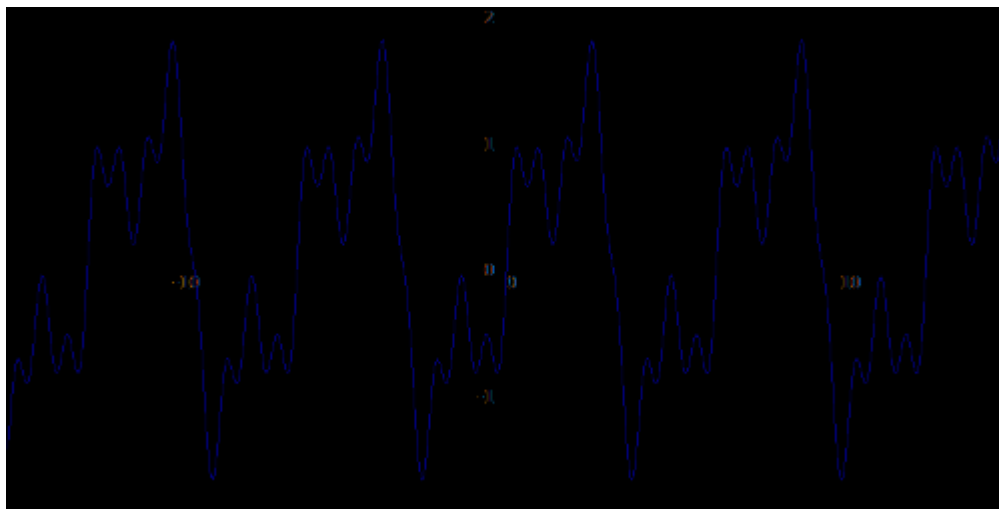


FIGURE 10.11 The relative amounts of direct and reverberant energy coming from the listener's neighbor and the singer will inform him of the relative distances of the two sound sources.

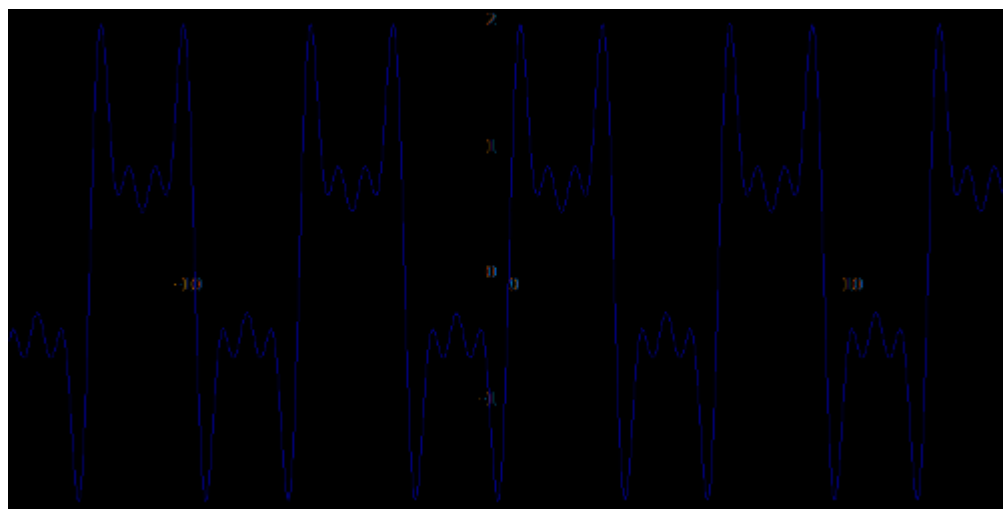
more like a "boom." Note that this auditory cue is analogous to the visual depth cue of atmospheric perspective (more distant objects look more blurry).

A final distance cue stems from the fact that, in most environments, the

Barvy zvuku



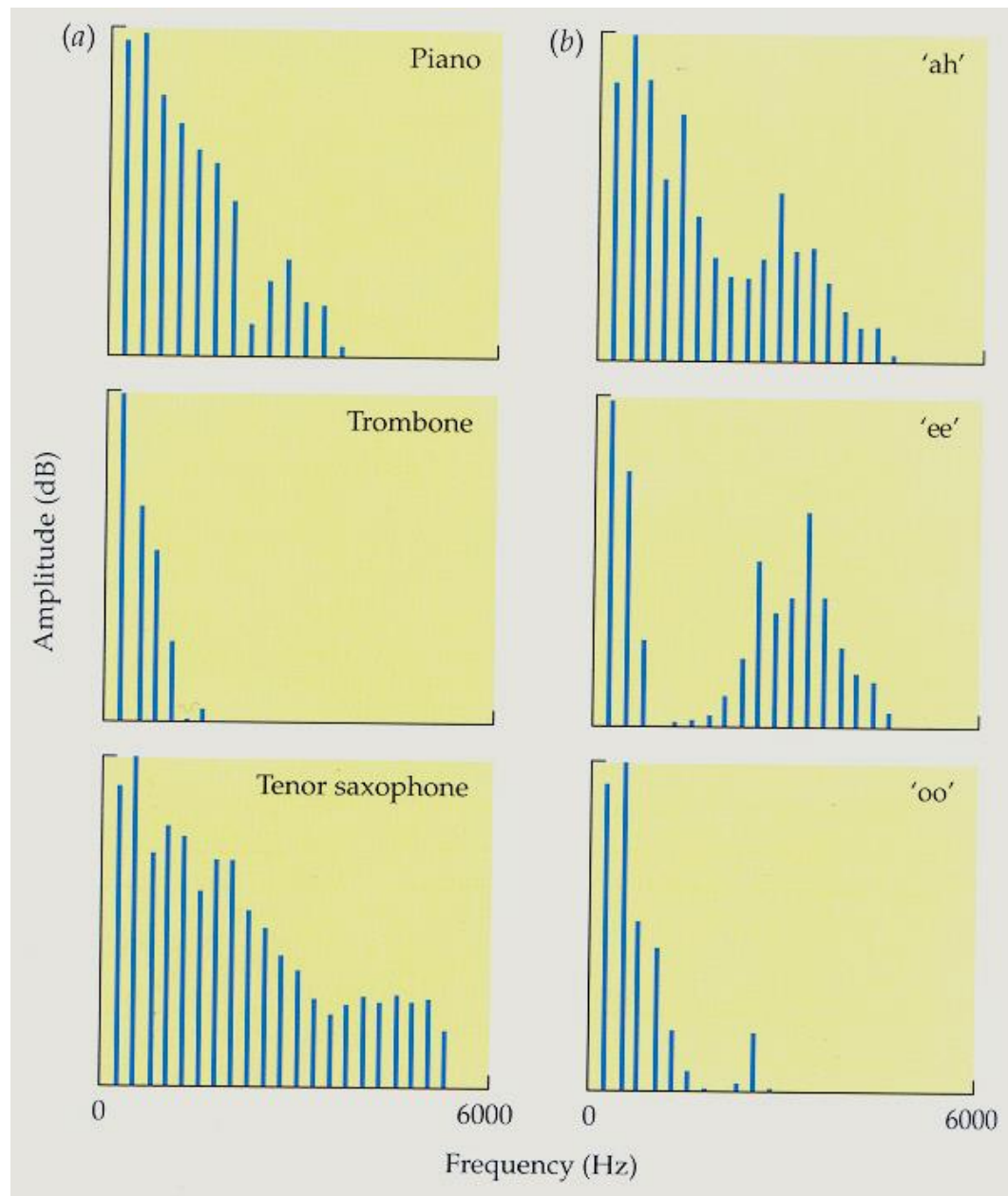
Barvy zvuku



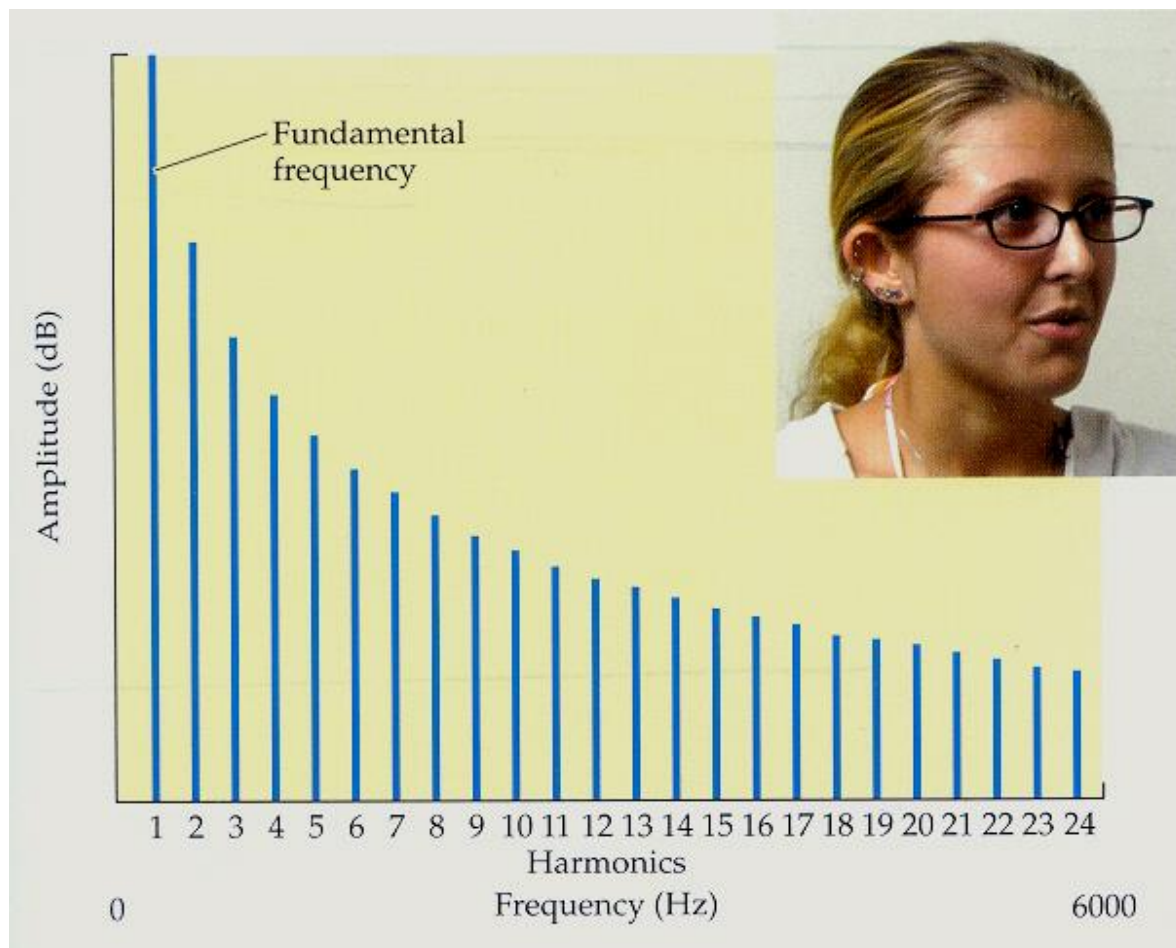
Barvy zvuku

Komplexní tóny a
Fourierova analýza zvuku

Barvu tónů určuje spektrum



Harmonické frekvence



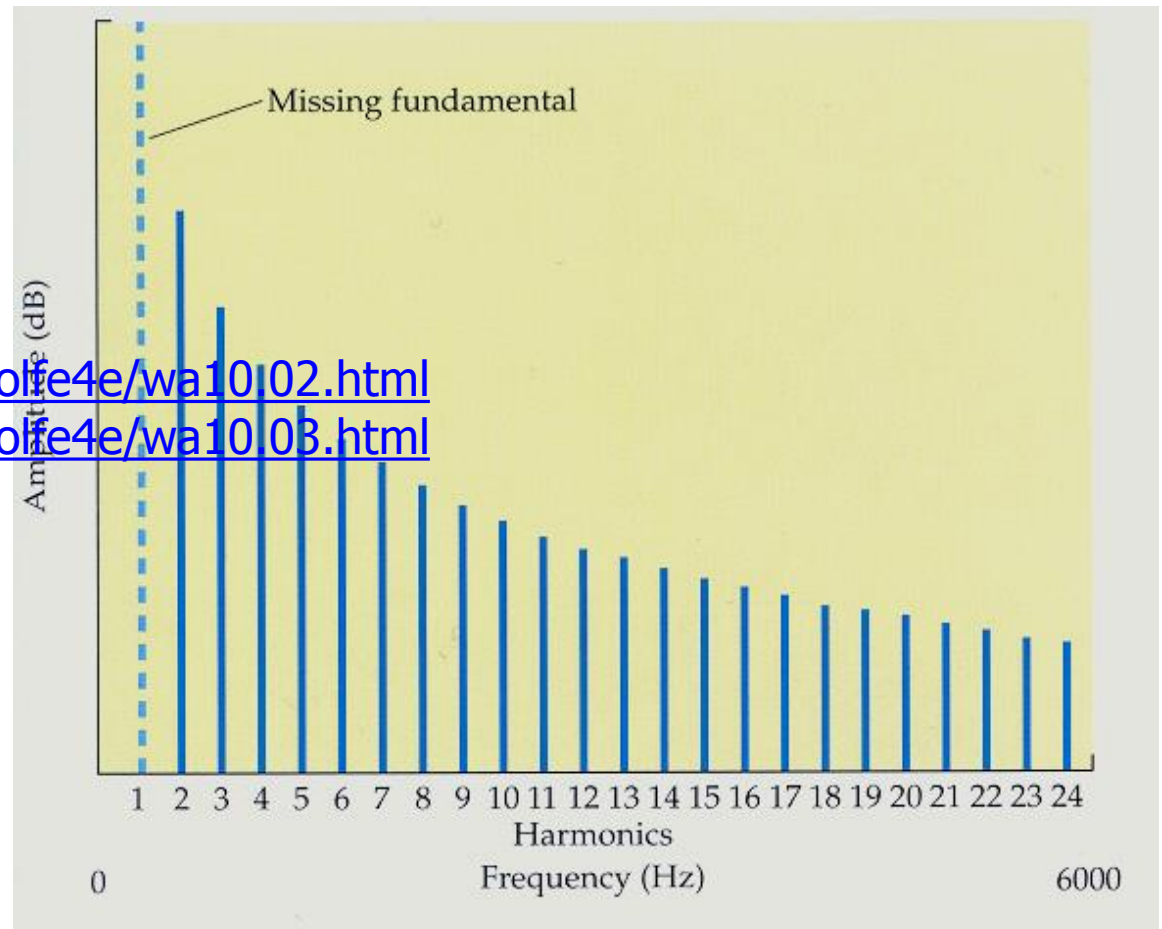
Většina zvuků má harmonické frekvence.

Harmonické frekvence

Výška tónu zůstane beze změny i když hlavní frekvence chybí!

Důležitější je vztah mezi harmonickými.

Základní slyšená frekvence je nejmenší společný dělitel všech komponent



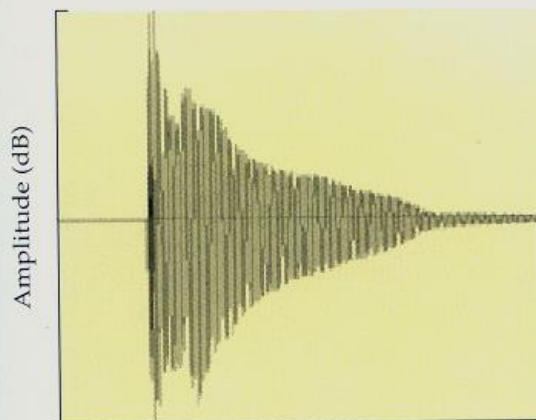
http://sites.sinauer.com/wolfe4e/wa10_02.html

http://sites.sinauer.com/wolfe4e/wa10_03.html

<http://sites.sinauer.com/wolfe3e/chap10/missingfundF.htm>

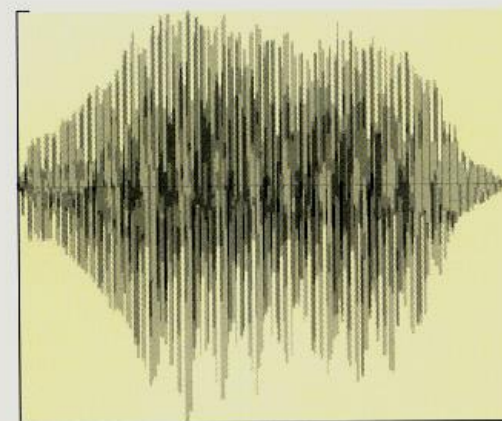
Proud (stream) zvuku
Nástup a konec zvuku rozhodují
o vjemu. Jsou velmi důležité pro
rozlišení hlásek (bill x will).

(a) Violin (pluck)



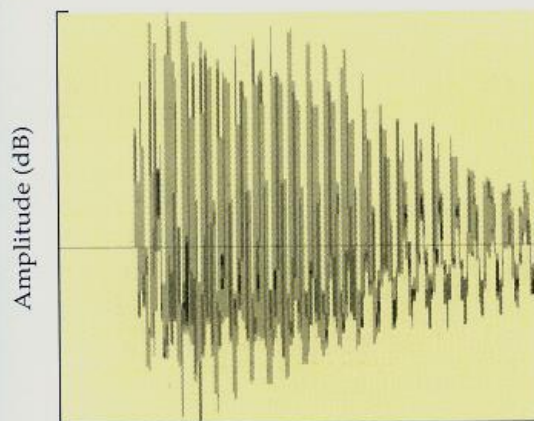
Time

(b) Violin (bow)



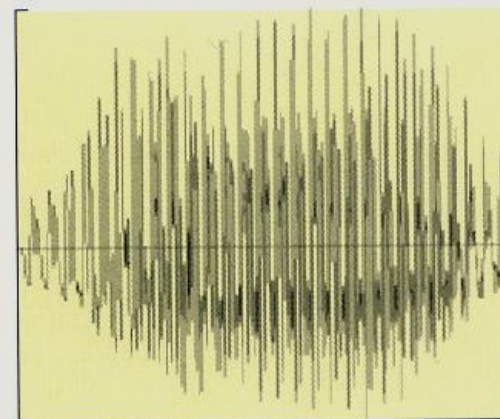
Time

(c) Speech ('ba')



Time

(d) Speech ('wa')

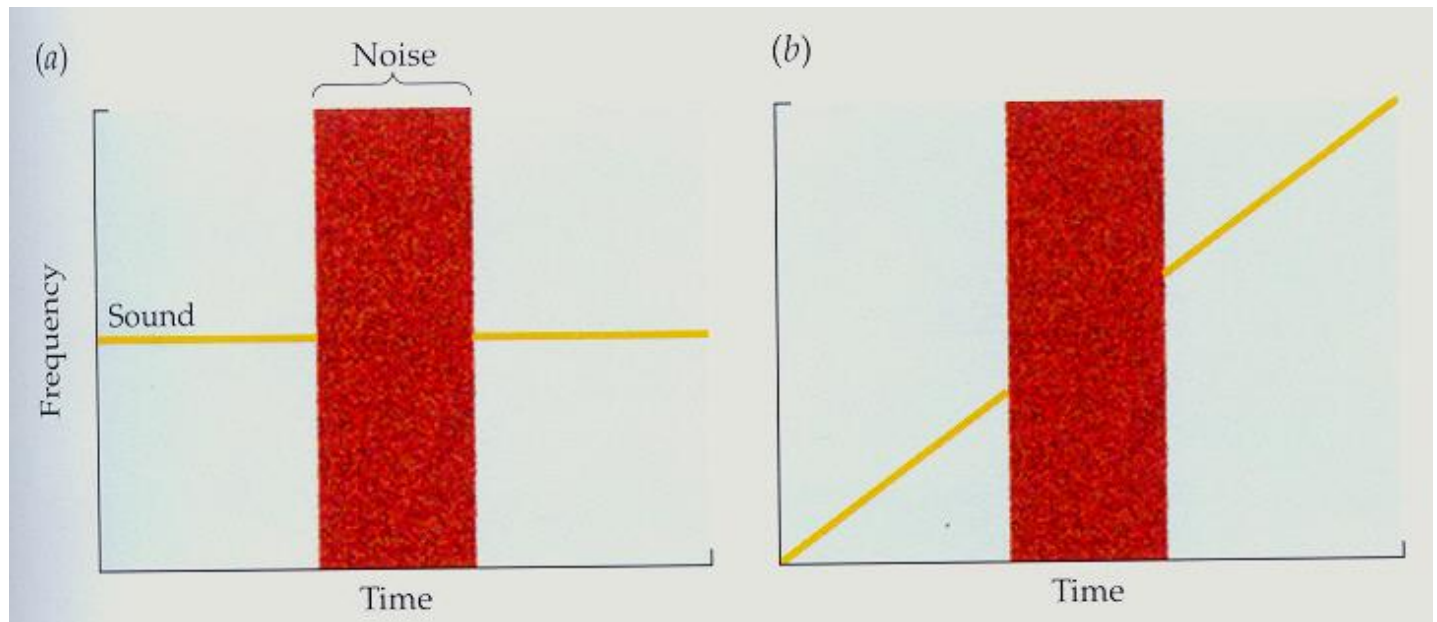


Time

<http://sites.sinauer.com/wolfe4e/wa10.03.html>

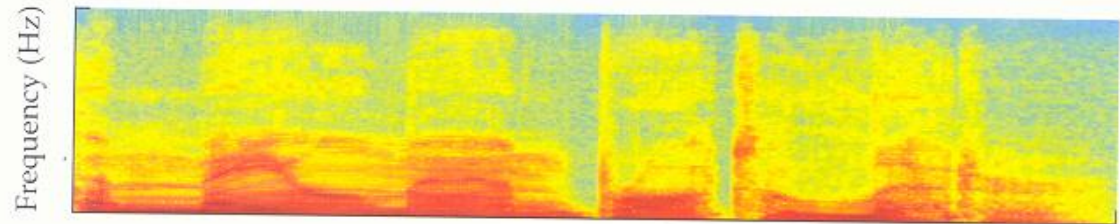
<http://sites.sinauer.com/wolfe4e/wa11.02.html>

V reálném světě se objekty překrývají.
Interpolací dosahujeme efekt doplnění – kontinuita zvuku

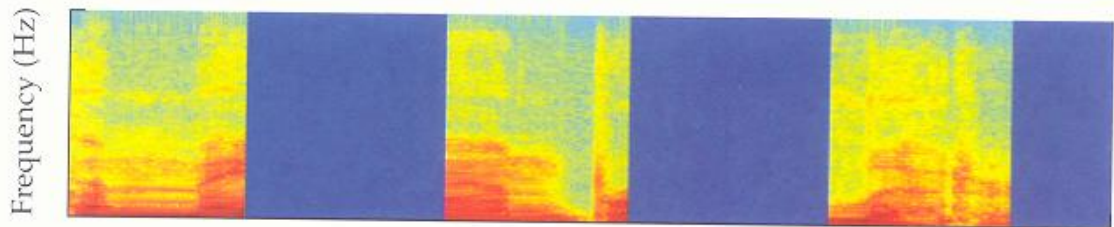


Přerušení věty – šum vadí porozumění méně než ticho. Ticho zvuk „roztrhá“

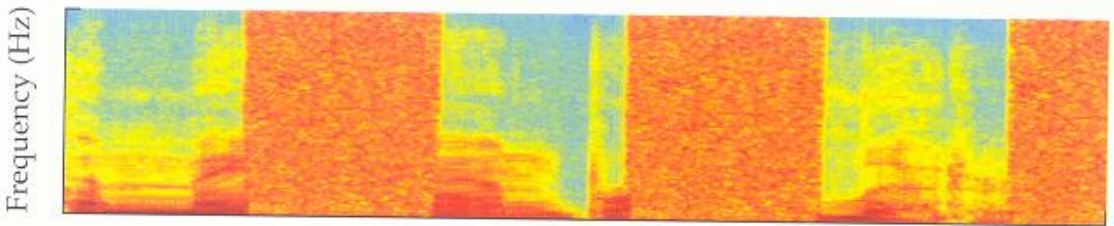
(a) „The mail man brought a letter“



(b)



(c)



Time

<http://sites.sinauer.com/wolfe4e/wa10.05.html>

auditory stream segregation

Rozlišování různých zdrojů zvuků-segregace.
Těžší než u zraku – vše v jednom.
Prostorová, spektrální a časová segregace.
Grouping - seskupování

Dvě samostatné „linky“ –
dva samostatné zdroje (proudy) zvuku

Dvě samostatné melodie

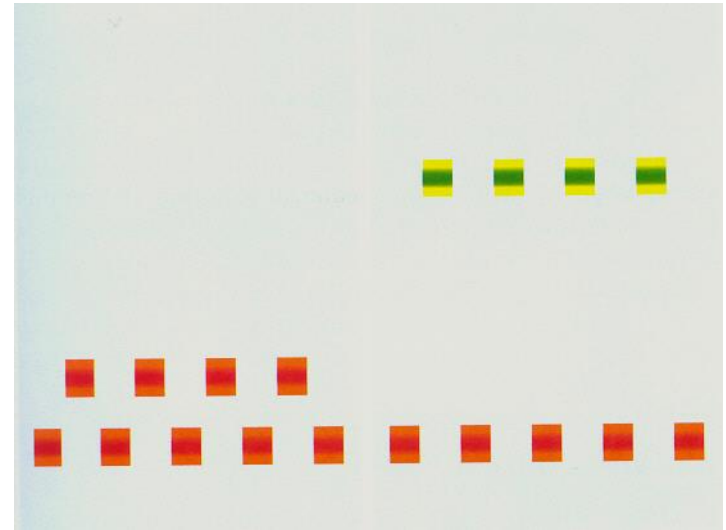
Musical notation for Figure 10.20. It consists of four staves of music in D minor, 3/4 time. The notes are color-coded to represent two different auditory streams. The first stream is represented by red notes, and the second stream is represented by blue notes. The notes are arranged in a way that demonstrates how the brain might perceive two distinct melodies from a single sequence of notes.

FIGURE 10.20 This music in D Minor” utilizes the stream researchers in the twentieth century notes (red) are heard as one

Kategorizovaná percepce – Gestalt shlukovací princip

Jde o obecný jev smyslového vnímání: stimuly, které jsou fyzikálně kontinuální, jsou shlukovány do jednoho proudu, „tvaru“ nebo významu. Pak jsou vnímány jako omezený počet několika kategorií.

Gestaltismus: Celek je více než suma částí. Elementy jsou jen výsledkem umělé abstrakce a konstrukce. Psychologická realita se vyznačuje přirozenými celky fungujícími vždy v organických souvislostech. Vše živé směřuje k tvarům, celkům, formám, a touto tendencí se řídí vnímání, myšlení, chování i usilování vůle.